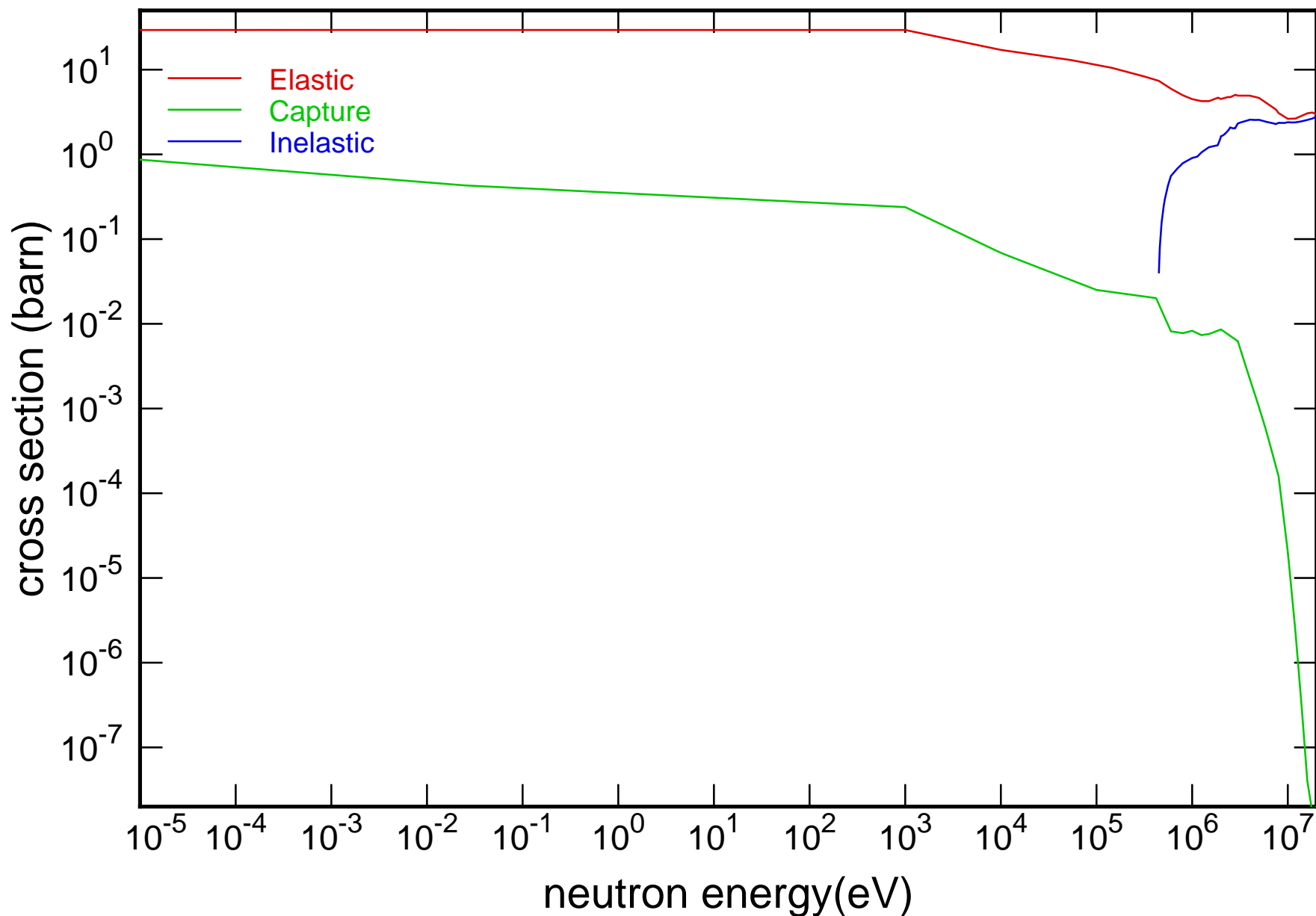
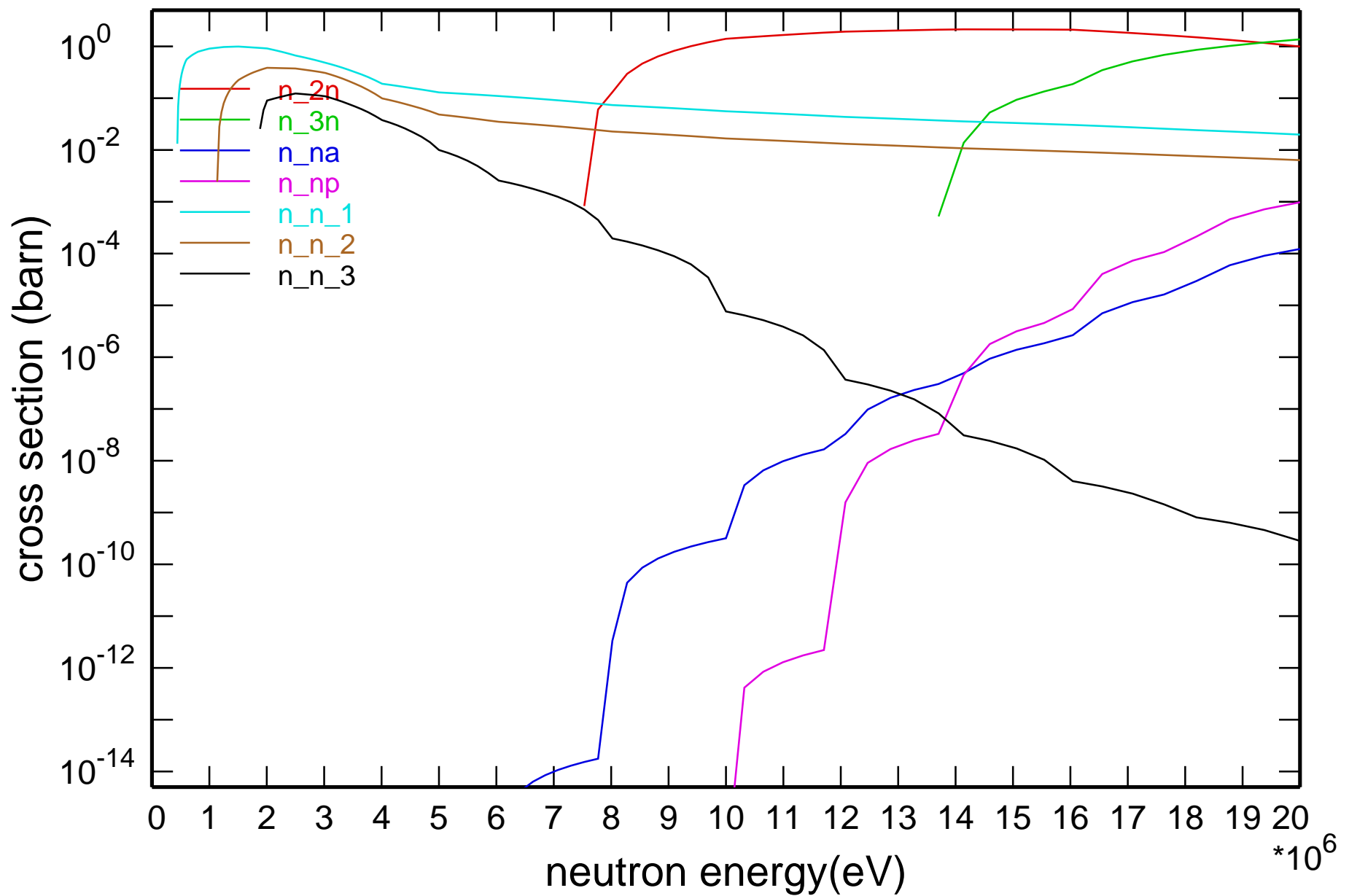


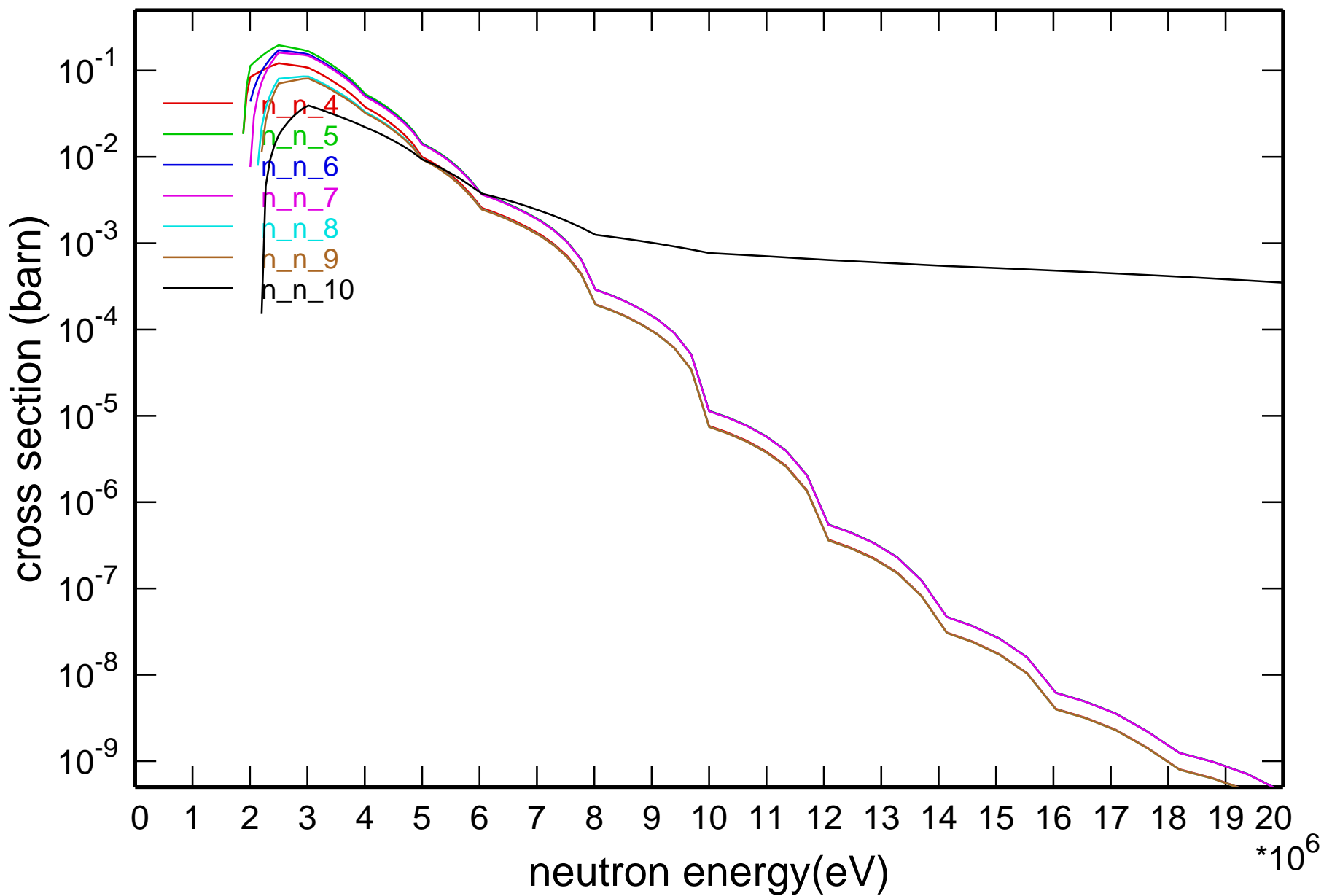
## Main Cross Sections



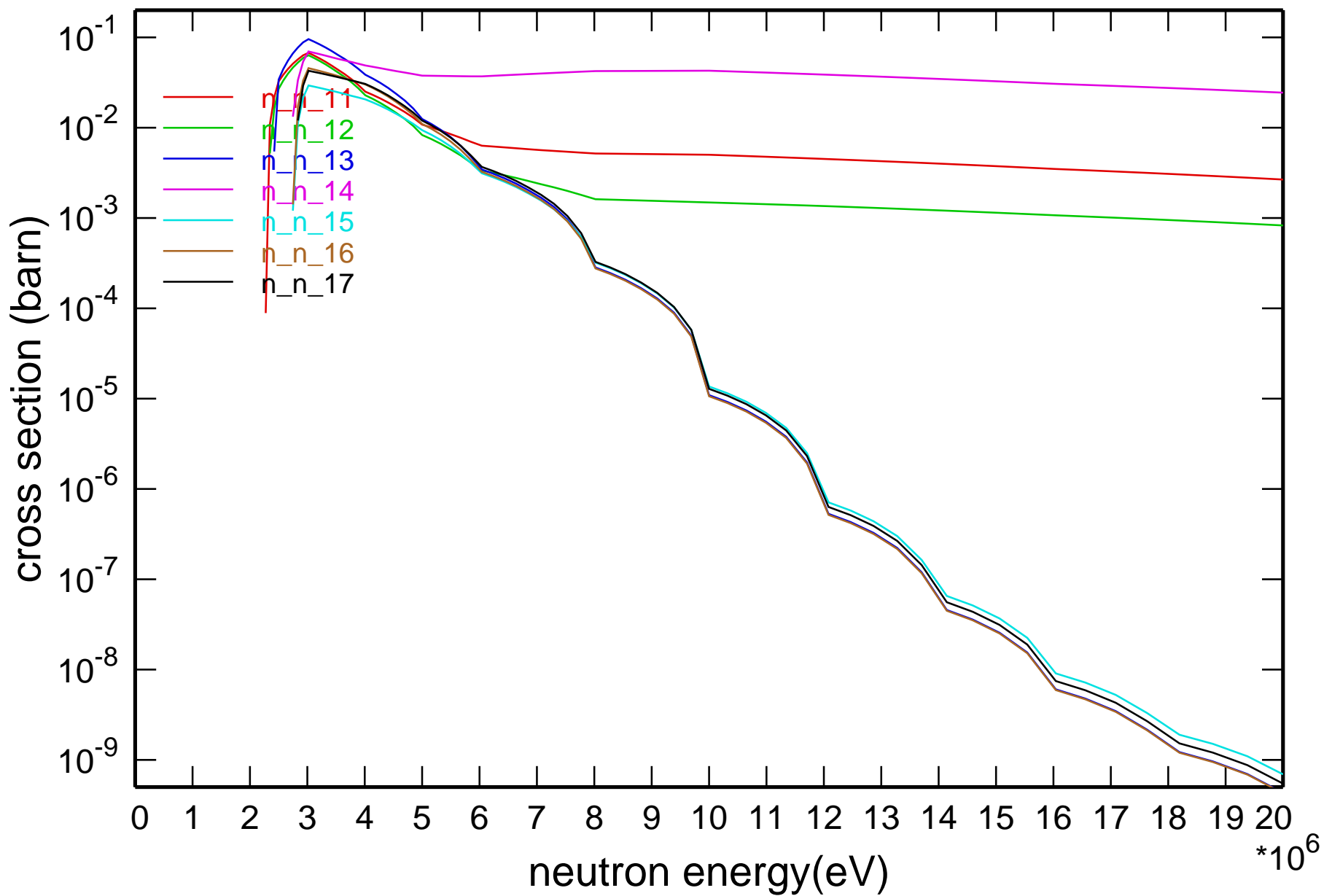
# Cross Section



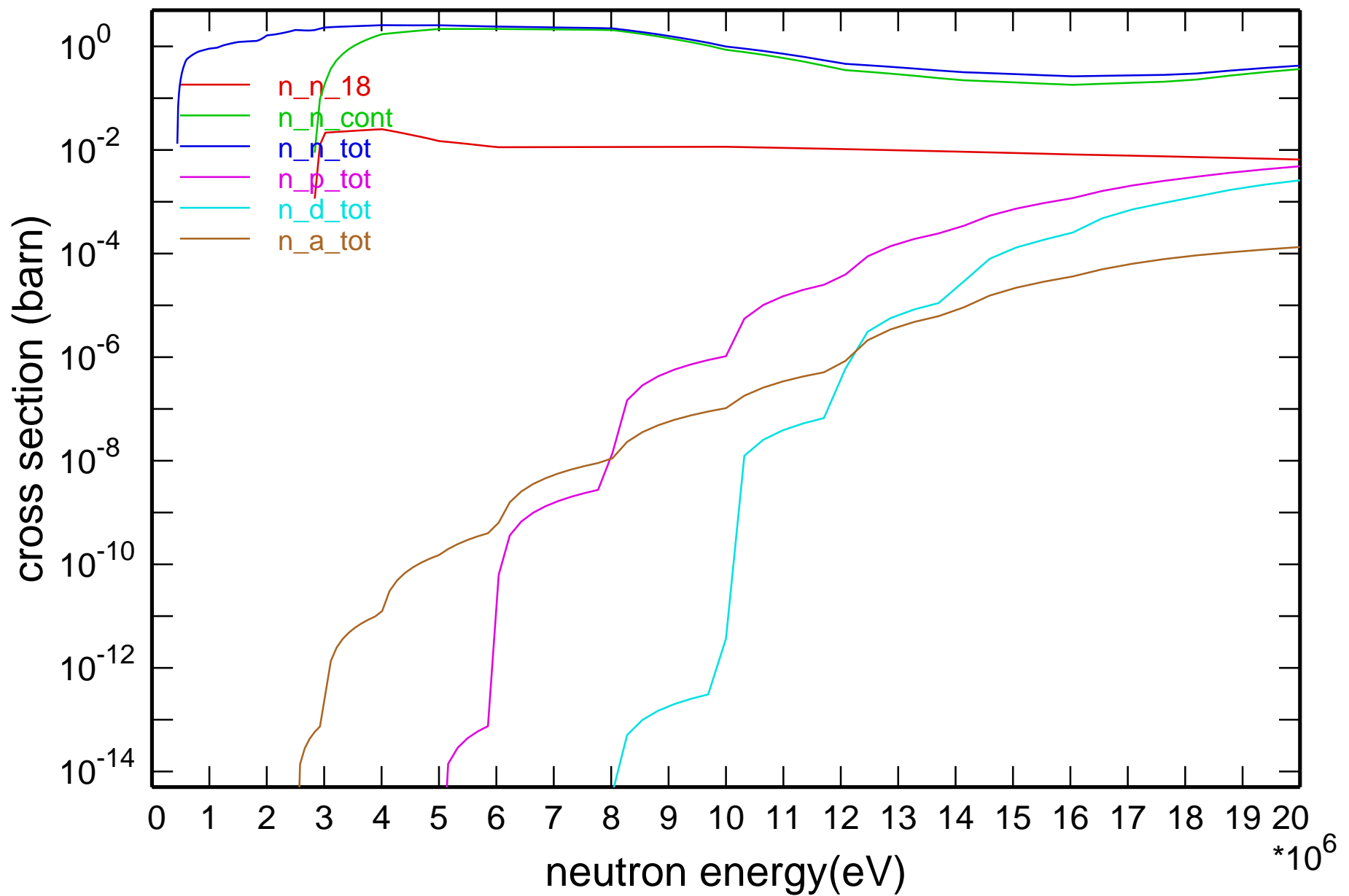
# Cross Section

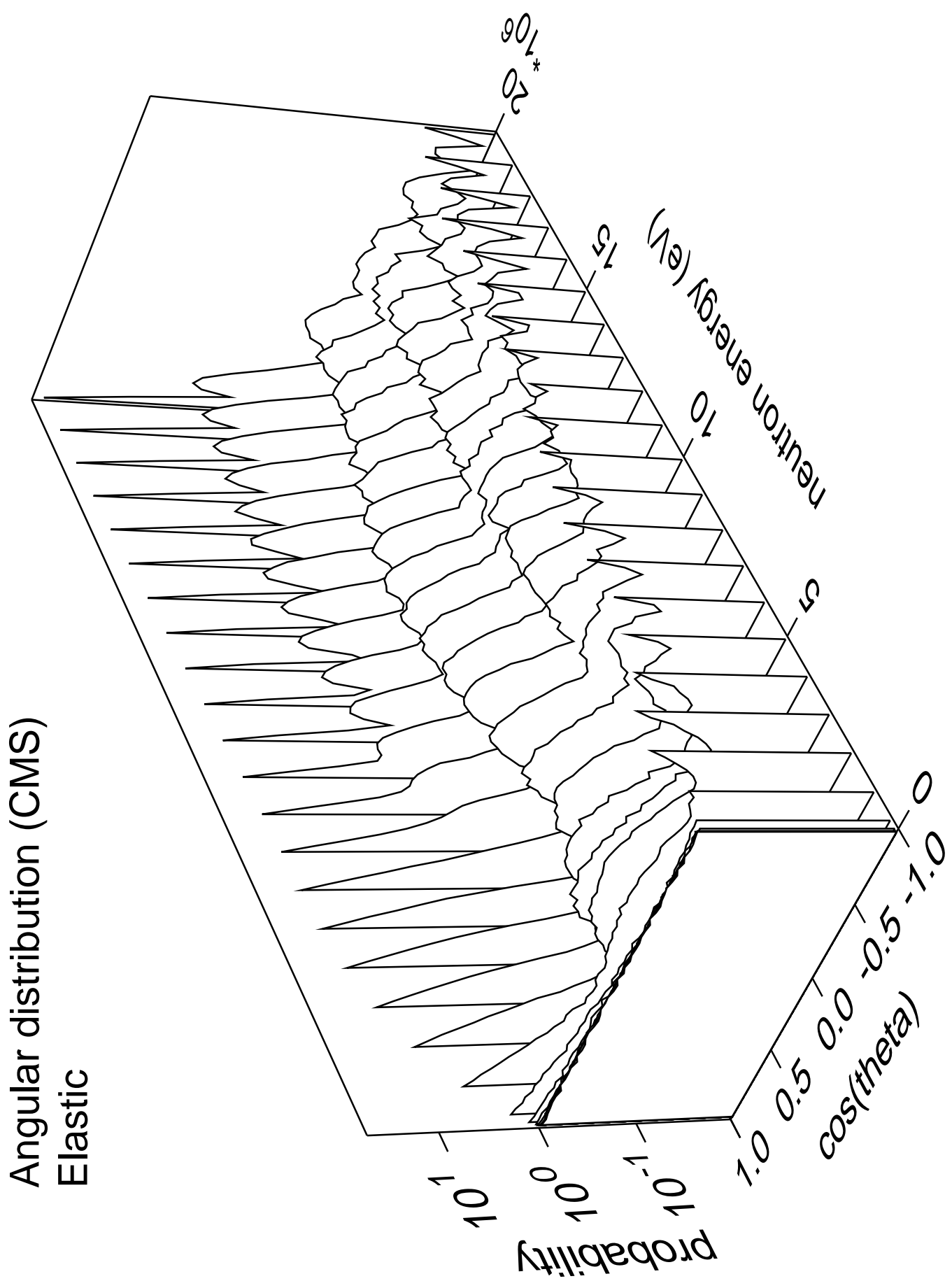


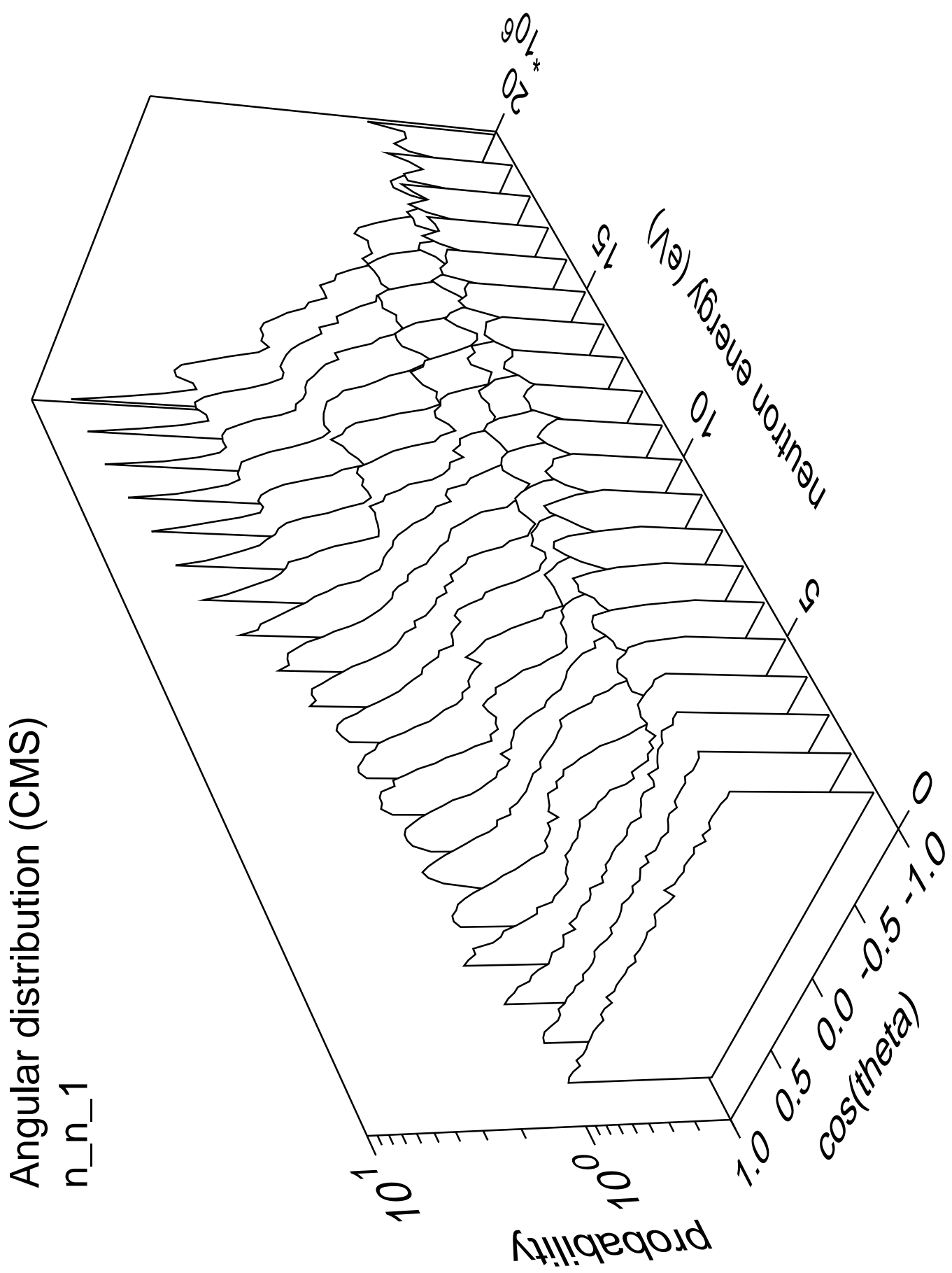
# Cross Section

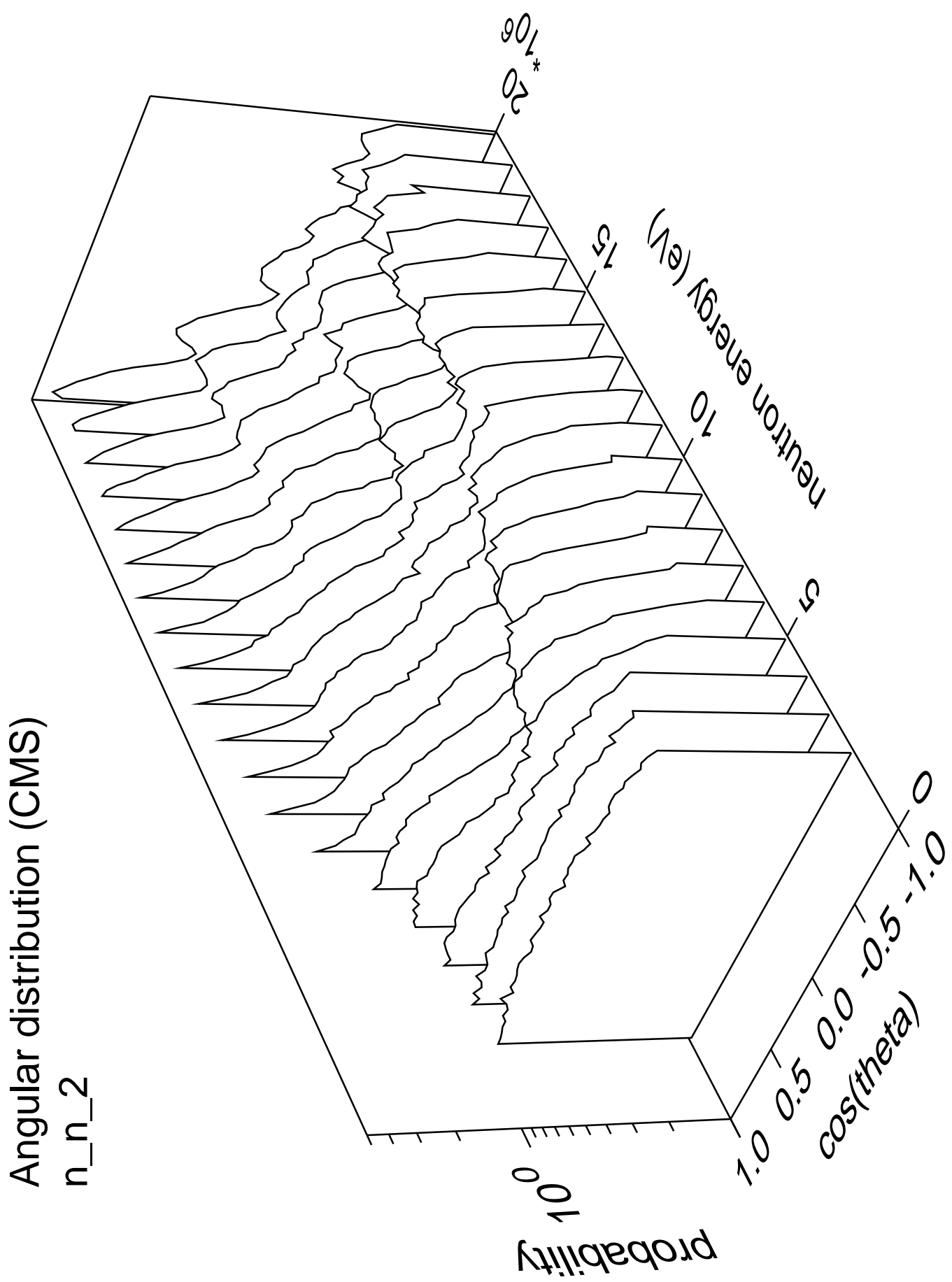


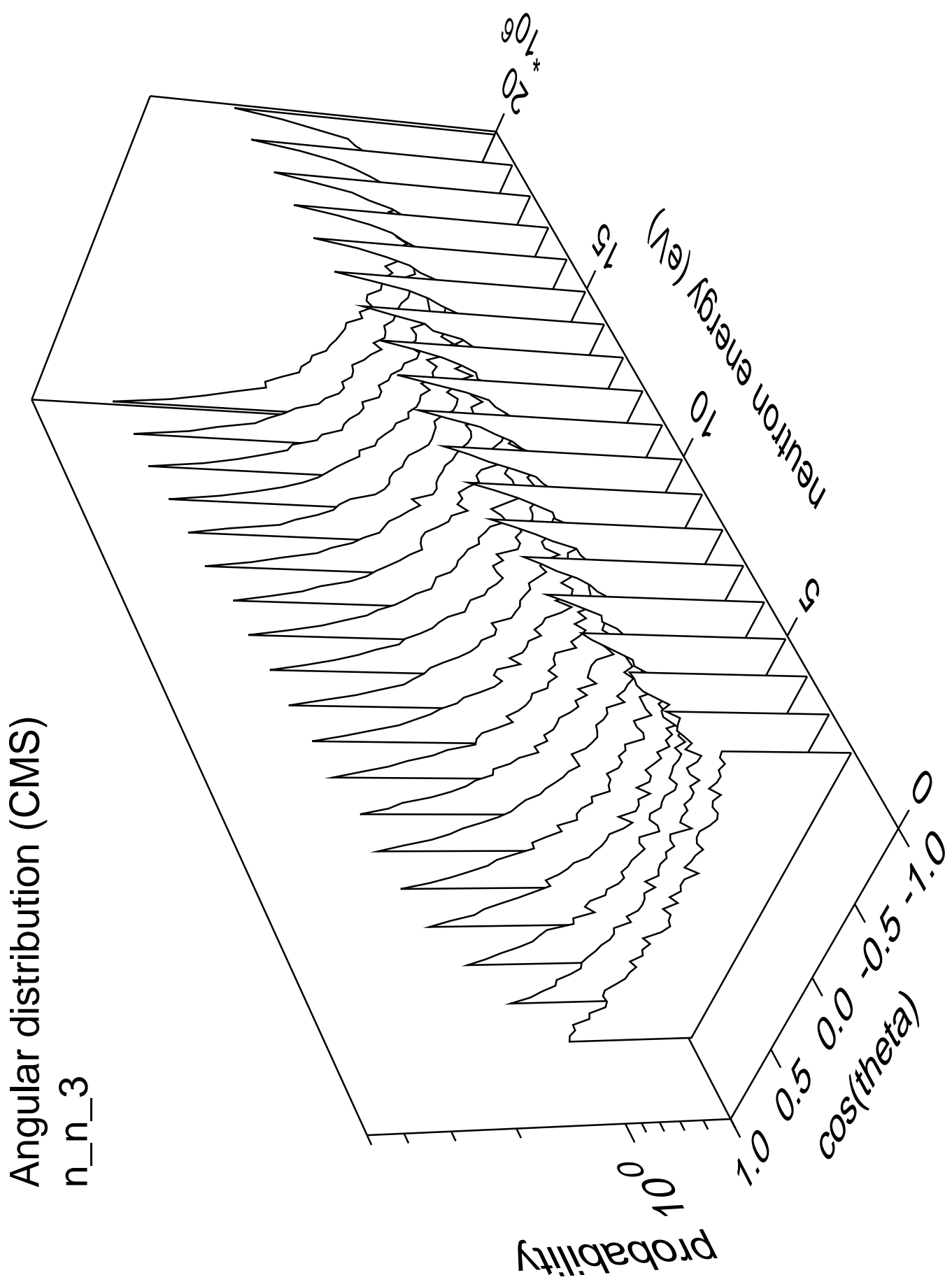
# Cross Section

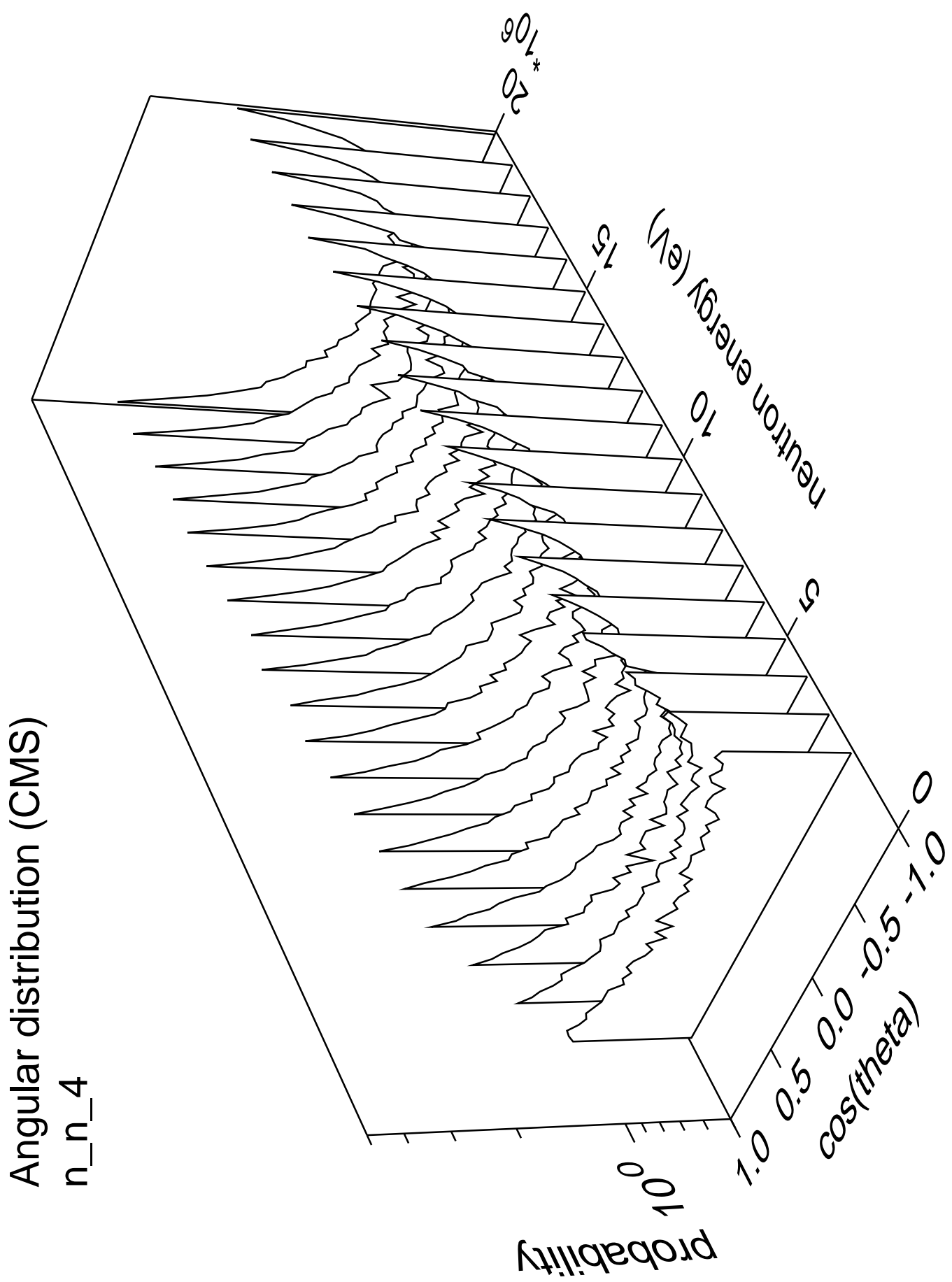


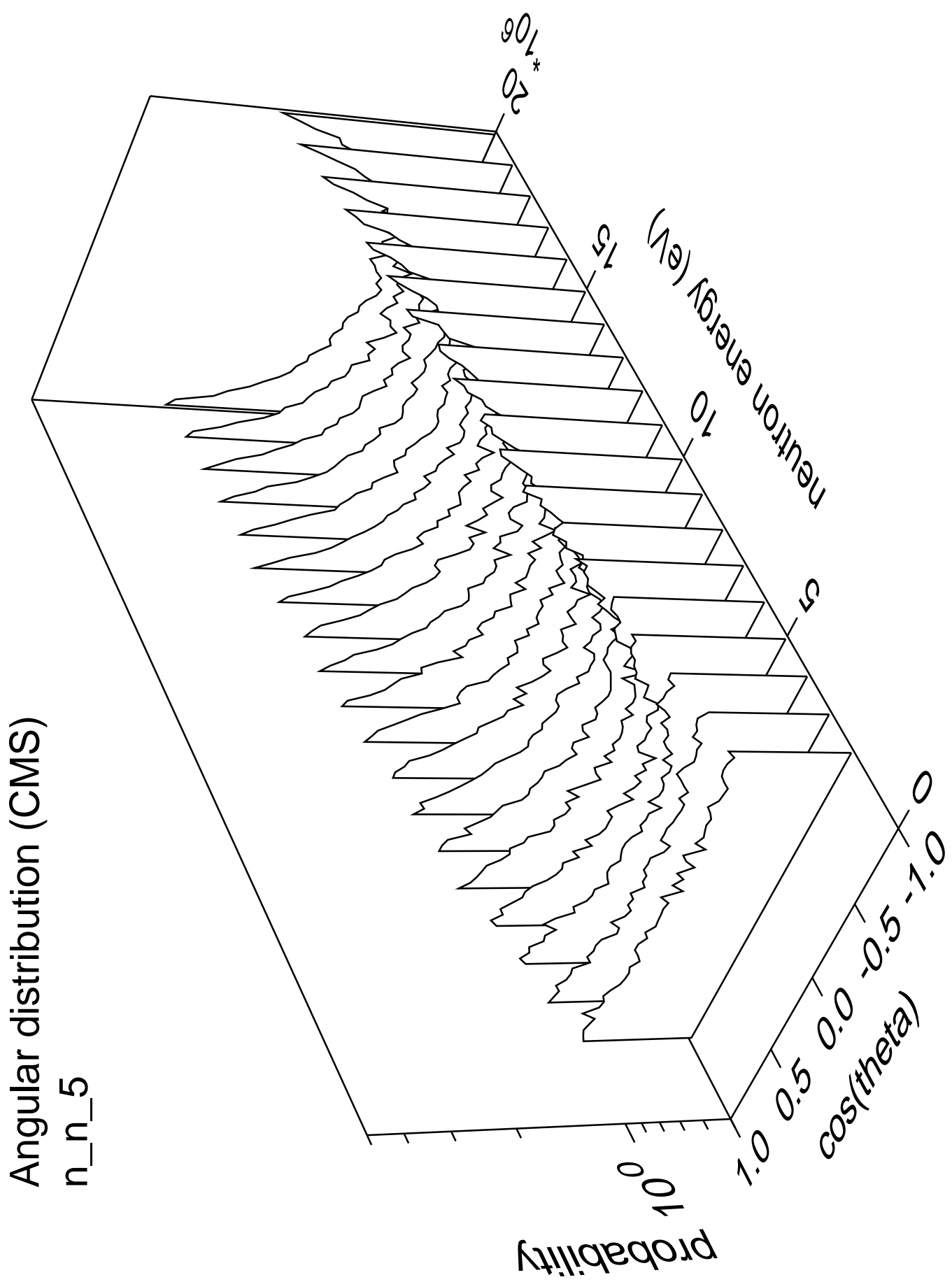


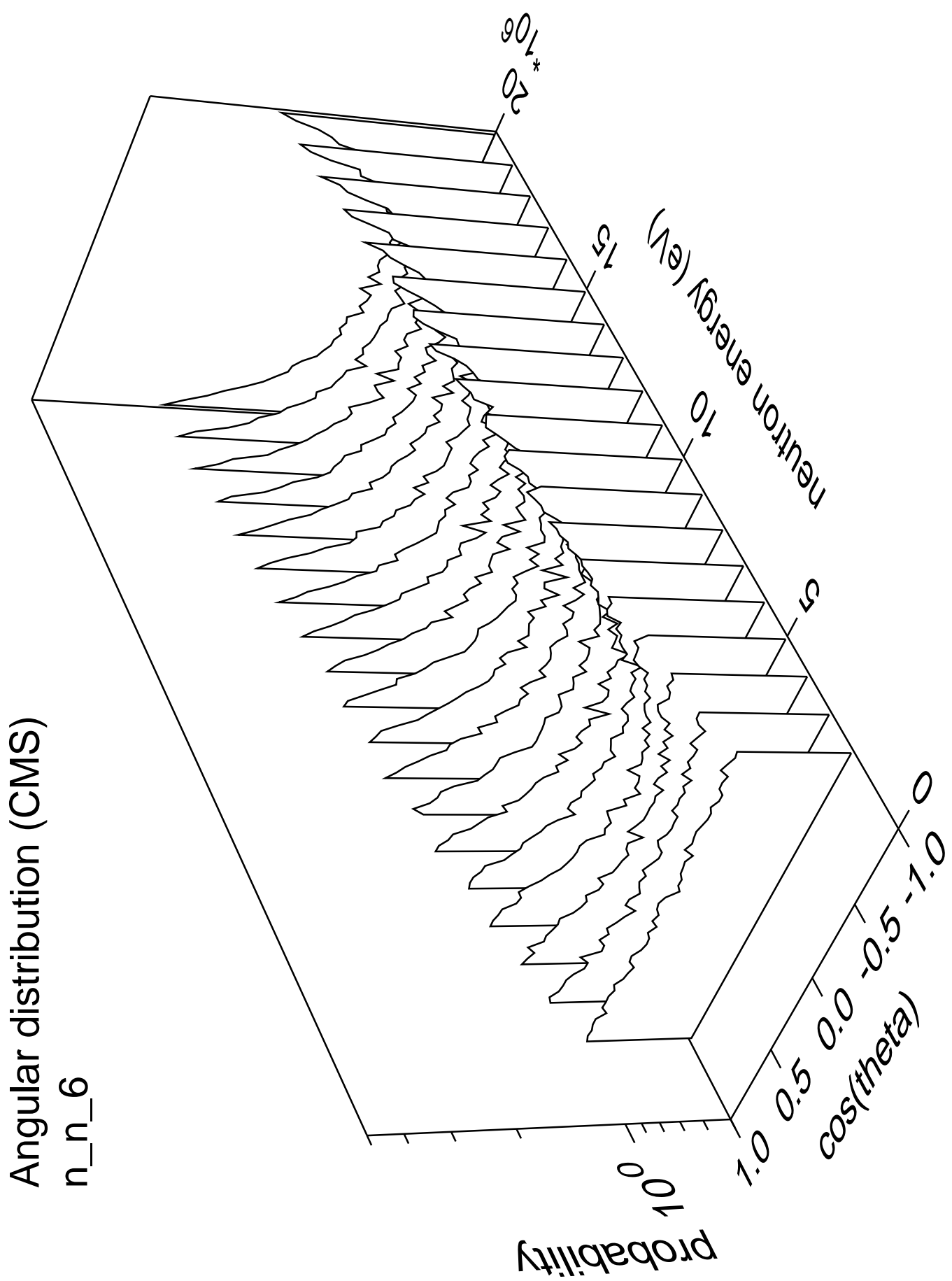


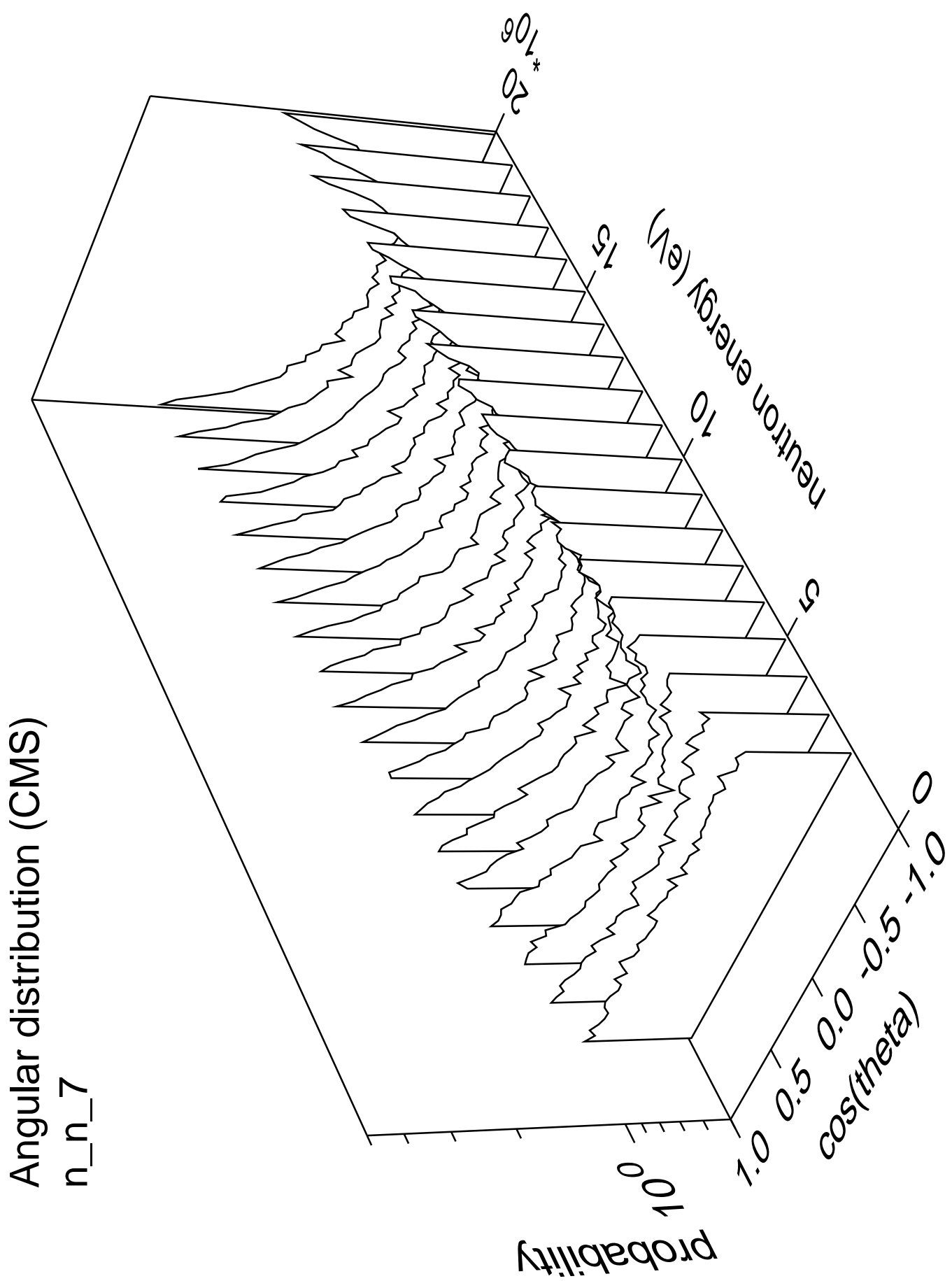


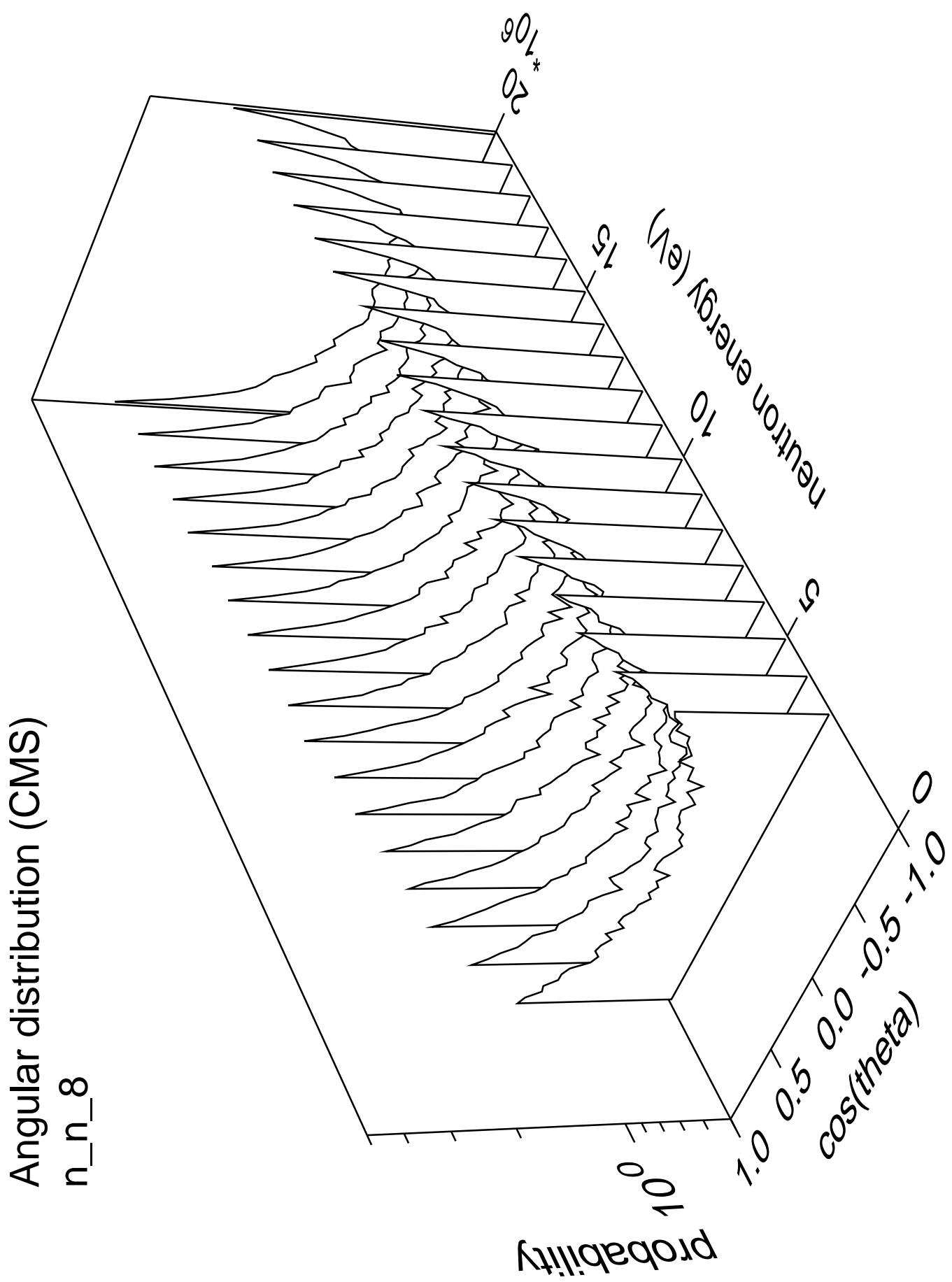


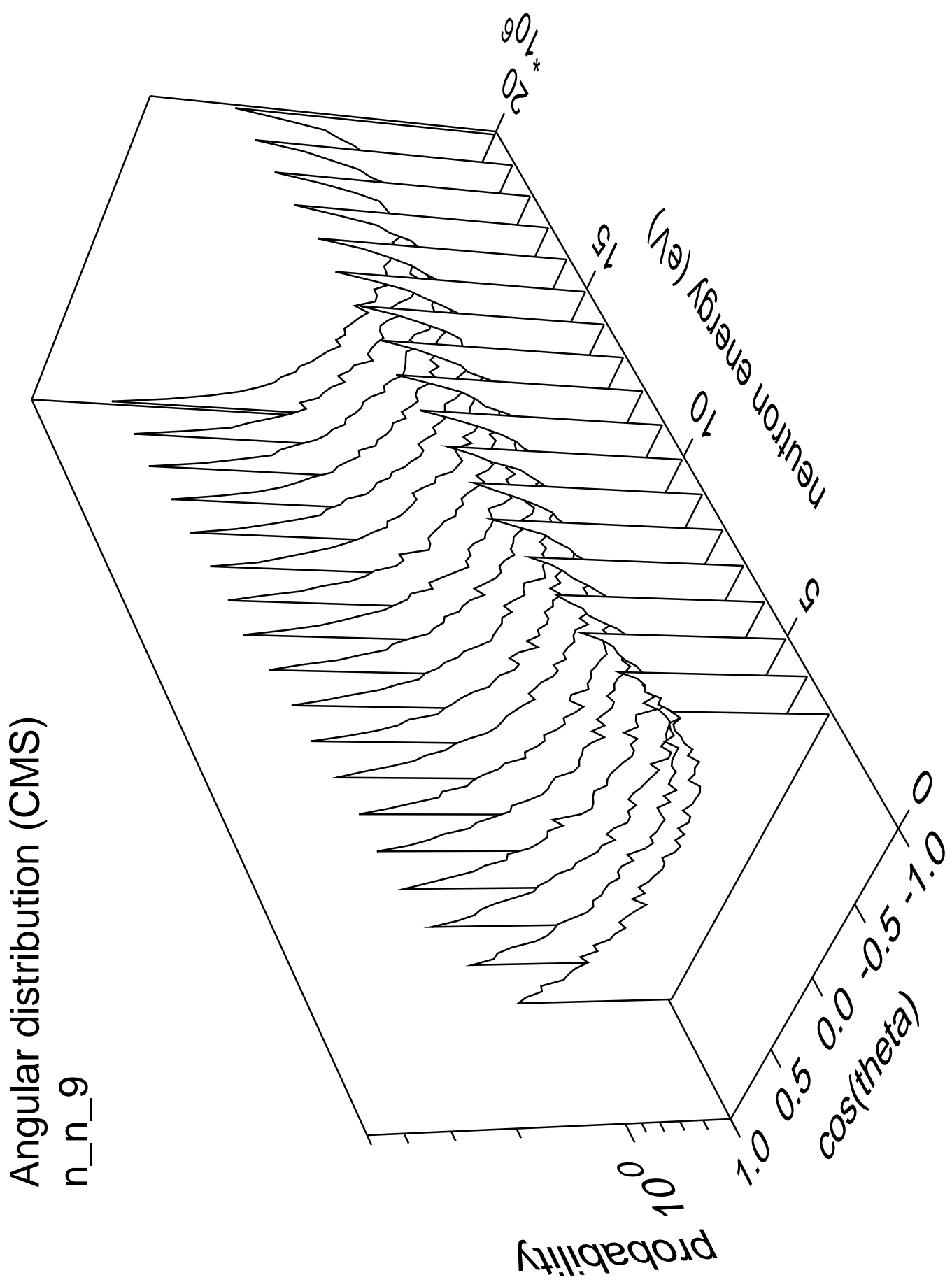


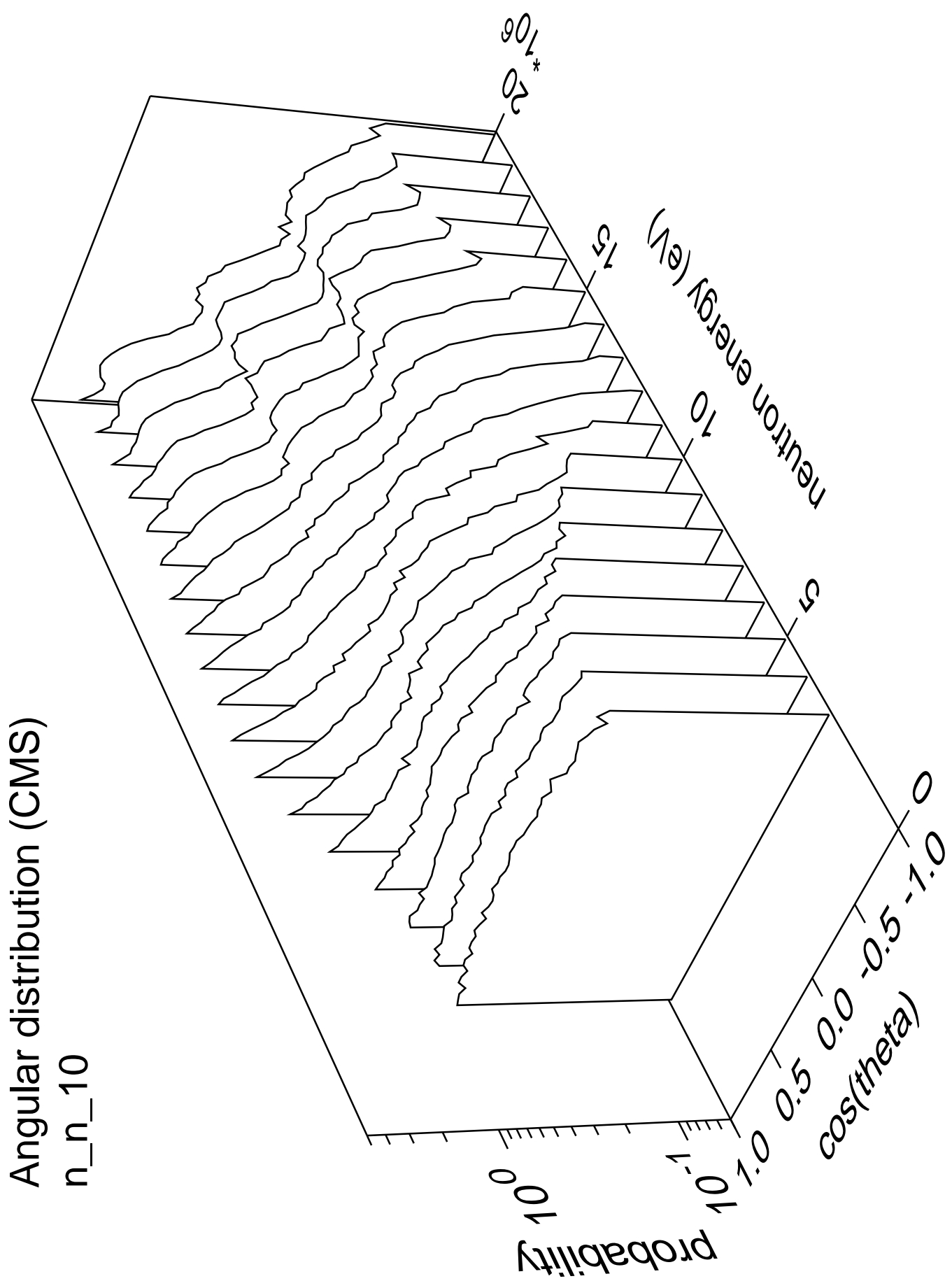


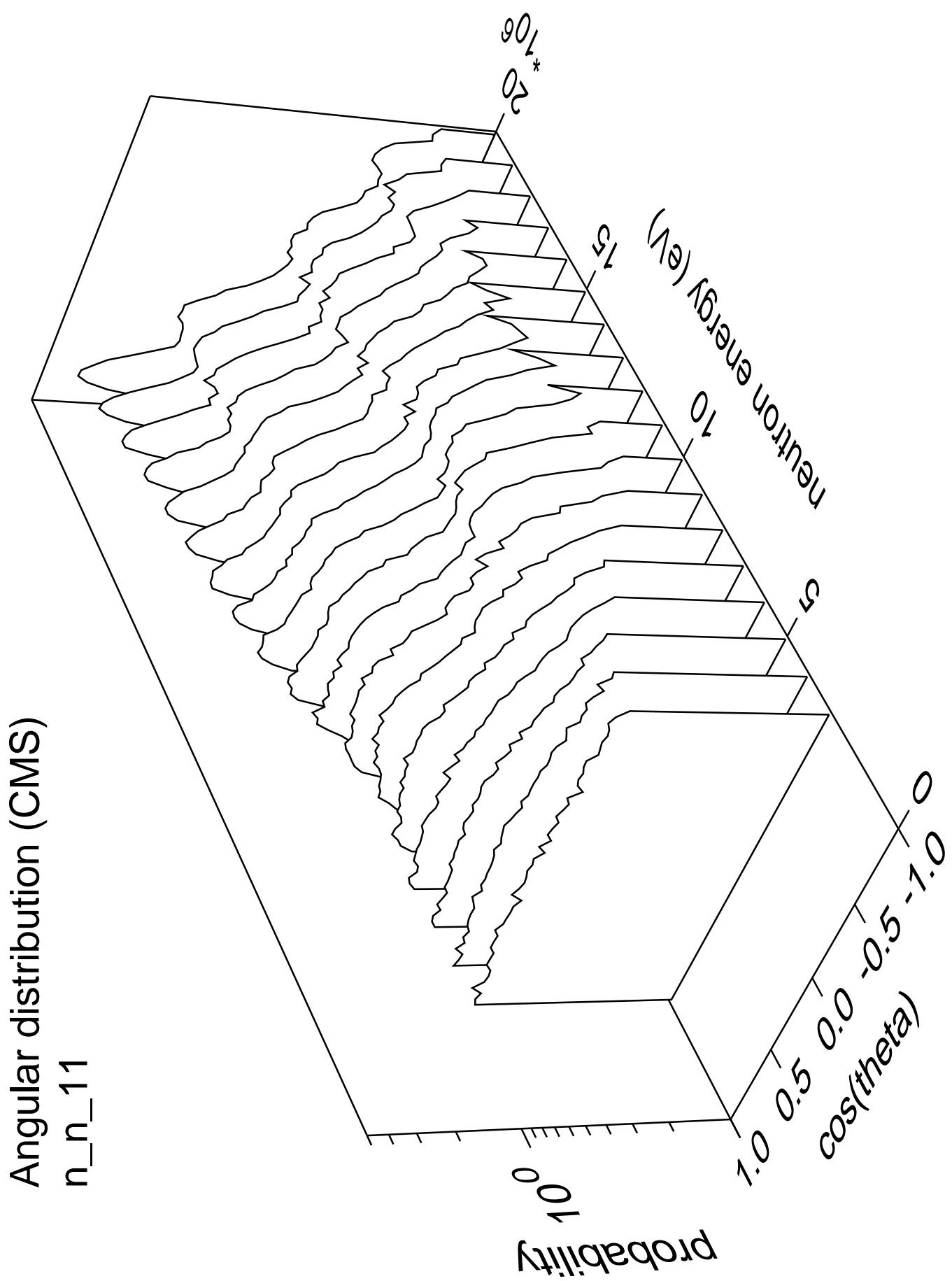


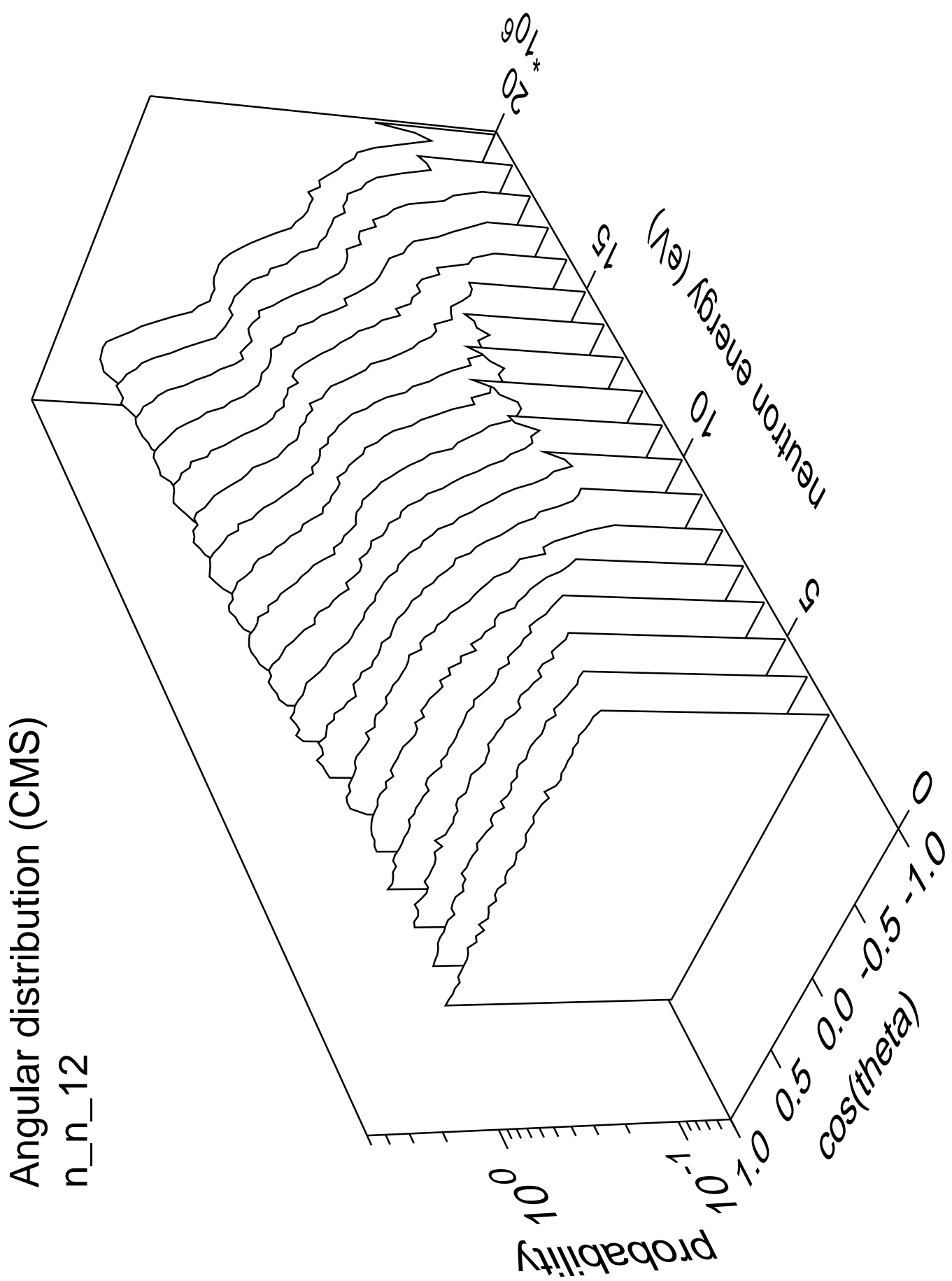


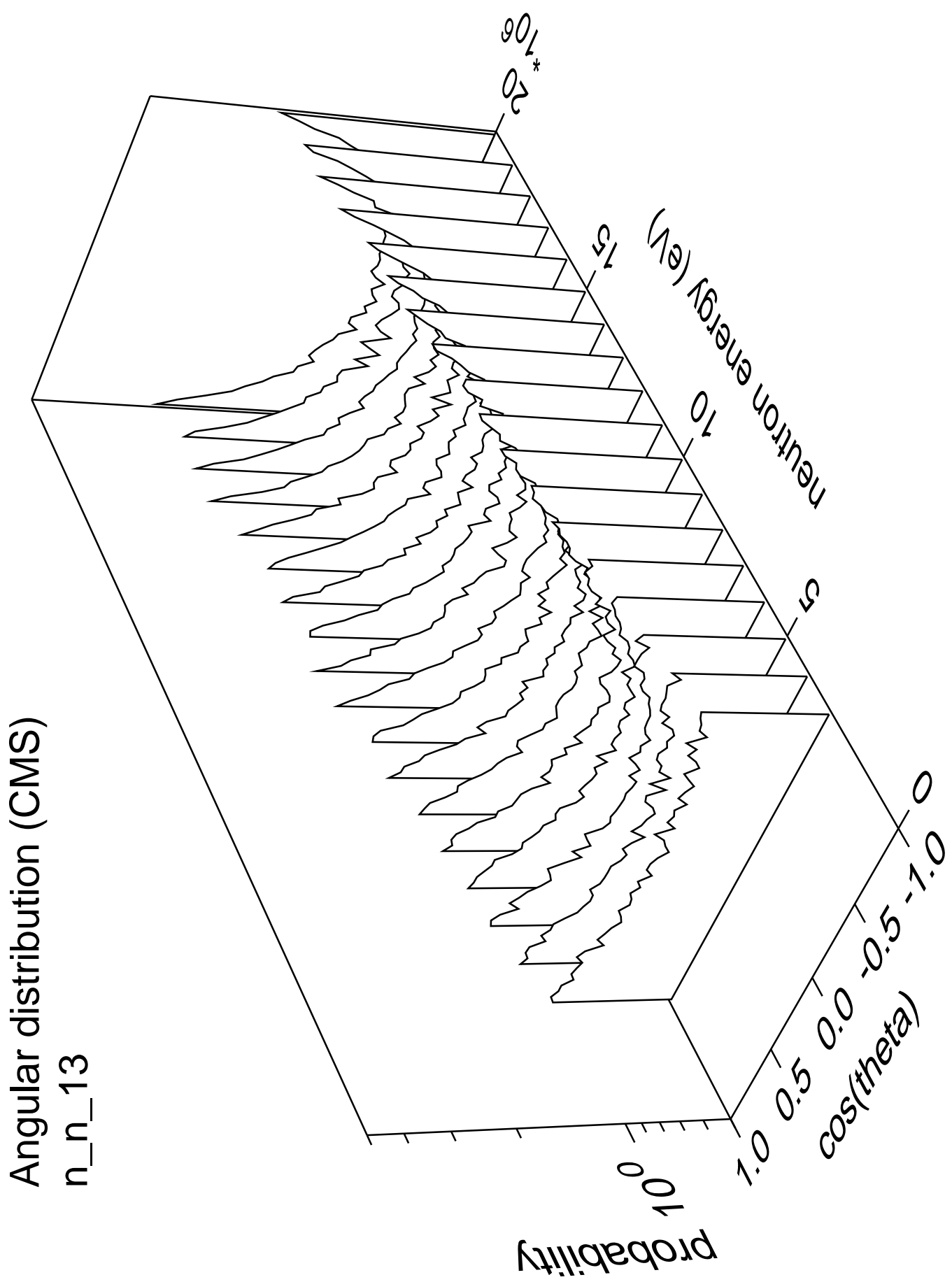


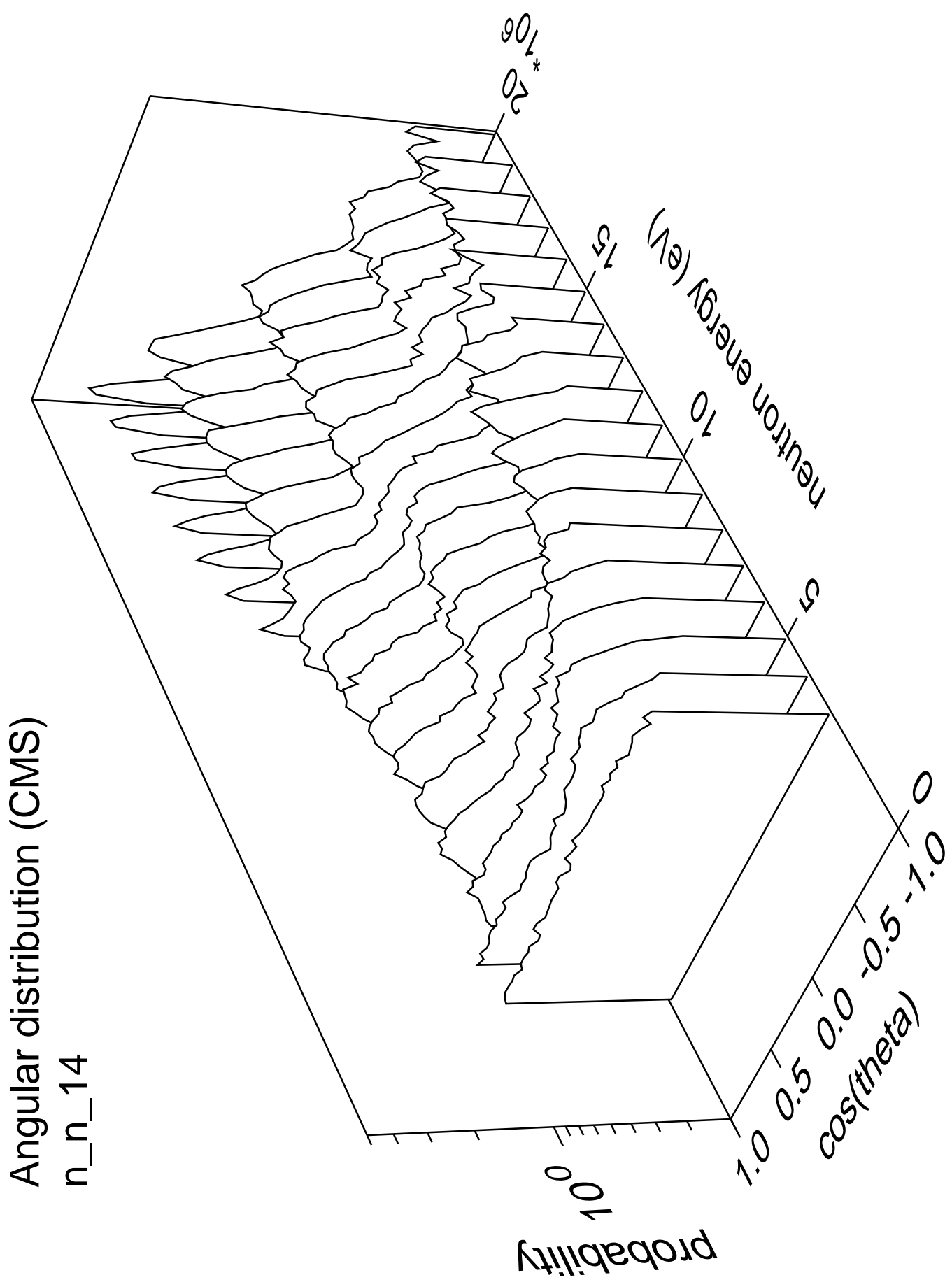


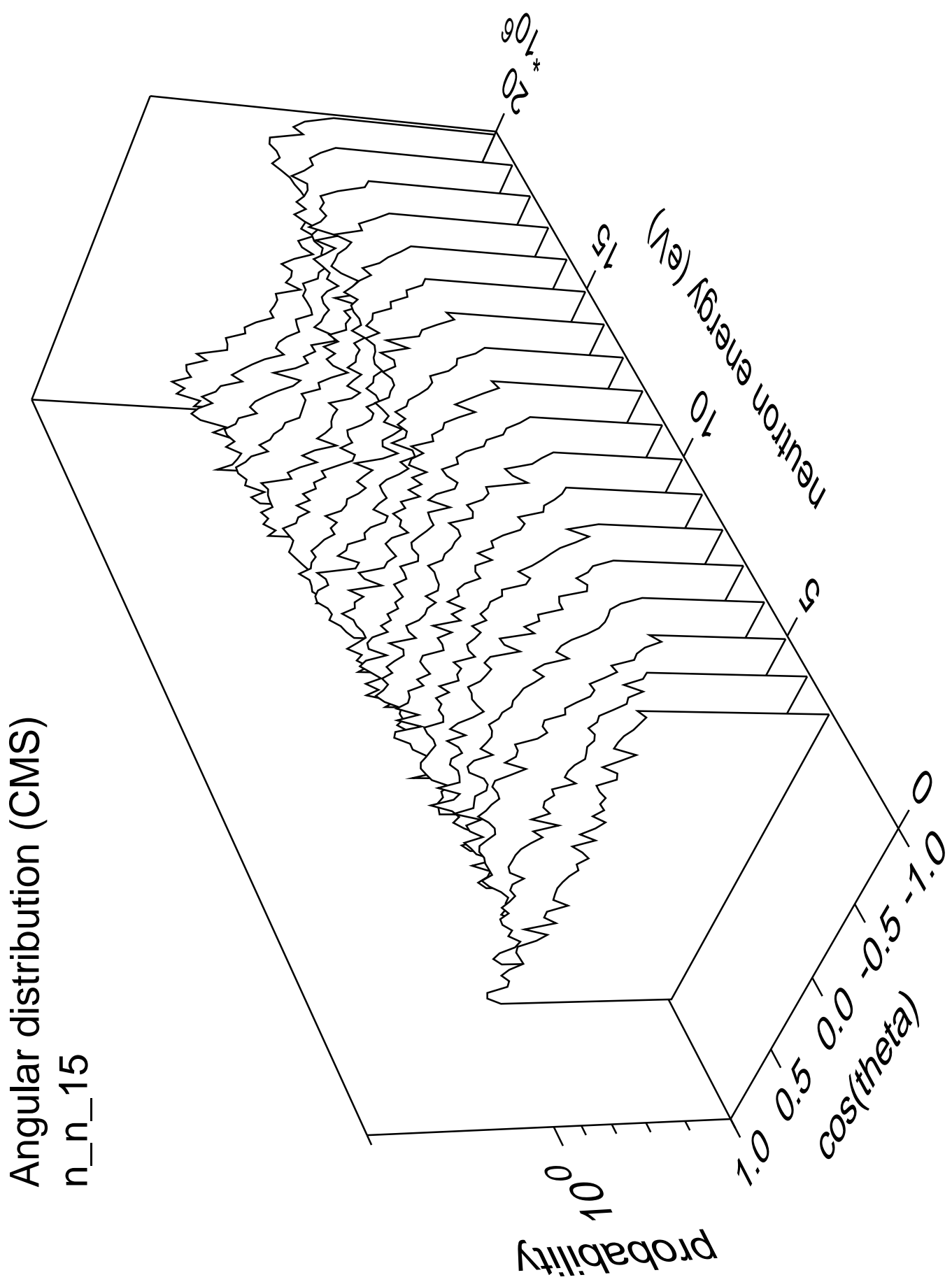


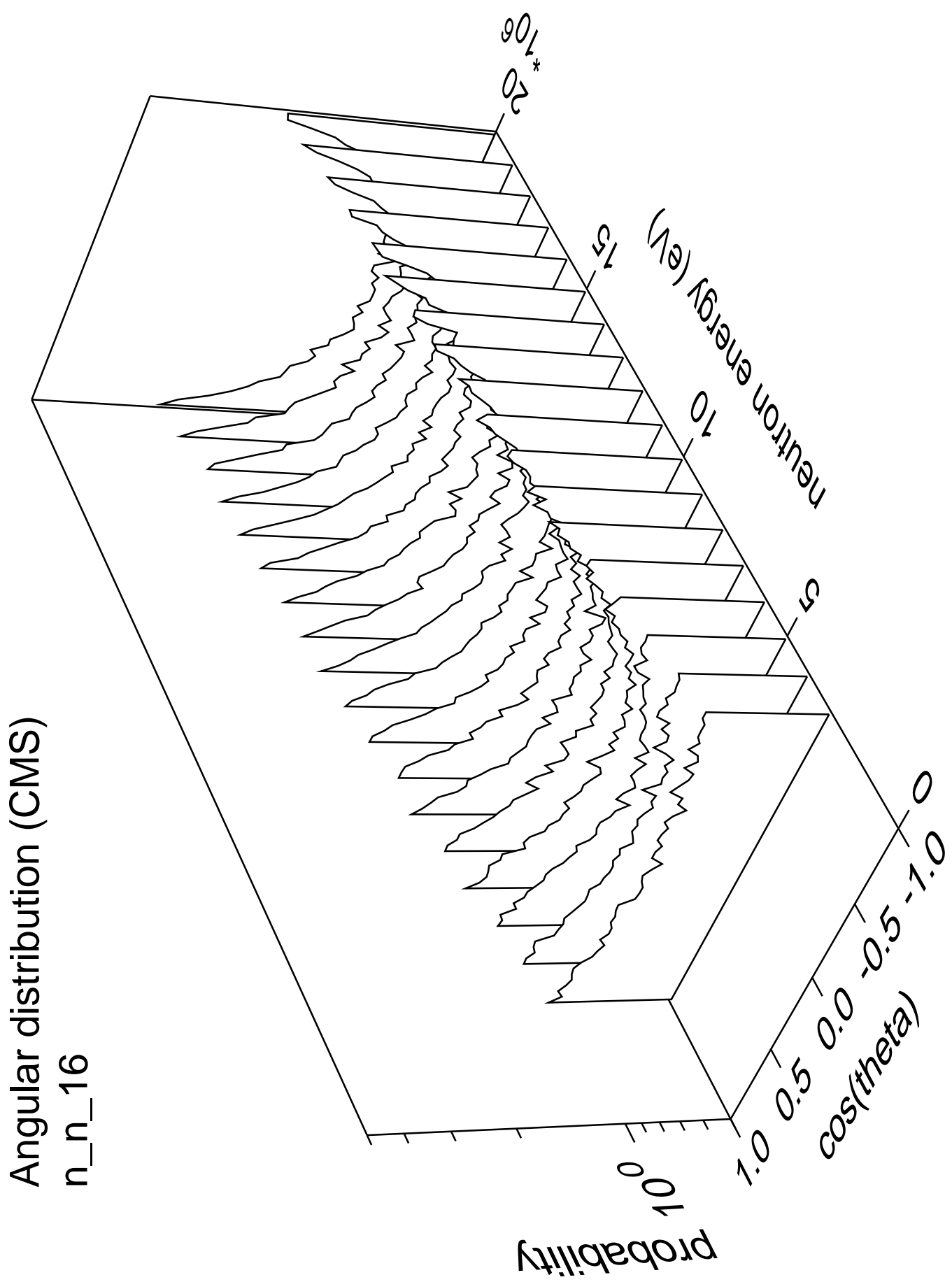


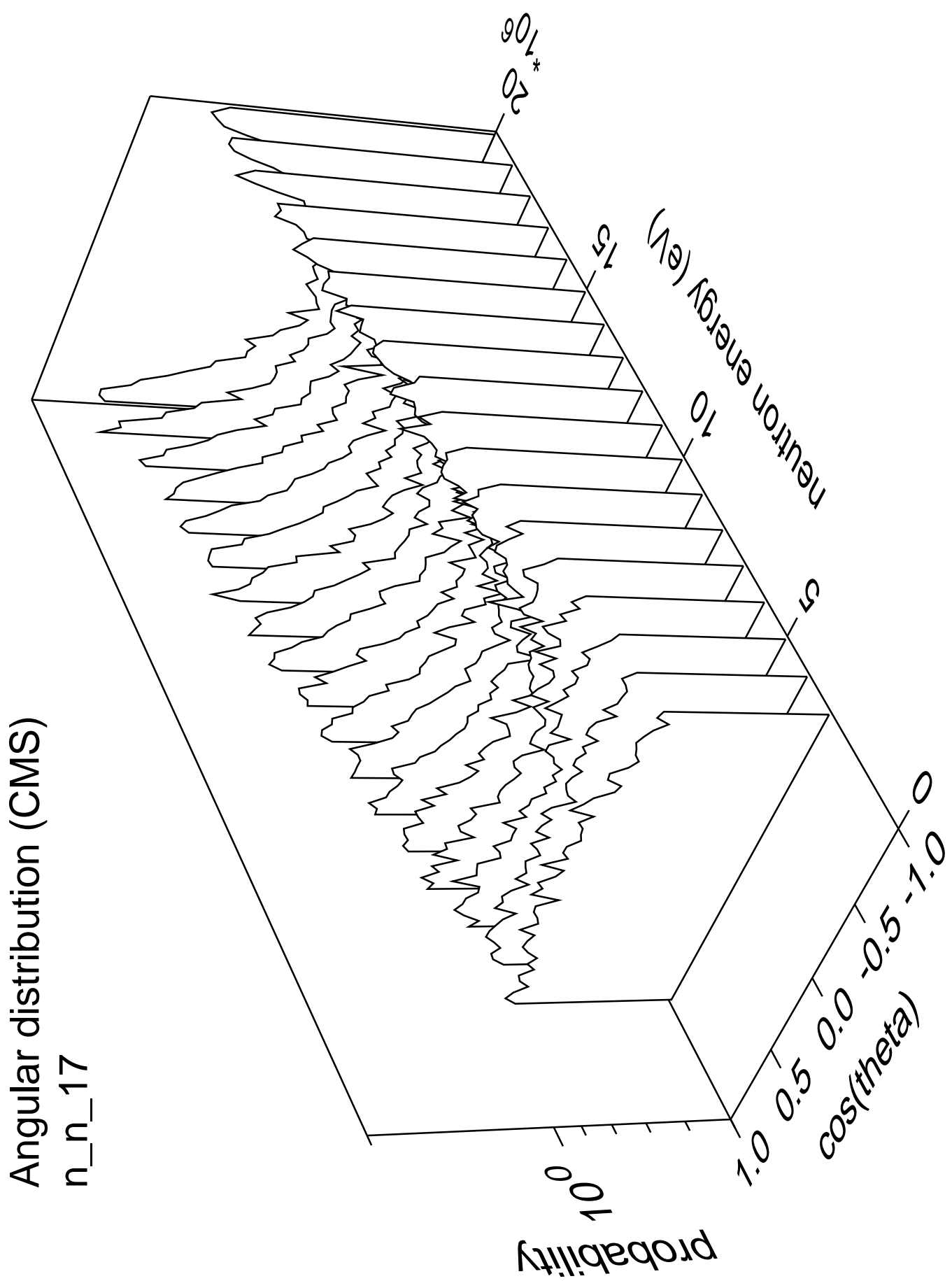


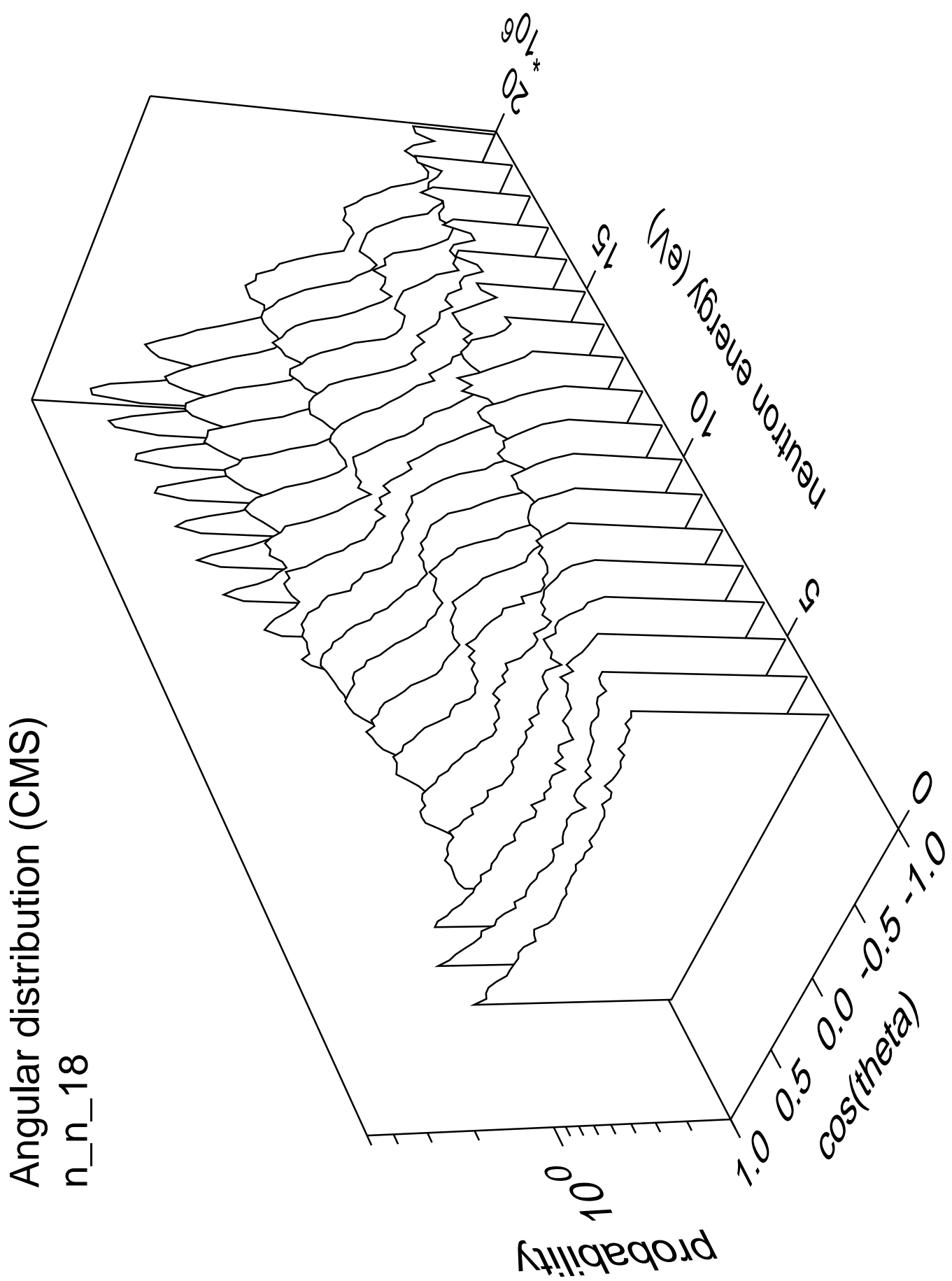


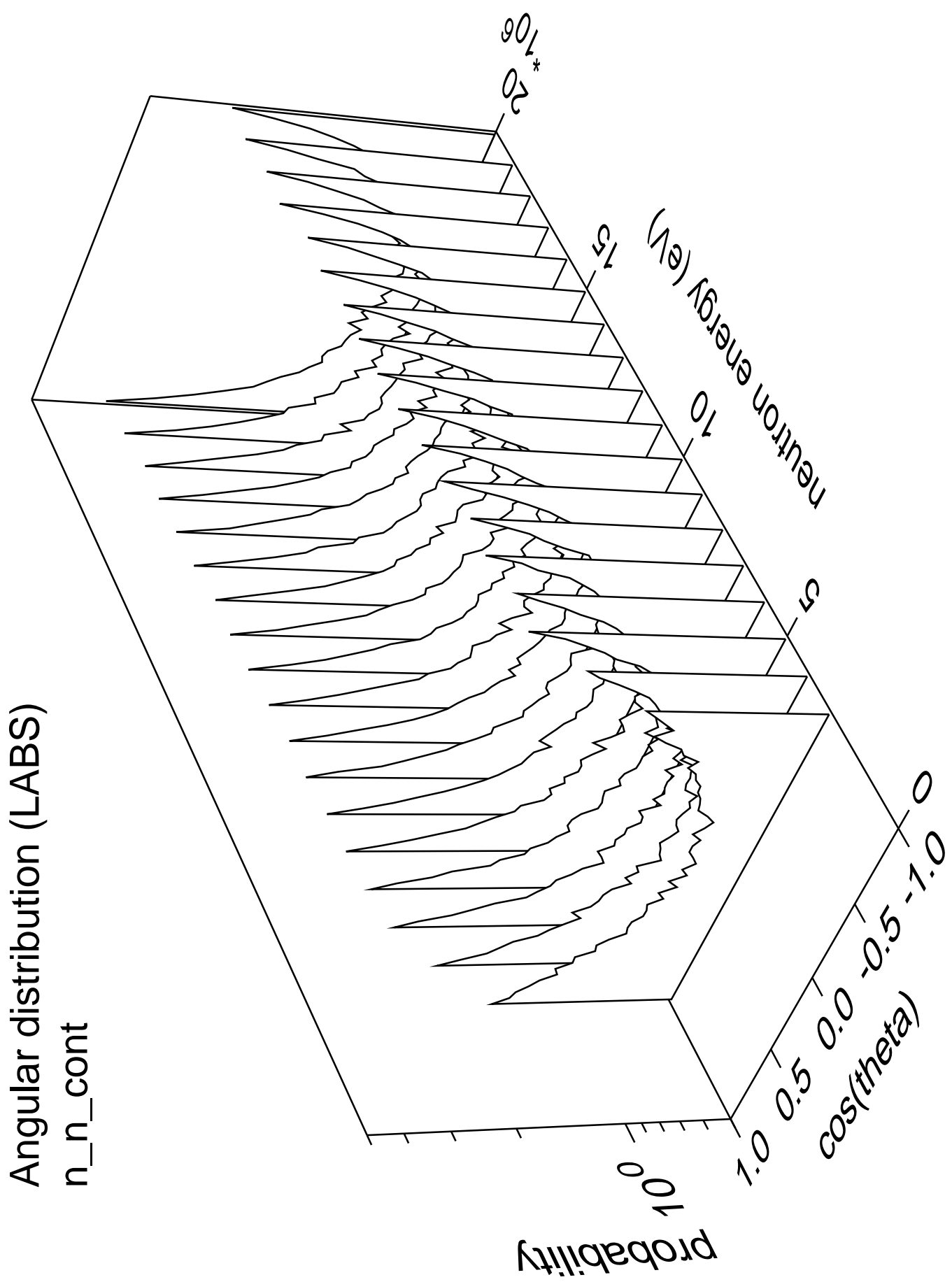


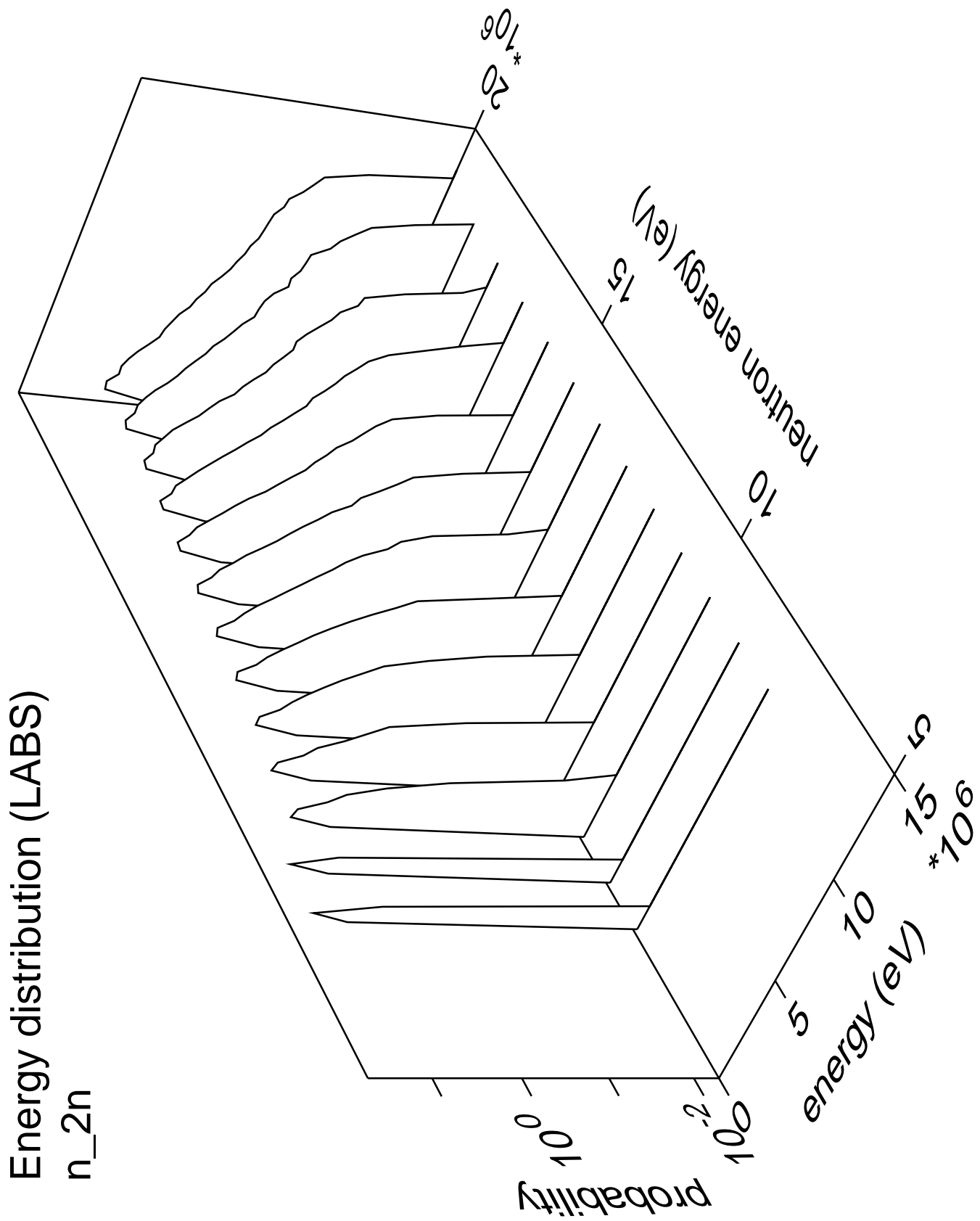


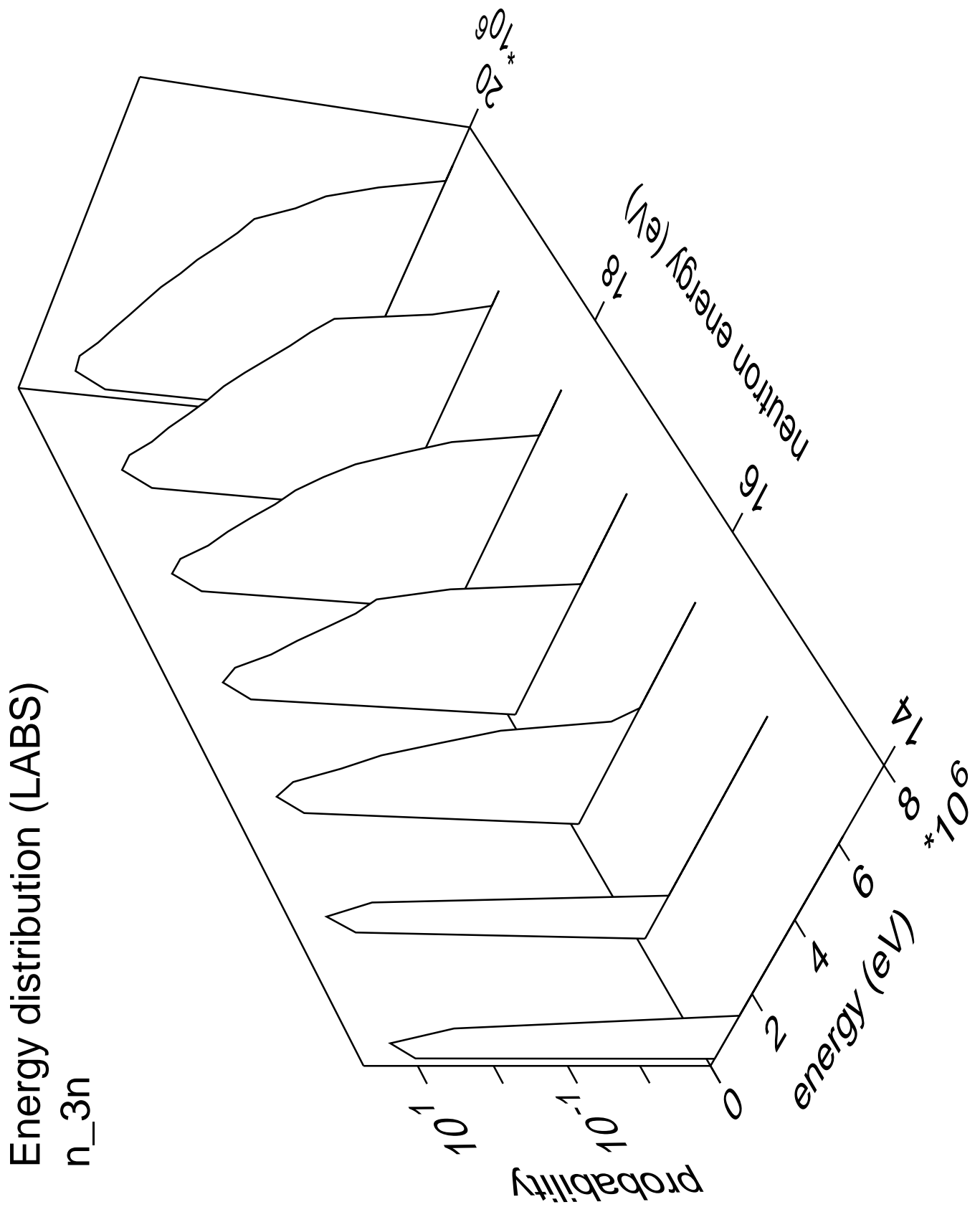


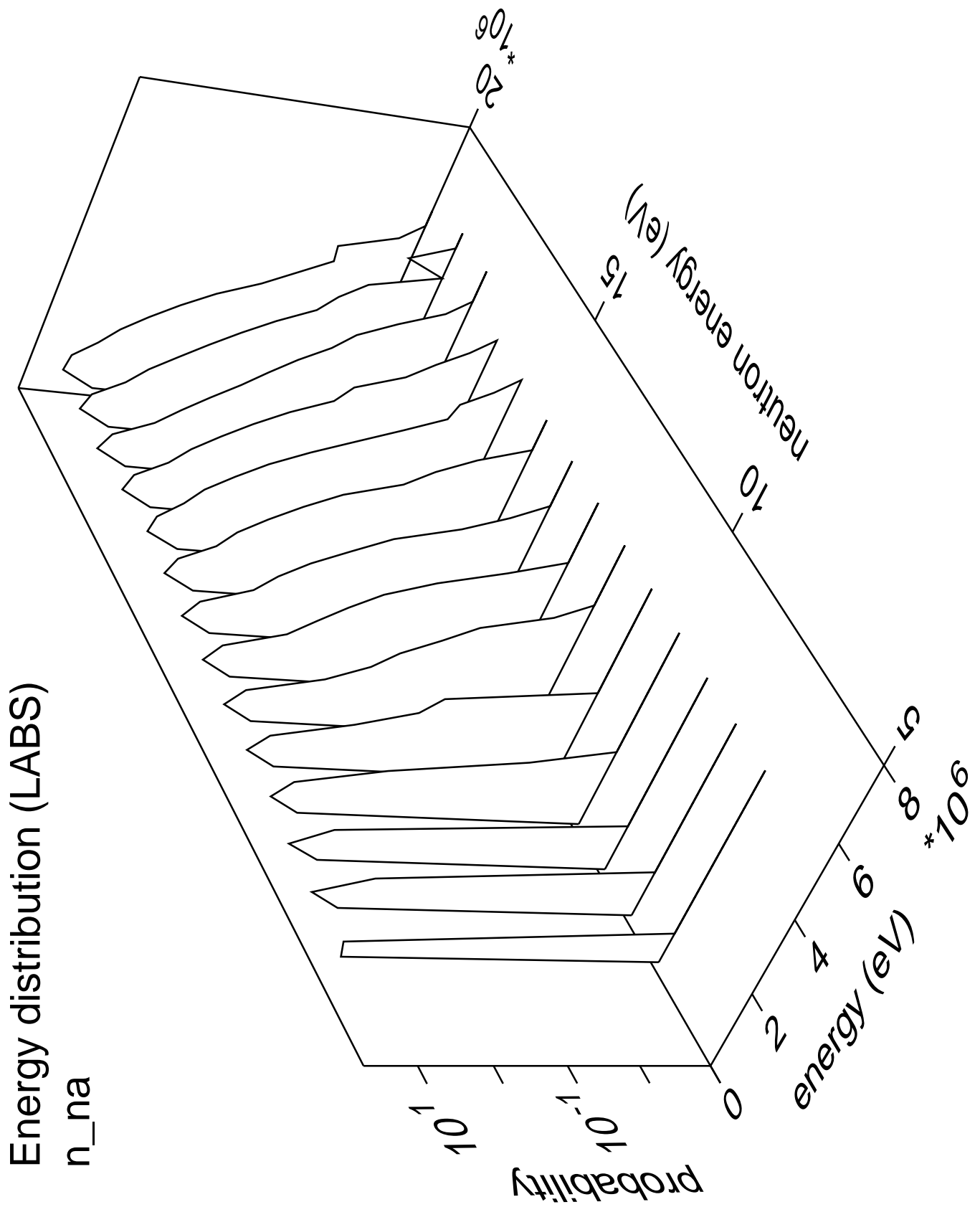


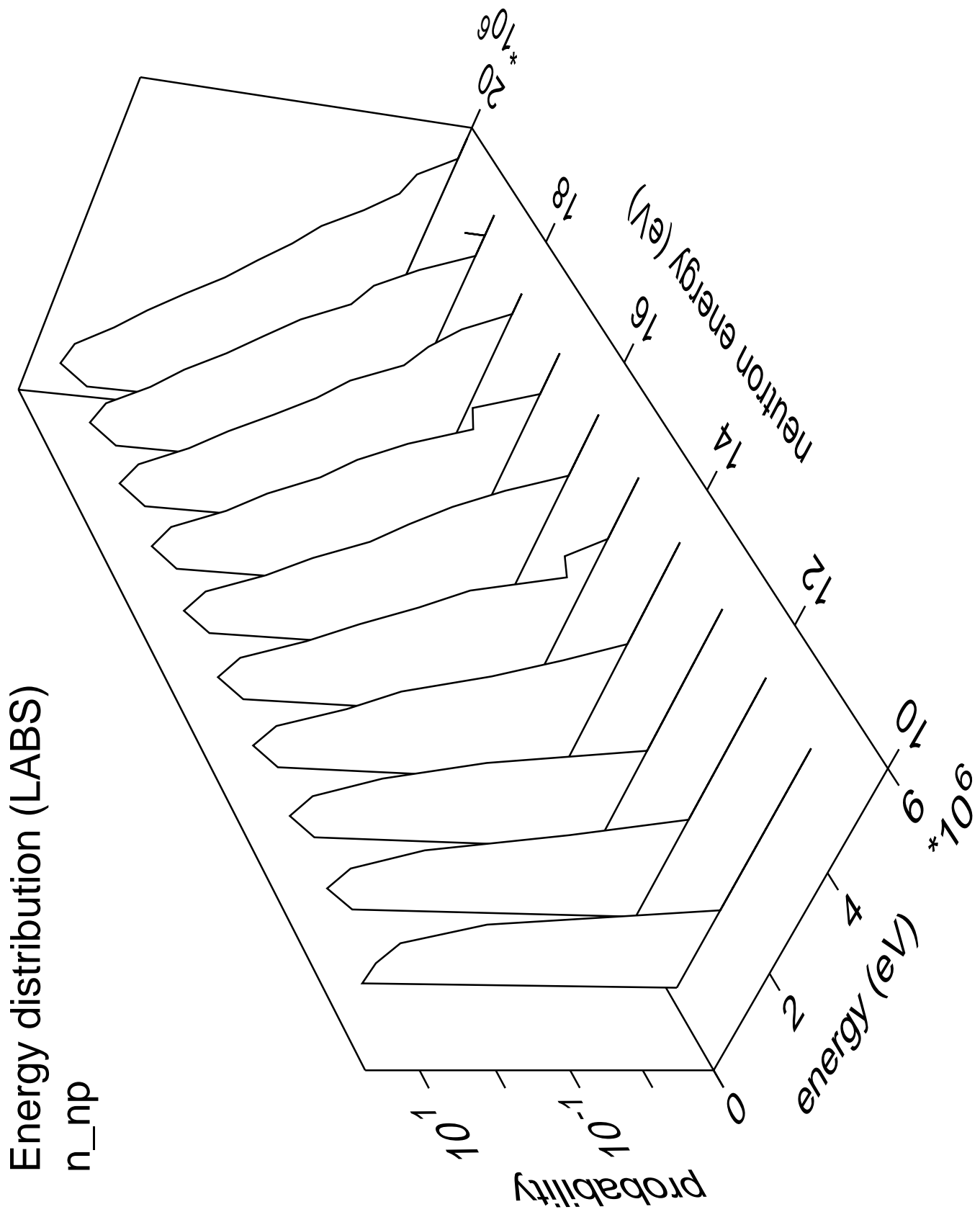


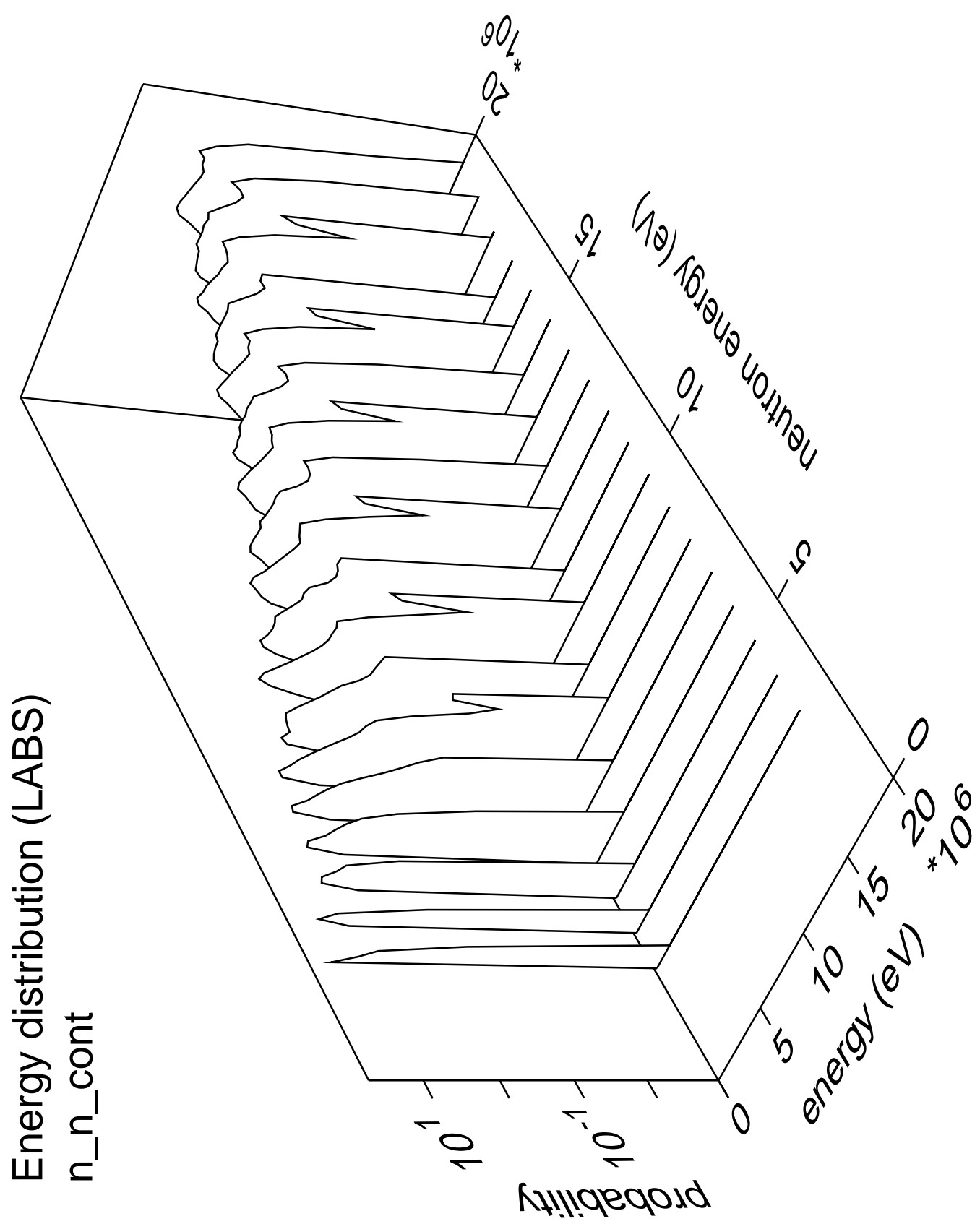




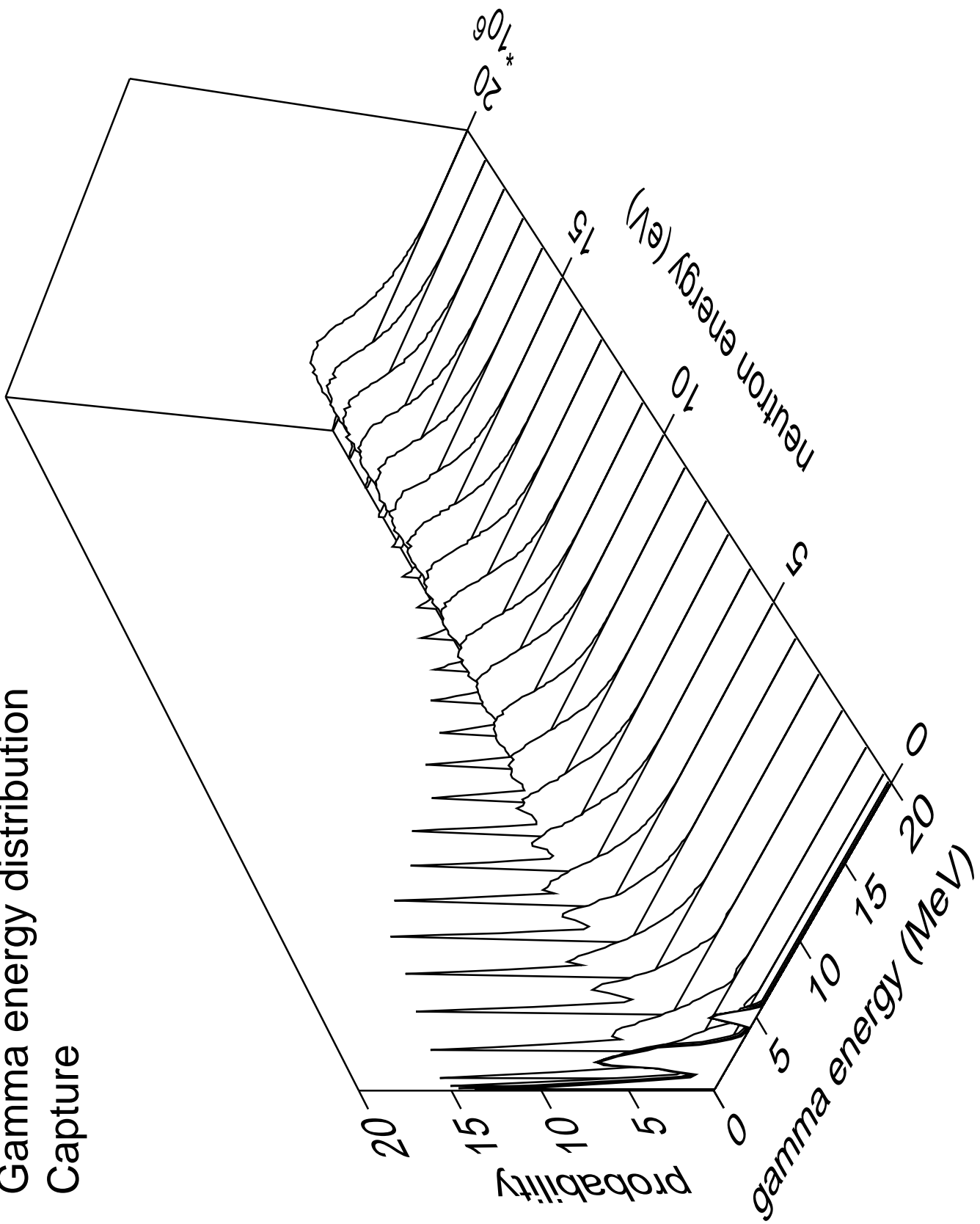




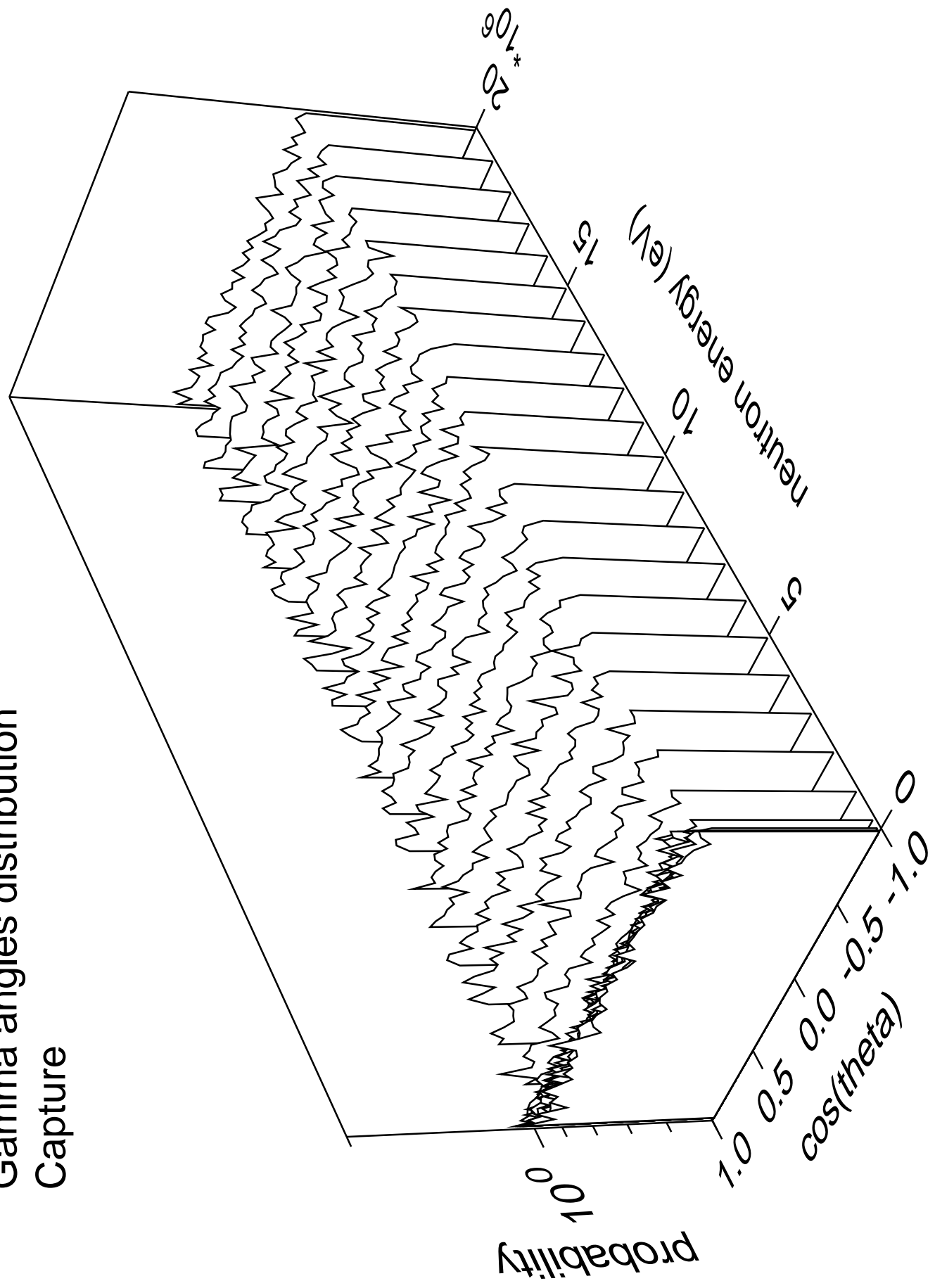




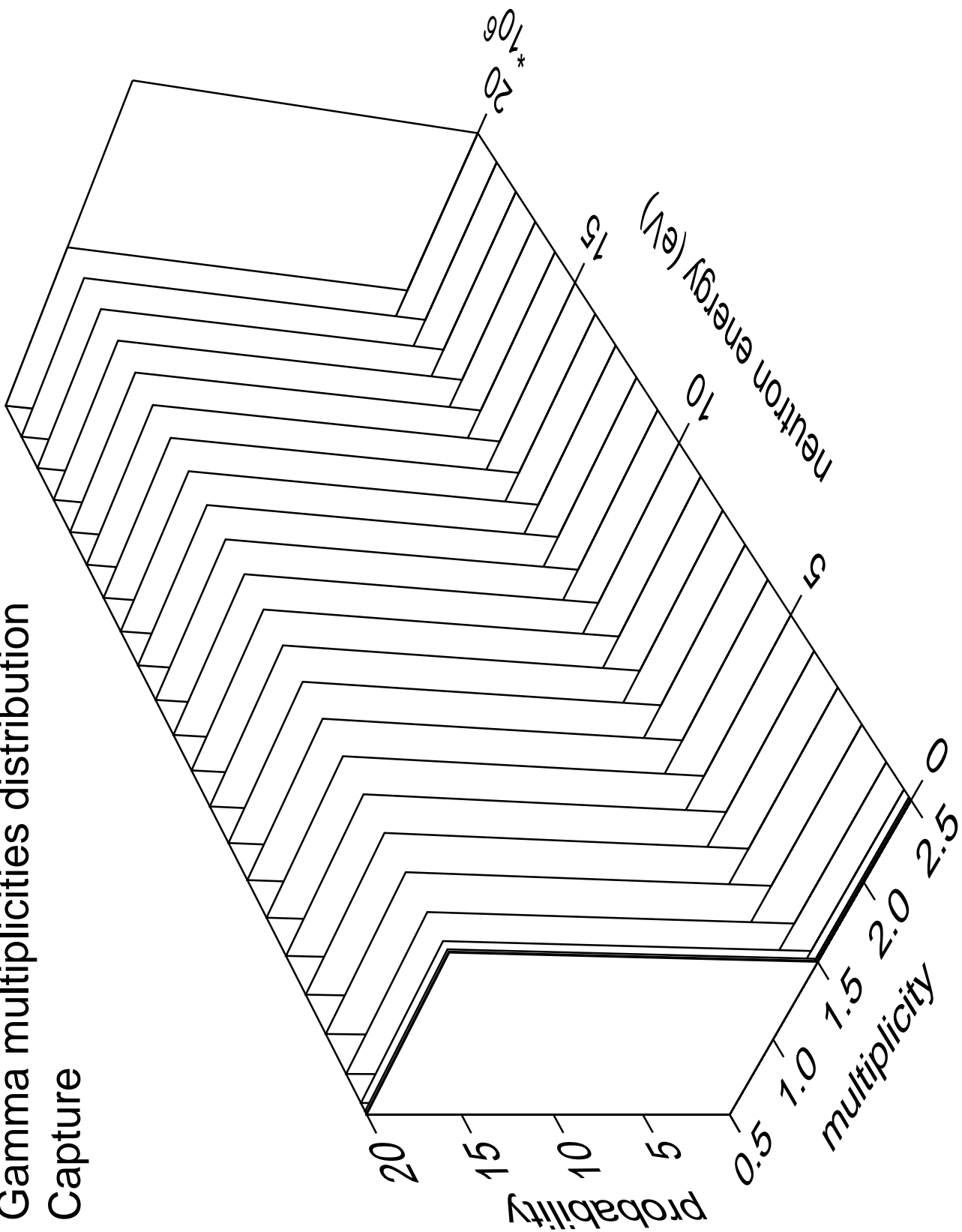
# Gamma energy distribution Capture



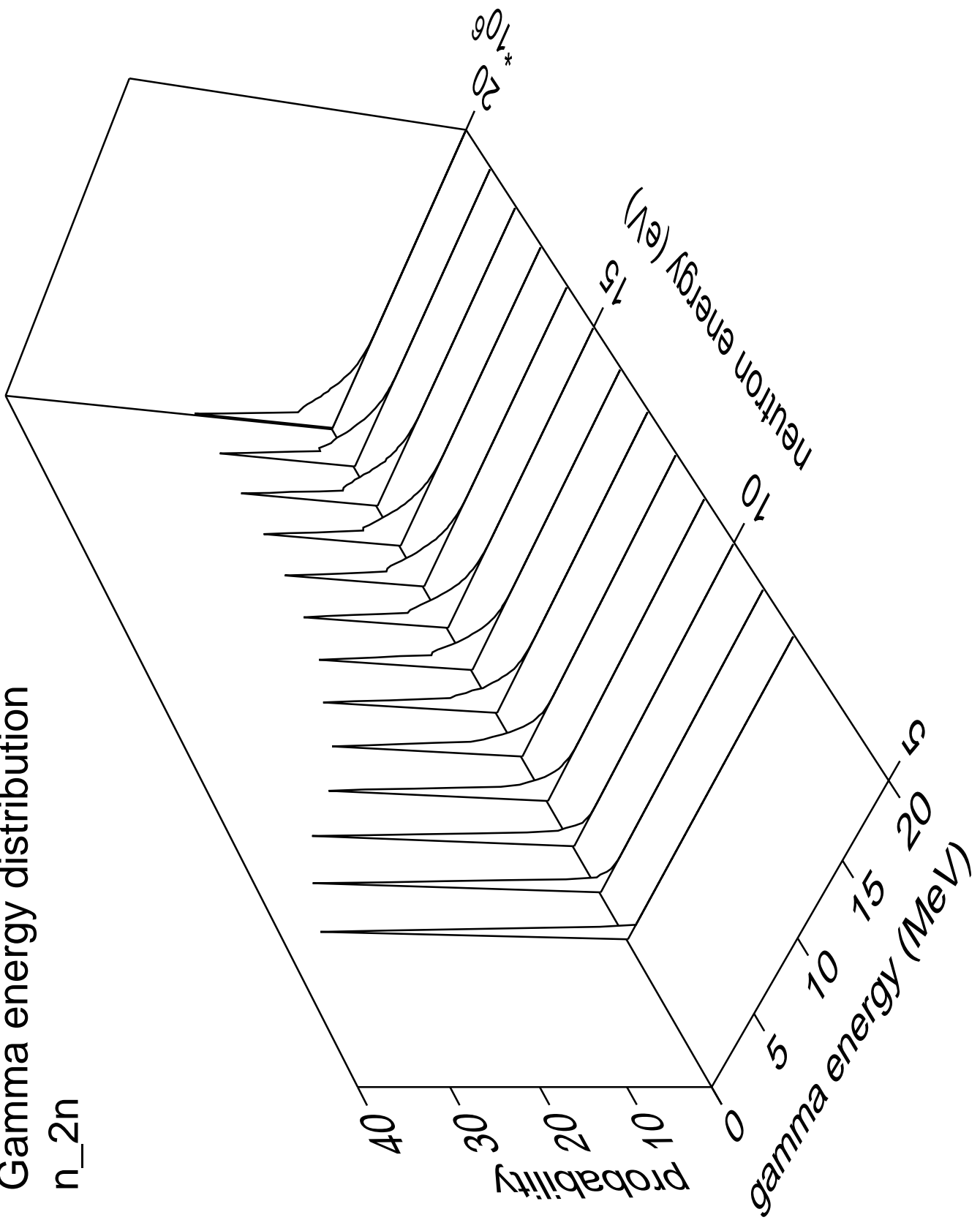
# Gamma angles distribution Capture



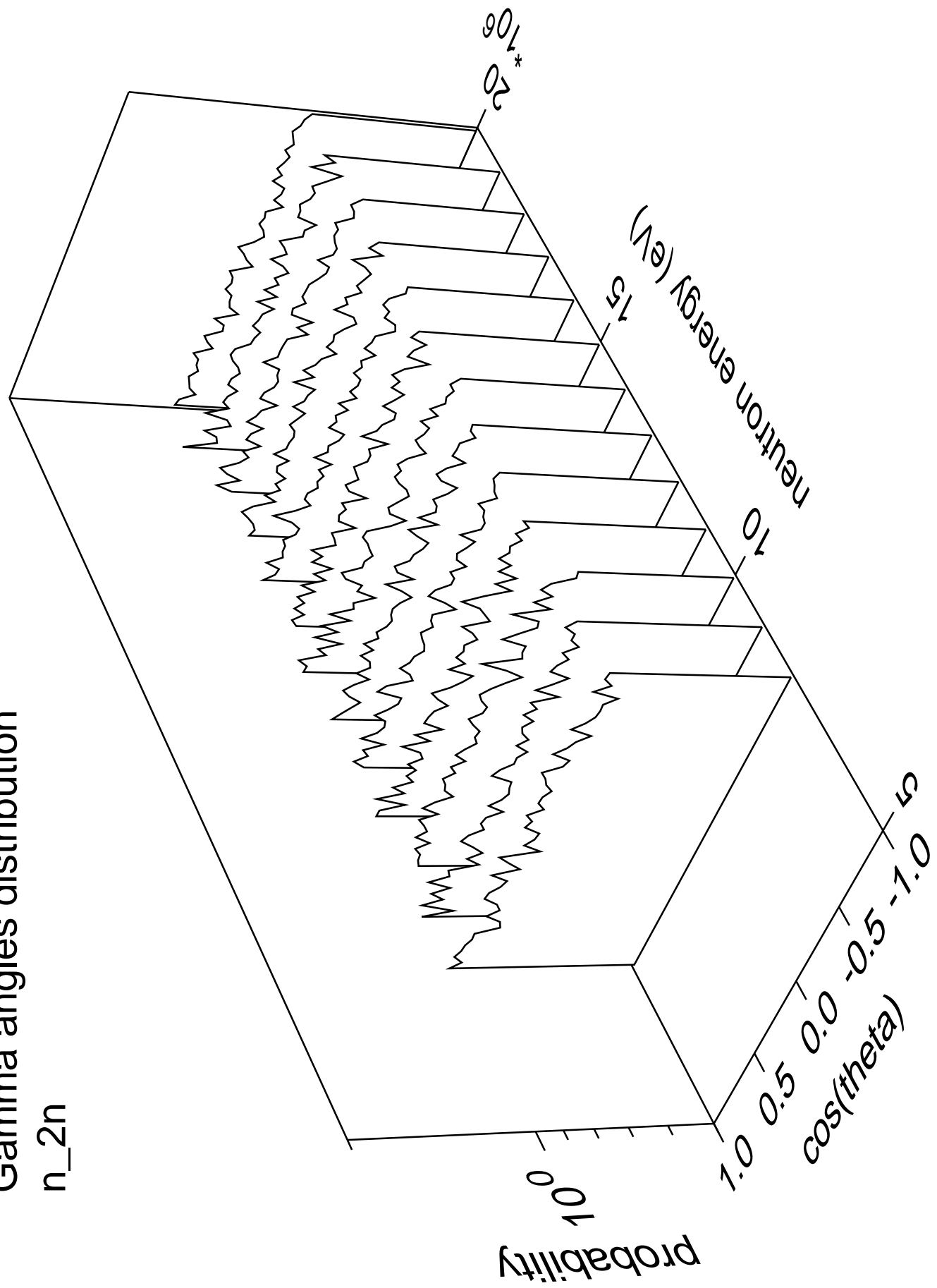
# Gamma multiplicities distribution Capture

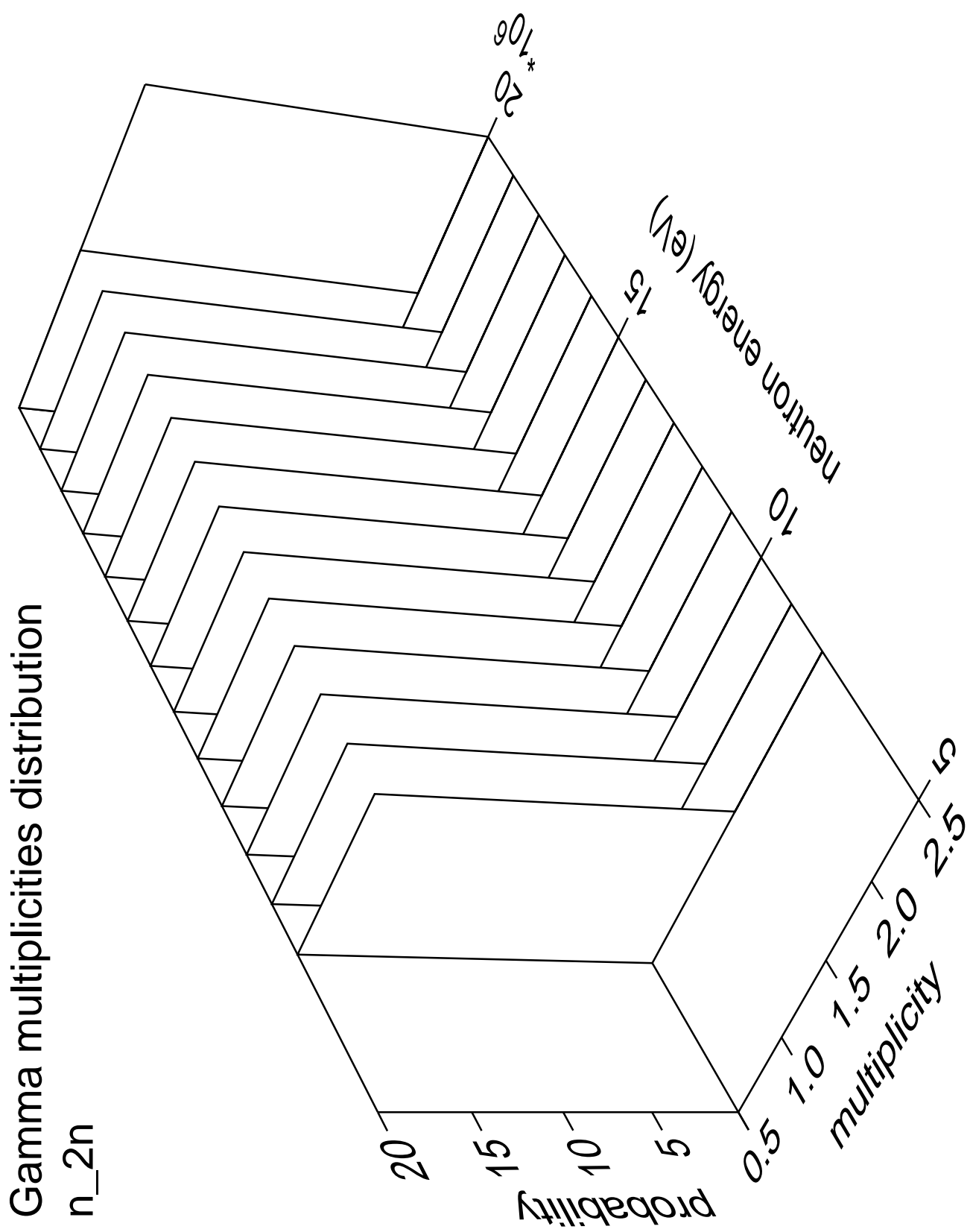


# Gamma energy distribution $n_{2n}$

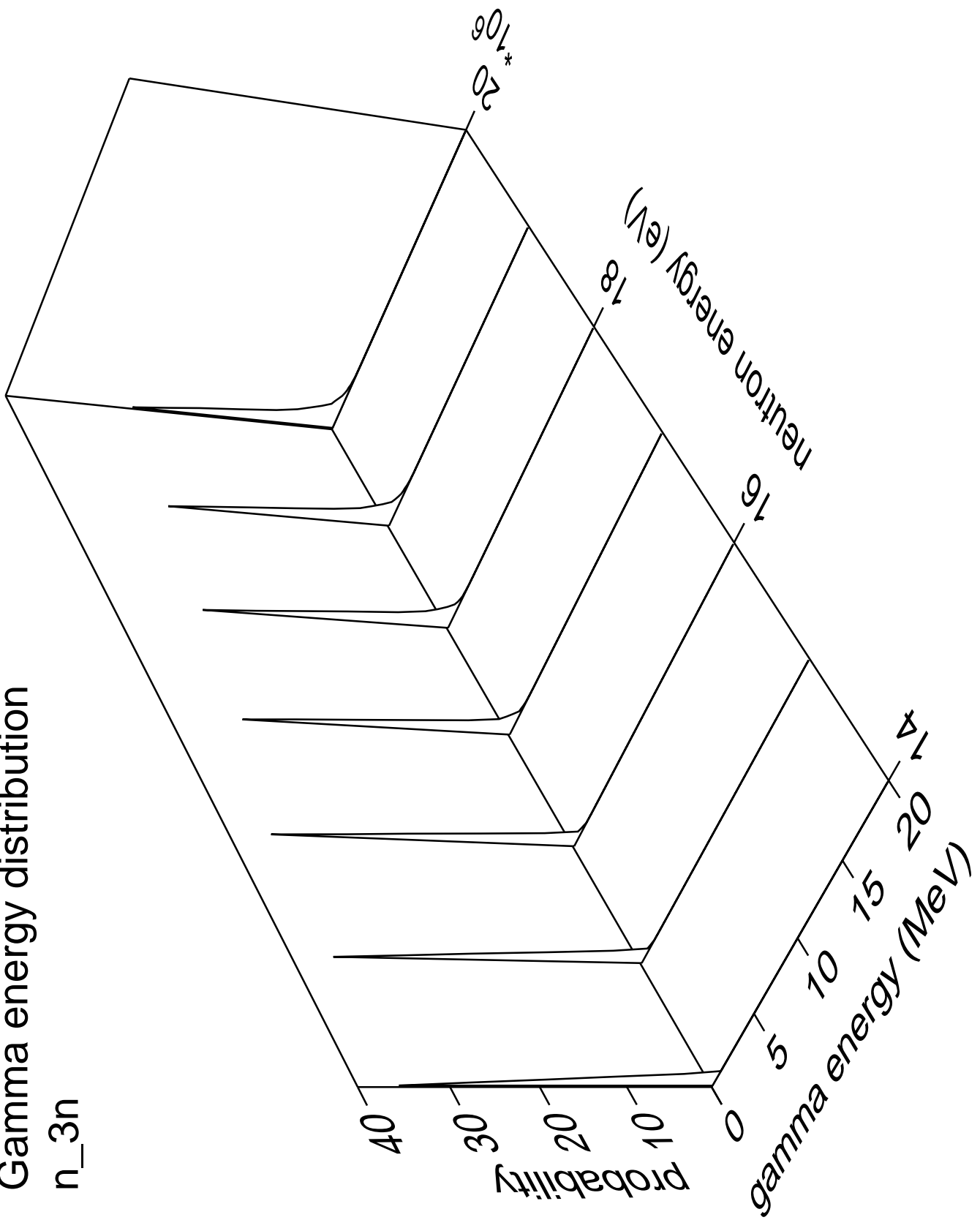


# Gamma angles distribution $n_{2n}$

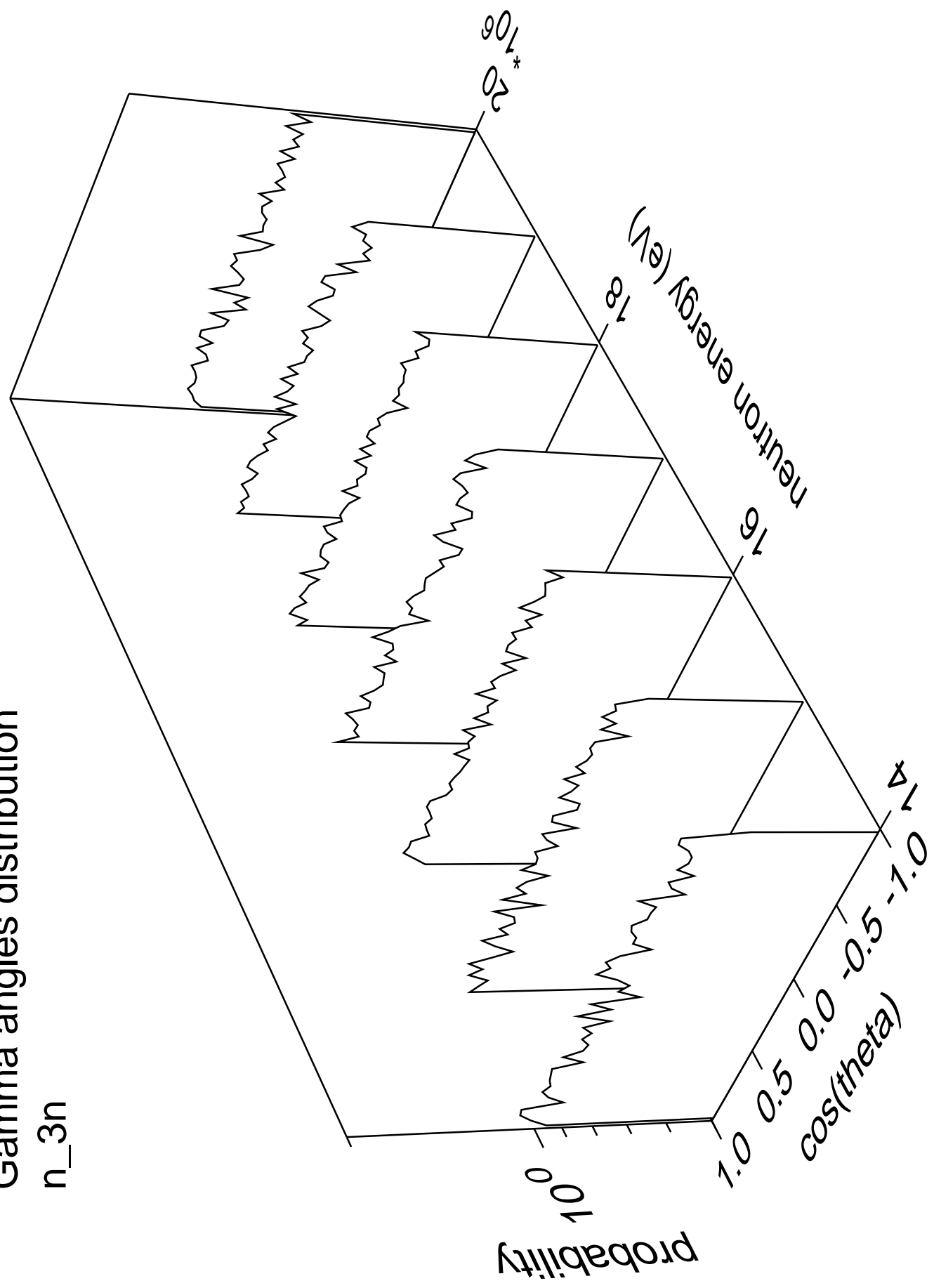


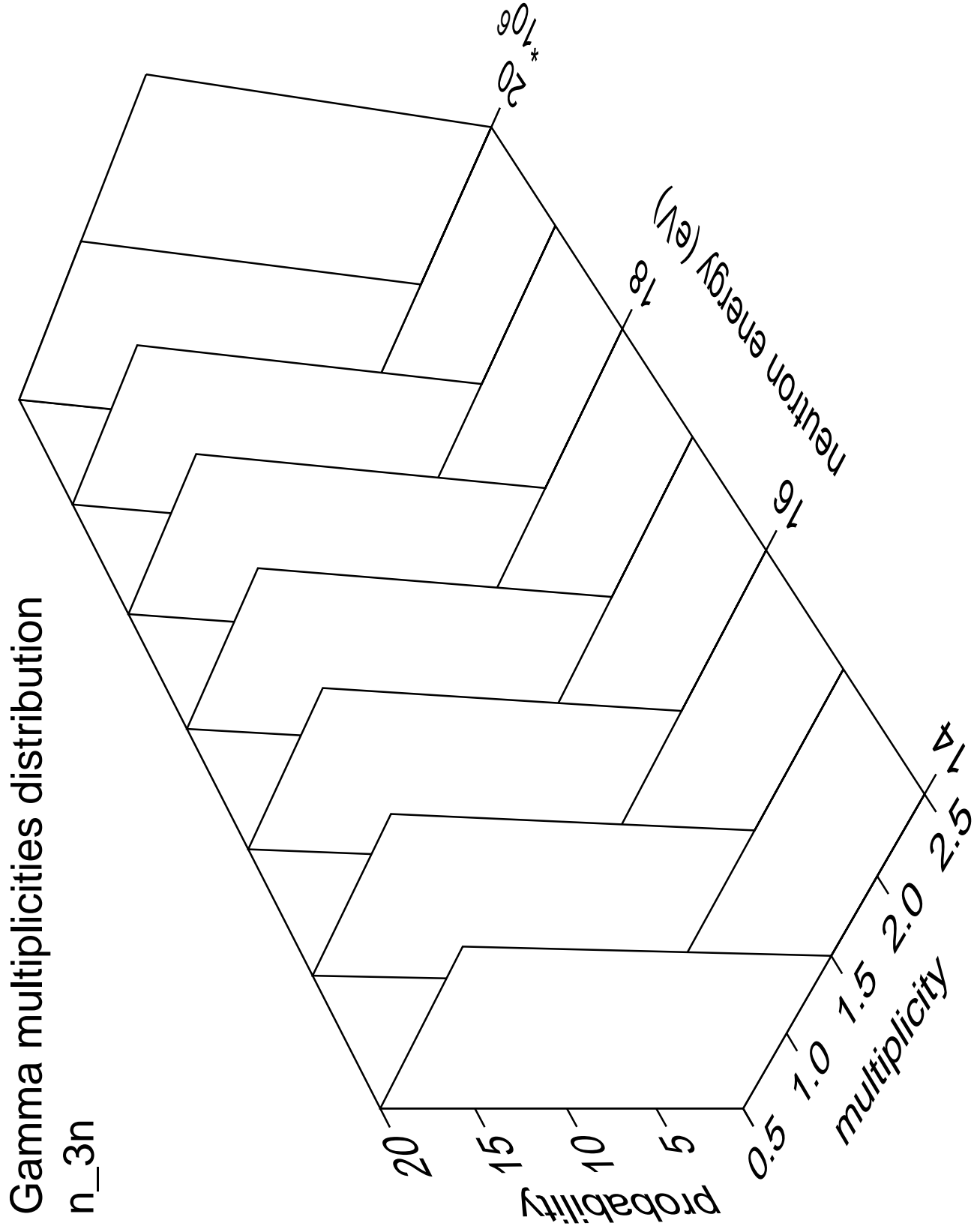


# Gamma energy distribution $n_{3n}$



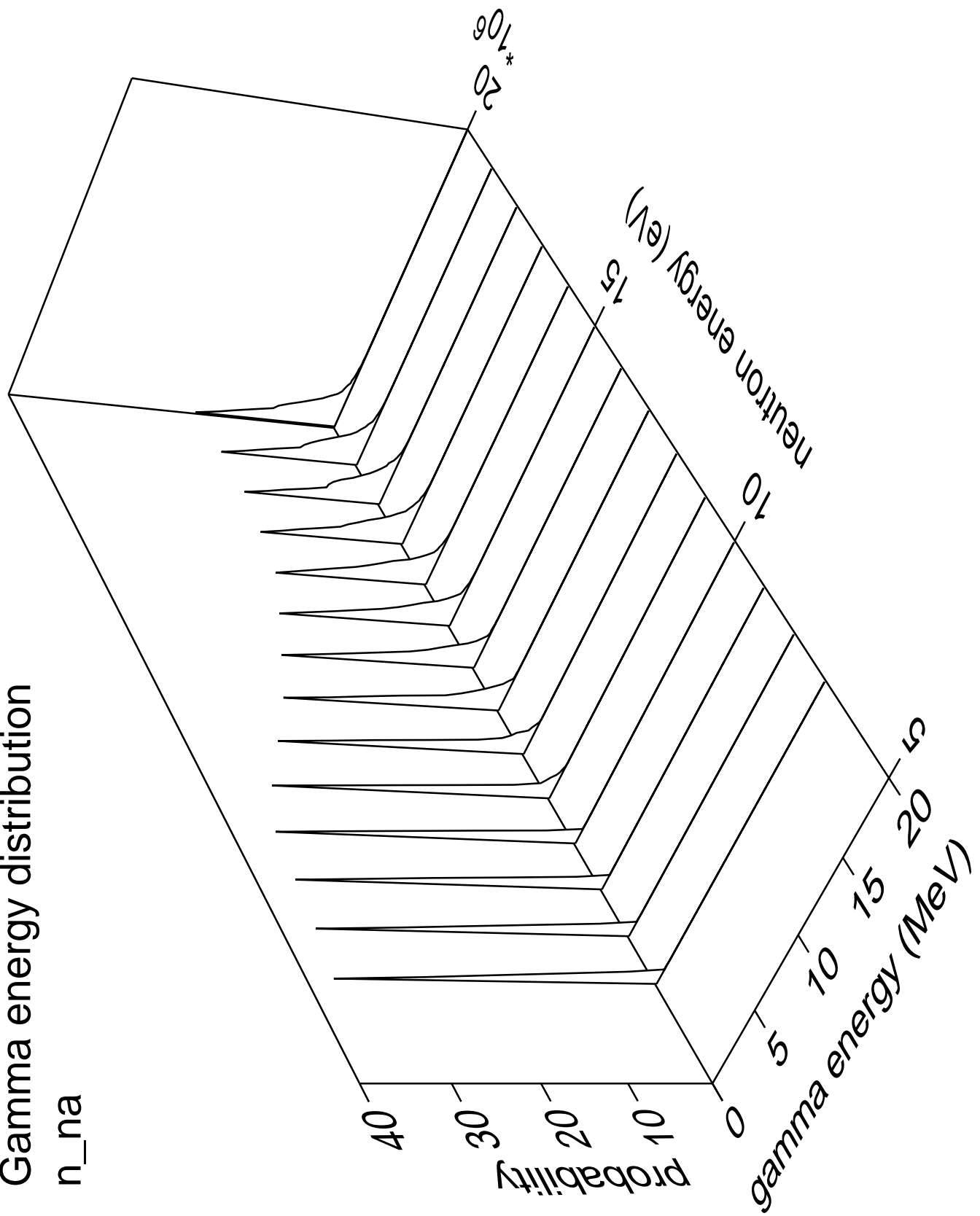
# Gamma angles distribution $n_{3n}$





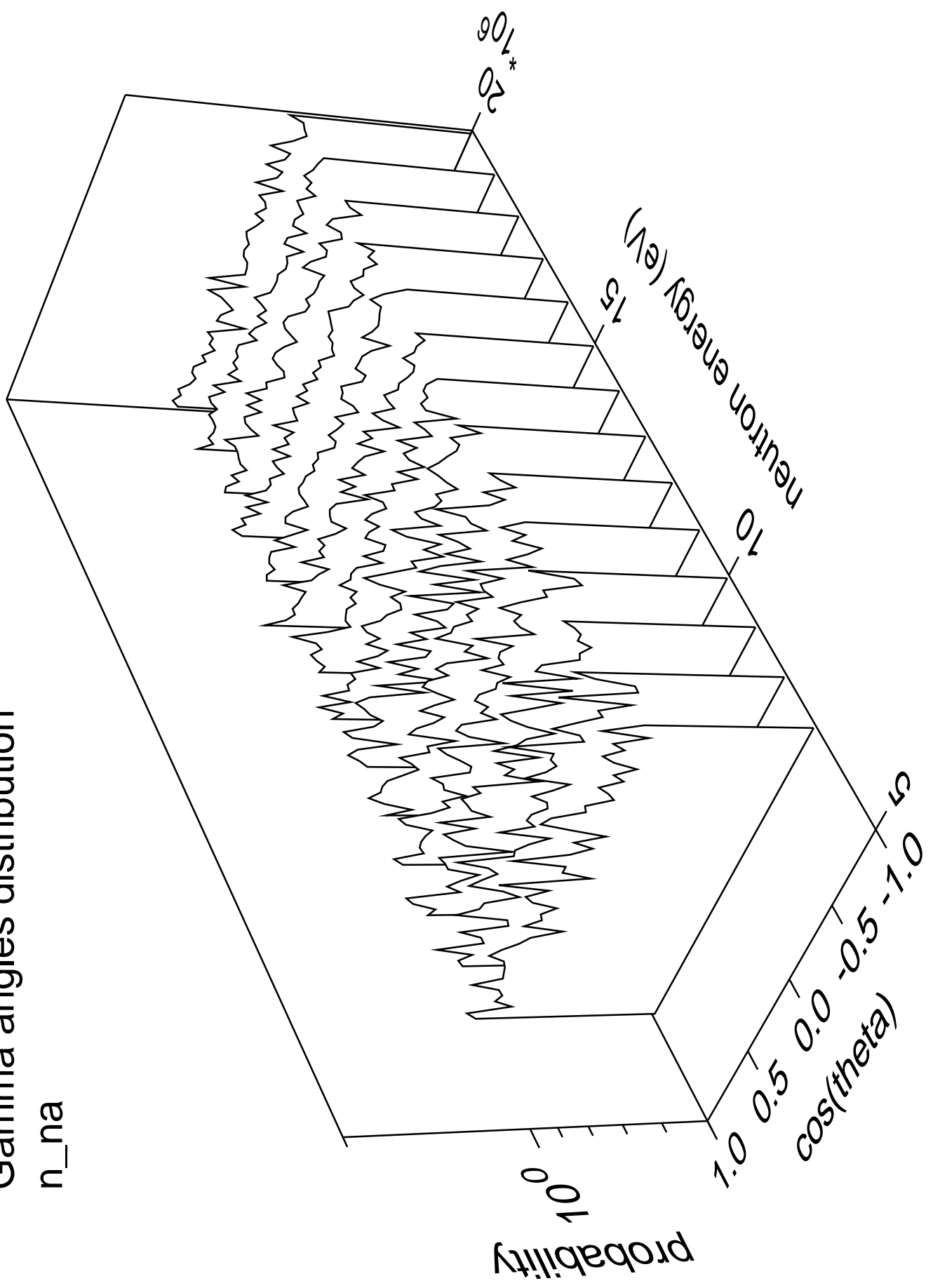
Gamma energy distribution

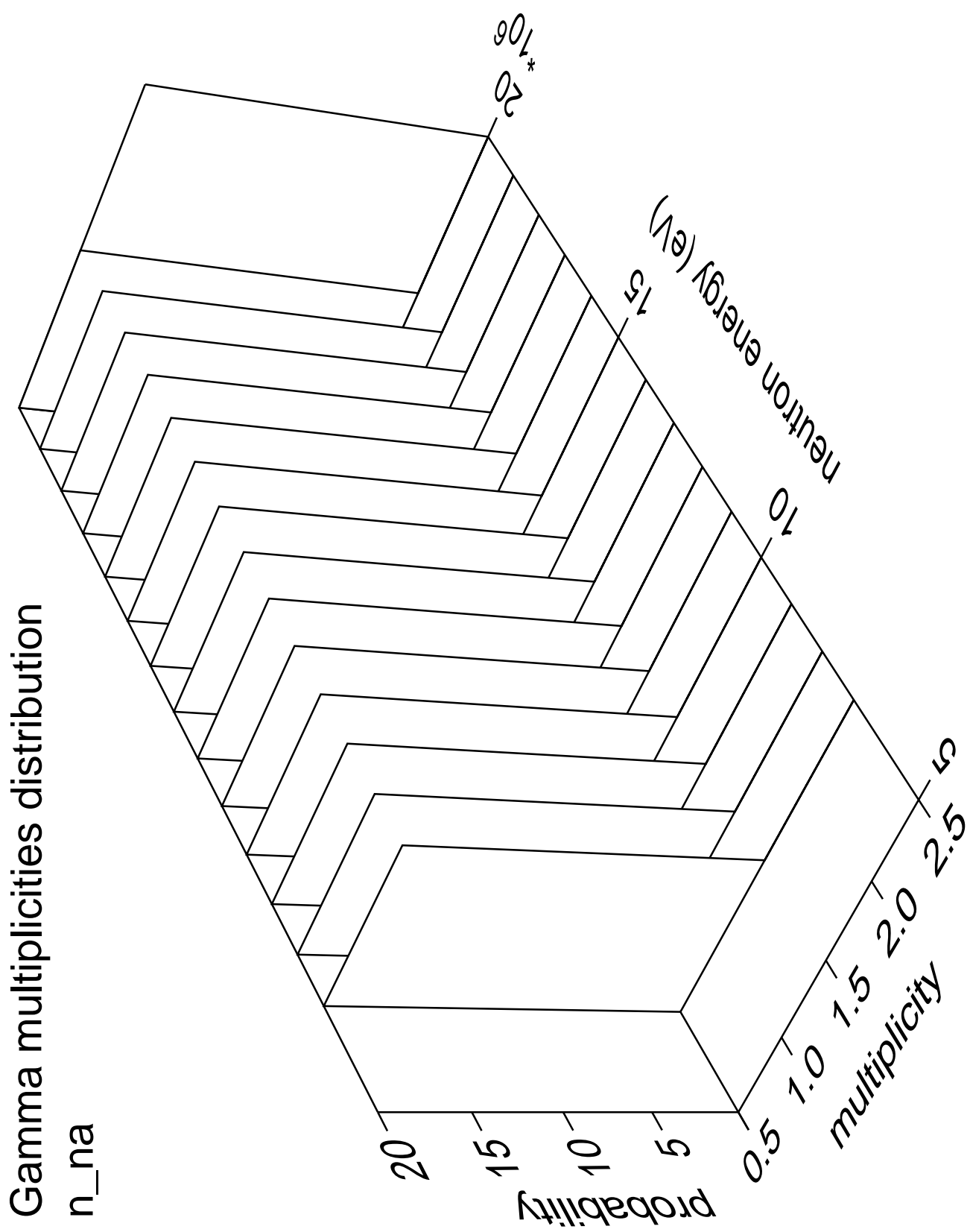
n\_na



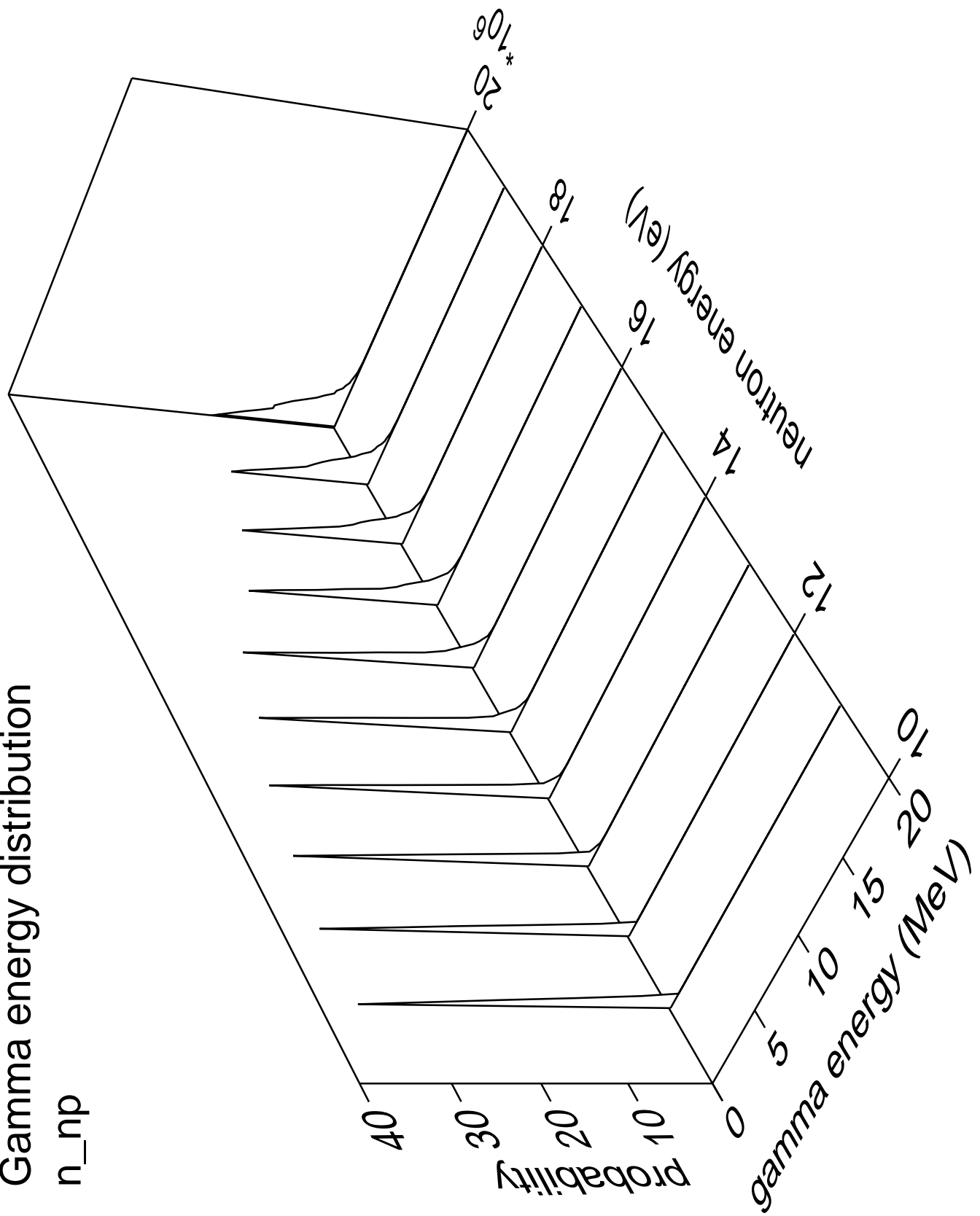
Gamma angles distribution

$n_{na}$





Gamma energy distribution  
 $n_{np}$



Gamma angles distribution

$n_{np}$

Probability

$10^0$

$10^{-1}$

$10^{-2}$

$10^{-3}$

$10^{-4}$

$10^{-5}$

$10^{-6}$

$10^{-7}$

$10^{-8}$

$10^{-9}$

$10^{-10}$

$10^{-11}$

$10^{-12}$

$10^{-13}$

$10^{-14}$

$10^{-15}$

$10^{-16}$

$10^{-17}$

$10^{-18}$

$10^{-19}$

$10^{-20}$

$10^{-21}$

$10^{-22}$

$10^{-23}$

$10^{-24}$

$10^{-25}$

$10^{-26}$

$10^{-27}$

$10^{-28}$

$10^{-29}$

$10^{-30}$

$10^{-31}$

$10^{-32}$

$10^{-33}$

$10^{-34}$

$10^{-35}$

$10^{-36}$

$10^{-37}$

$10^{-38}$

$10^{-39}$

$10^{-40}$

$10^{-41}$

$10^{-42}$

$10^{-43}$

$10^{-44}$

$10^{-45}$

$10^{-46}$

$10^{-47}$

$10^{-48}$

$10^{-49}$

$10^{-50}$

$10^{-51}$

$10^{-52}$

$10^{-53}$

$10^{-54}$

$10^{-55}$

$10^{-56}$

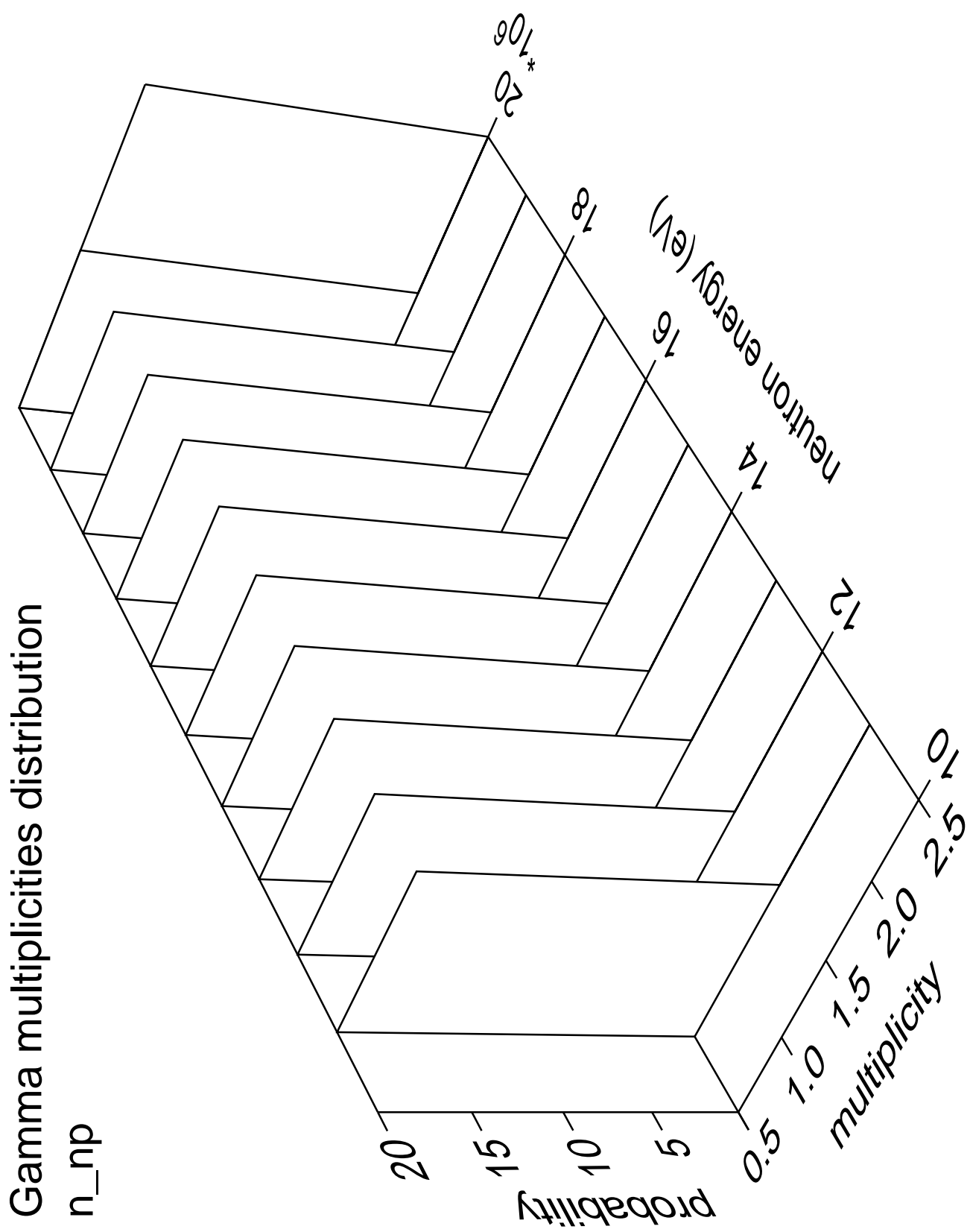
$10^{-57}$

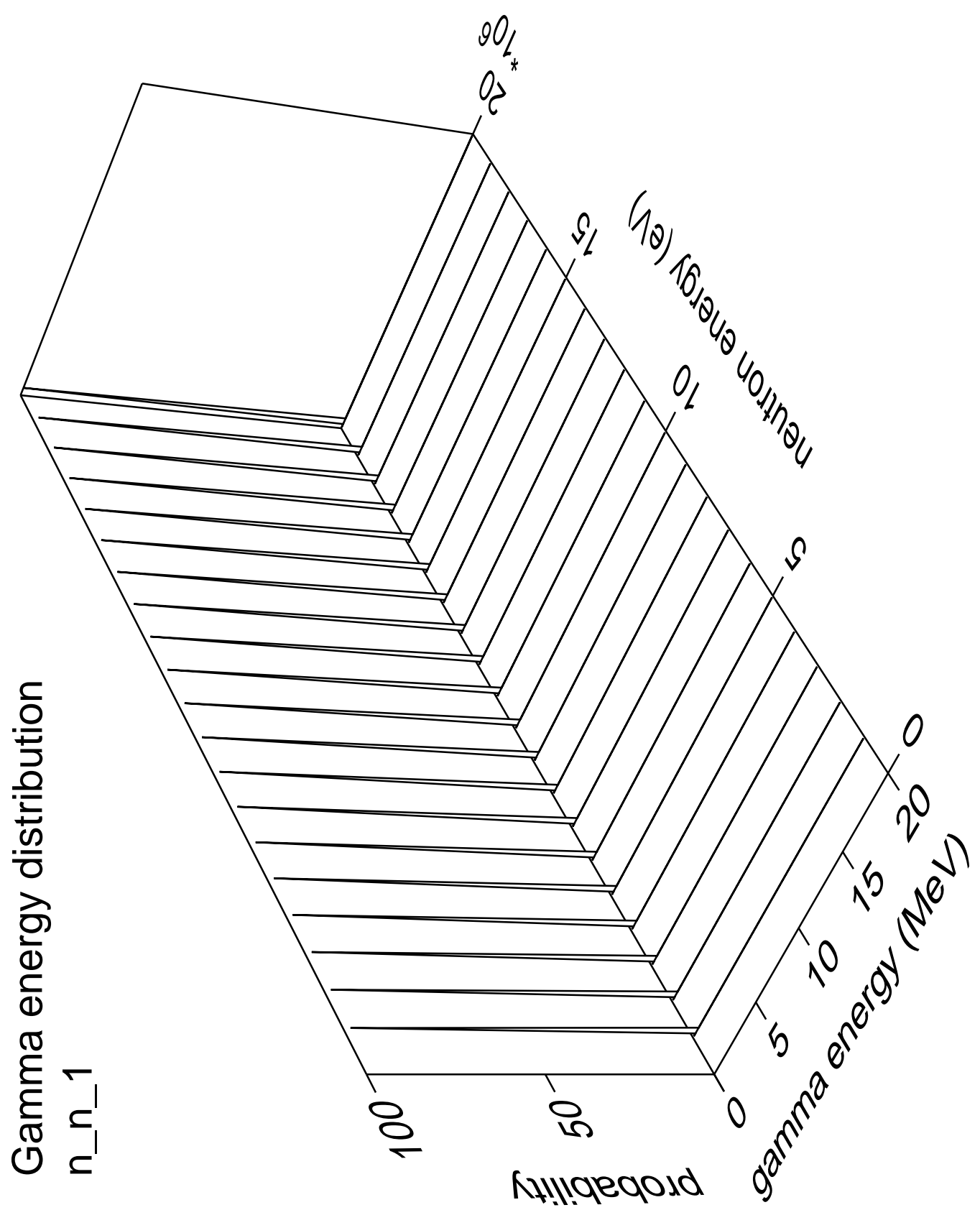
neutron energy (eV)

2  
4  
6  
8  
10  
12  
14  
16  
18  
20  
22  
24  
26  
28  
30  
32  
34  
36  
38  
40  
42  
44  
46  
48  
50  
52  
54  
56  
58  
60  
62  
64  
66  
68  
70  
72  
74  
76  
78  
80  
82  
84  
86  
88  
90  
92  
94  
96  
98  
100

cos(theta)

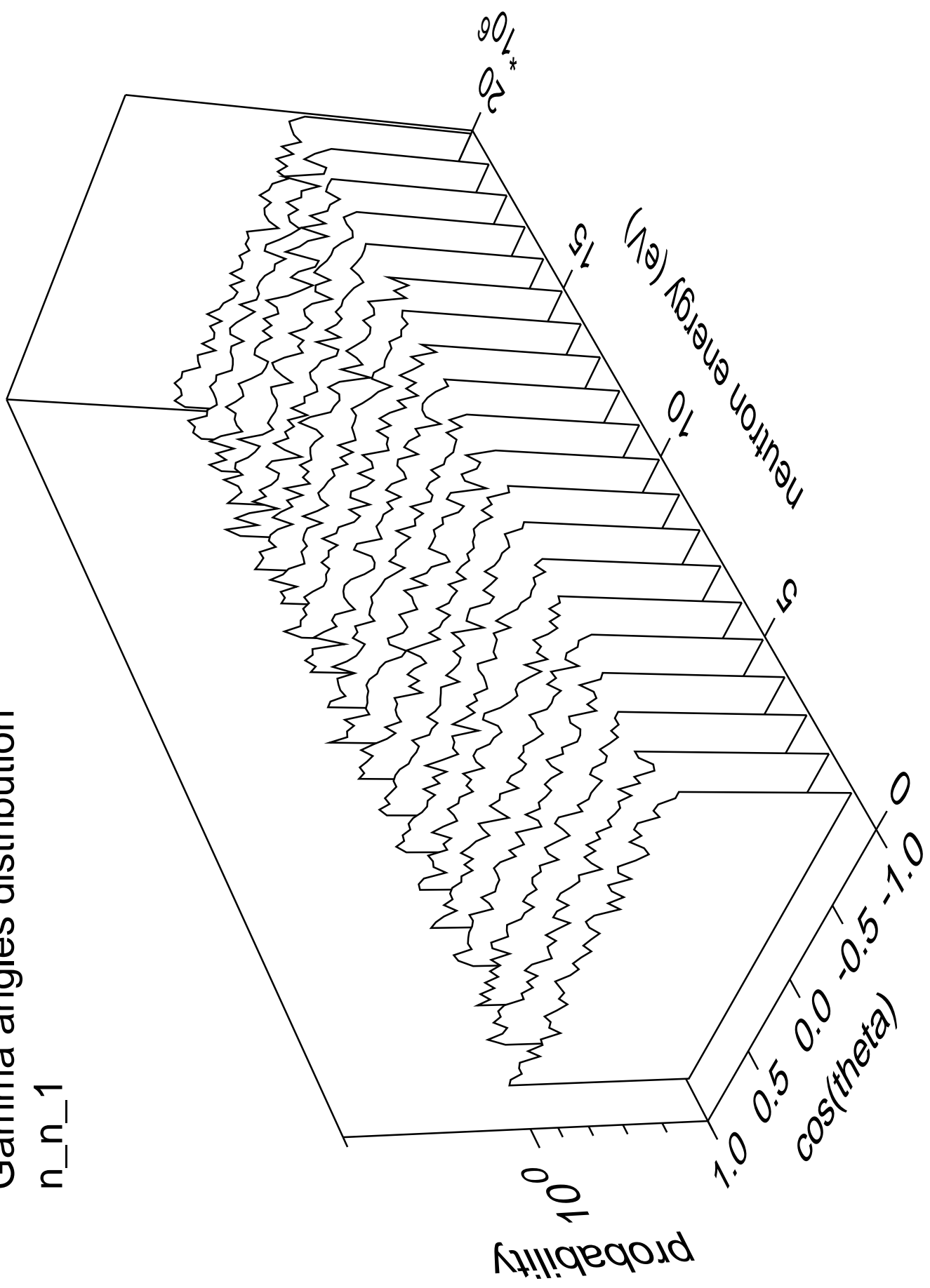
1.0  
0.5  
0.0  
-0.5  
-1.0



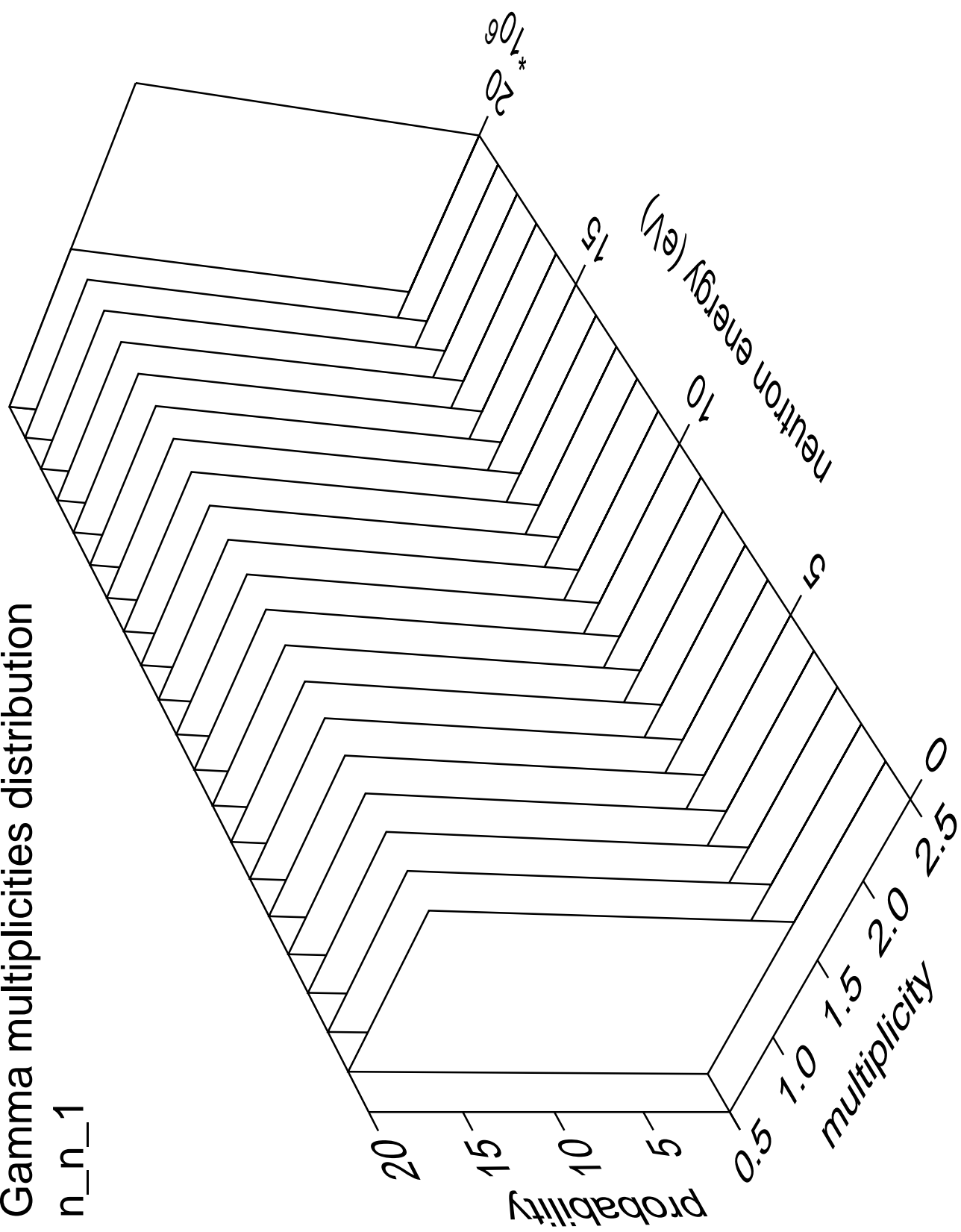


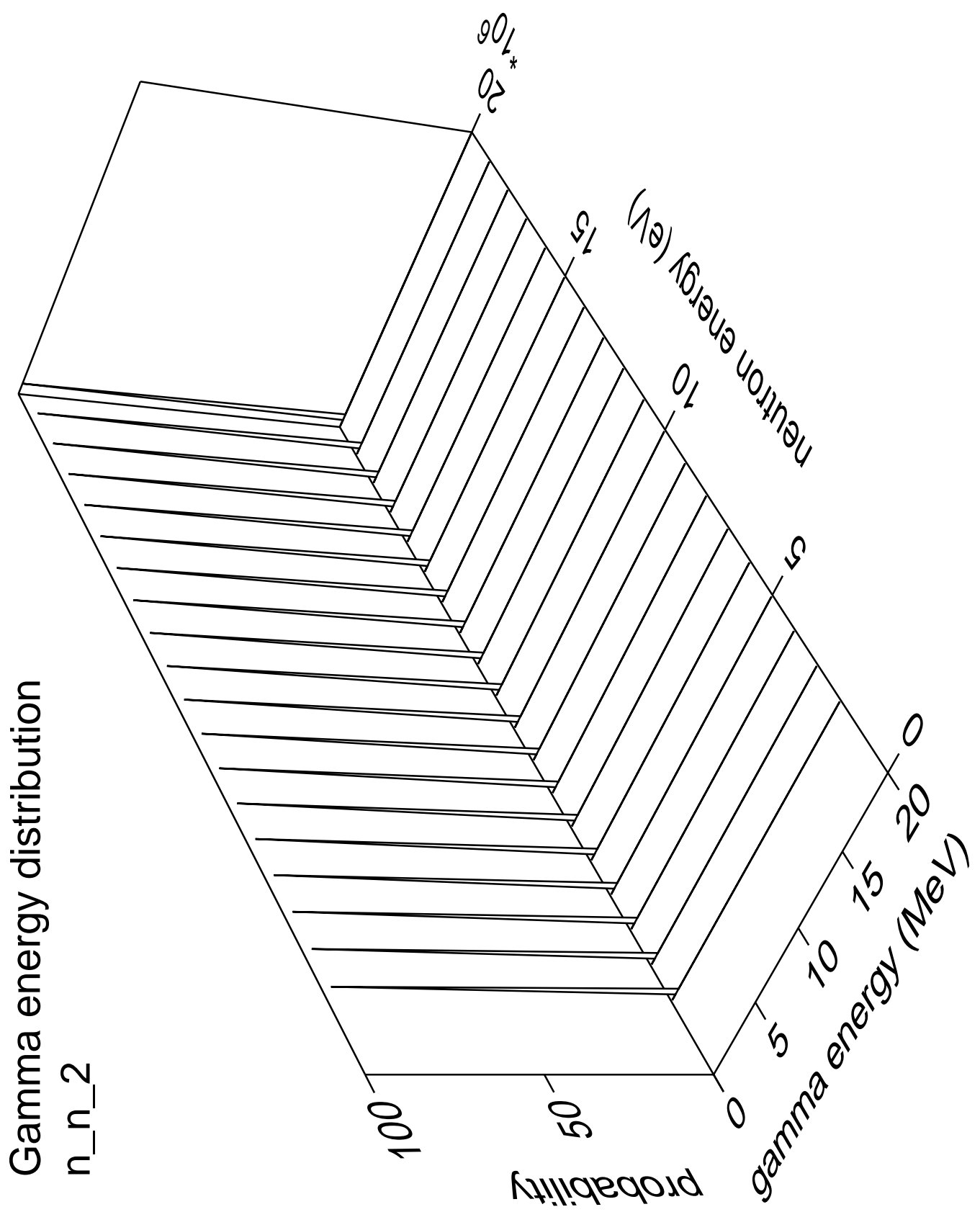
Gamma angles distribution

$n_{n_1}$



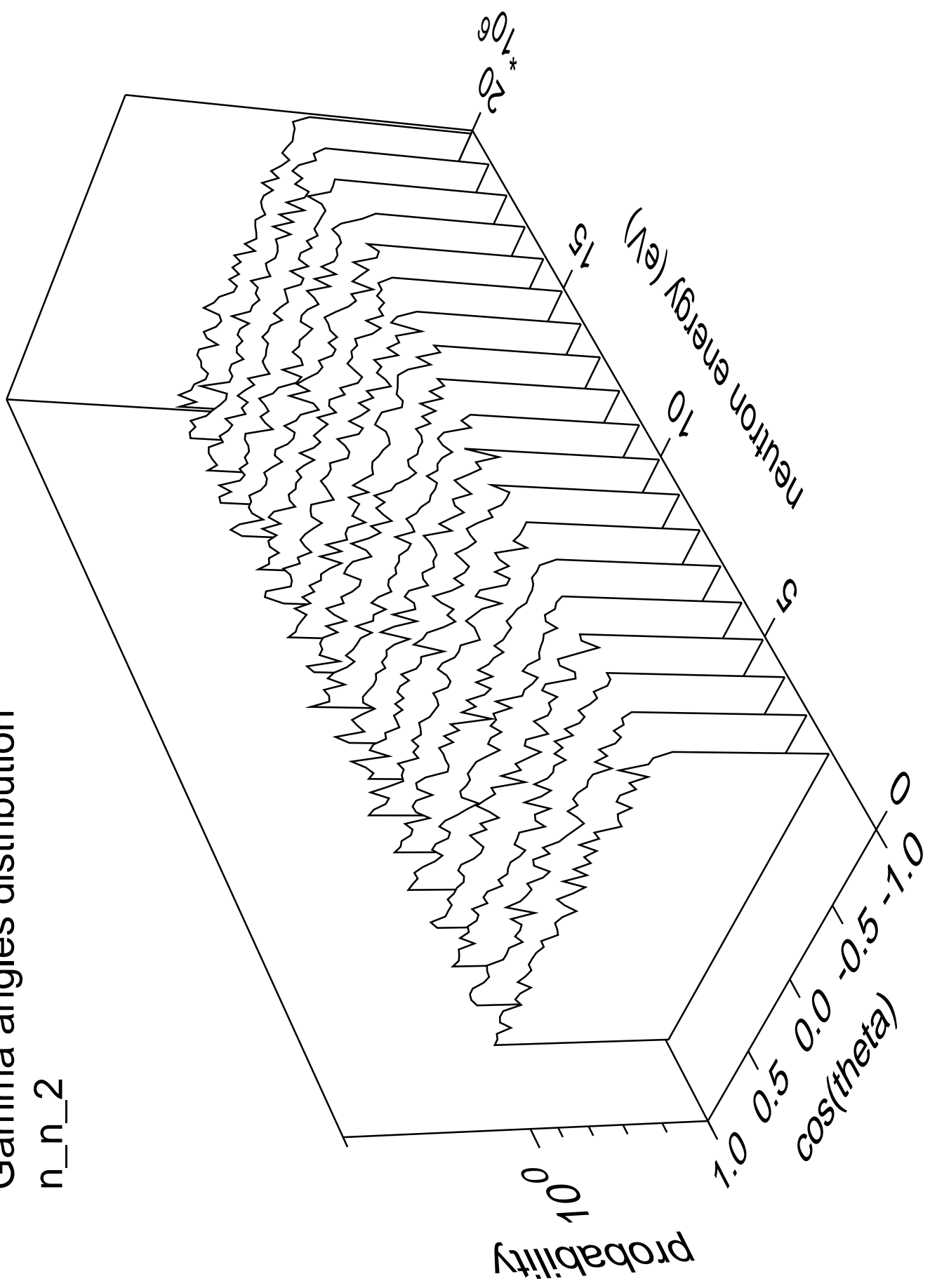
Gamma multiplicities distribution

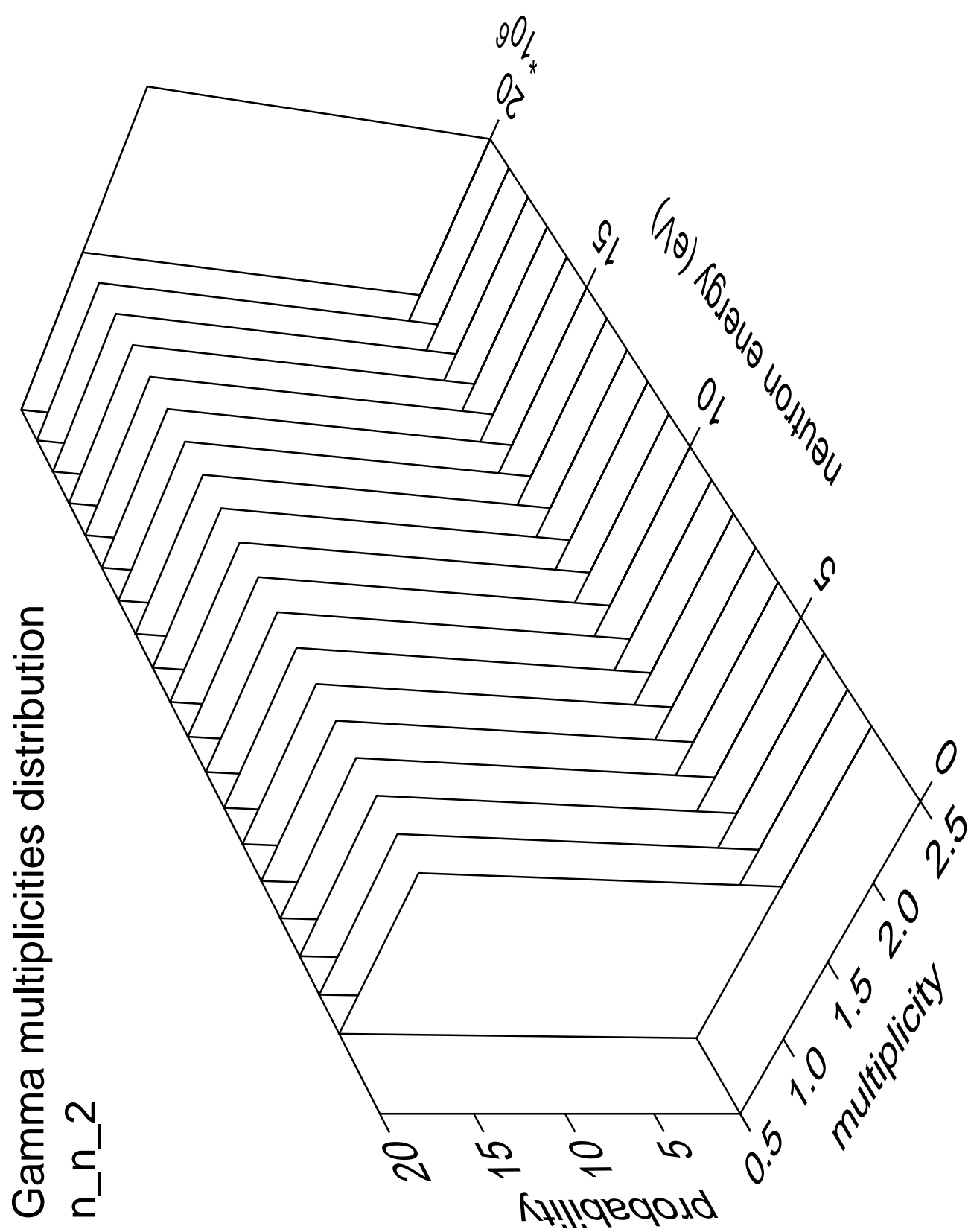




Gamma angles distribution

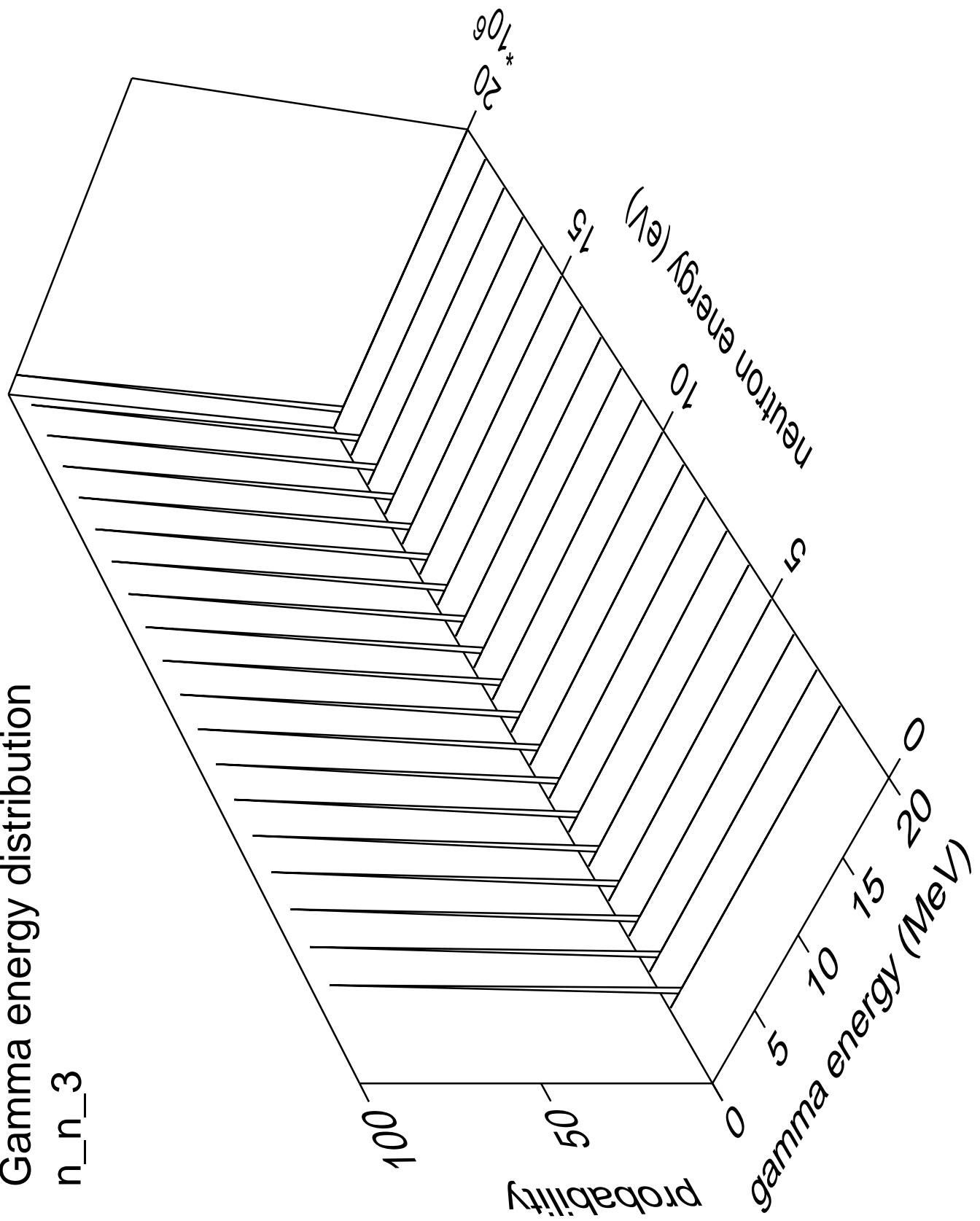
n\_n\_2





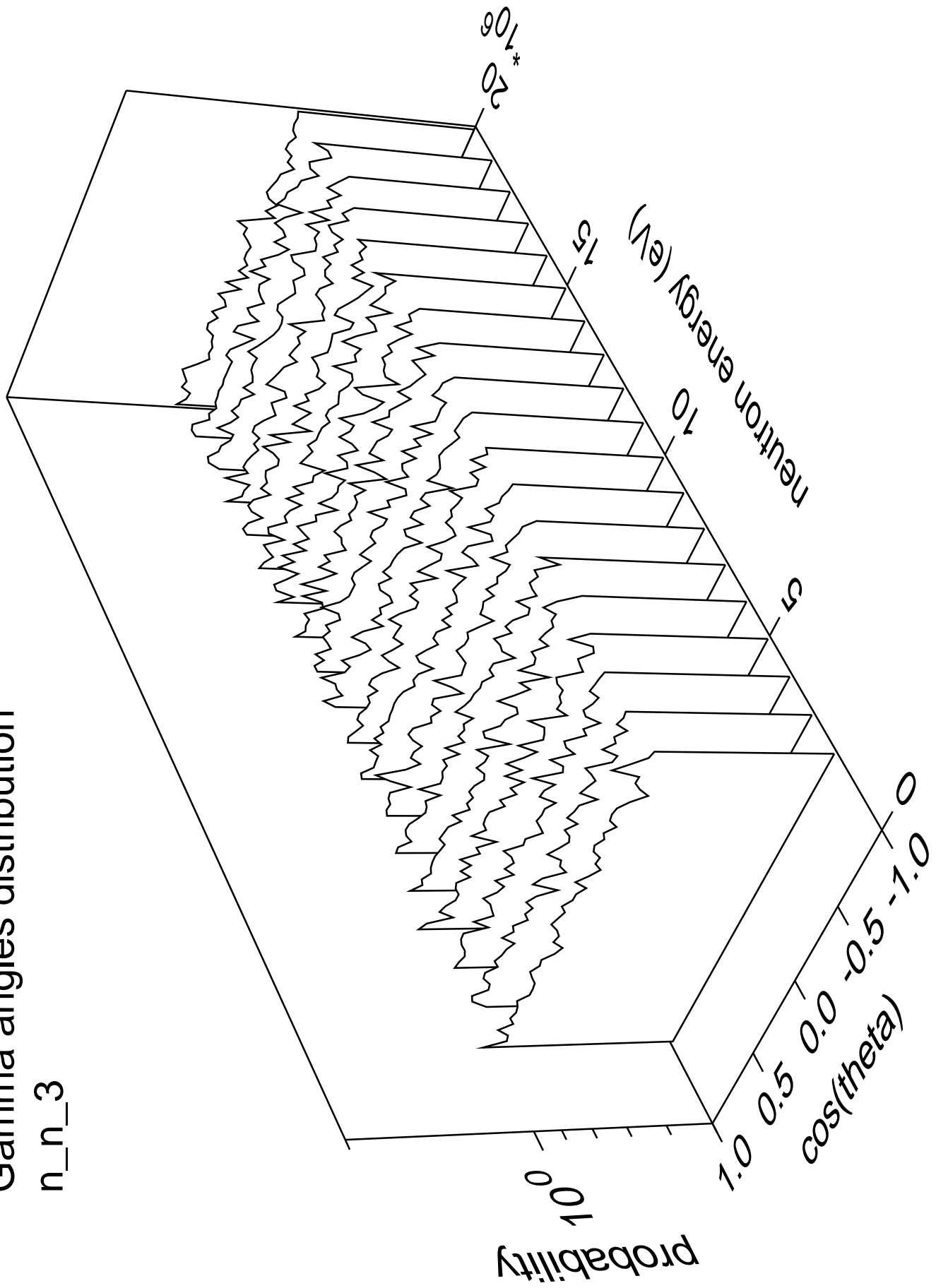
Gamma energy distribution

n\_n\_3

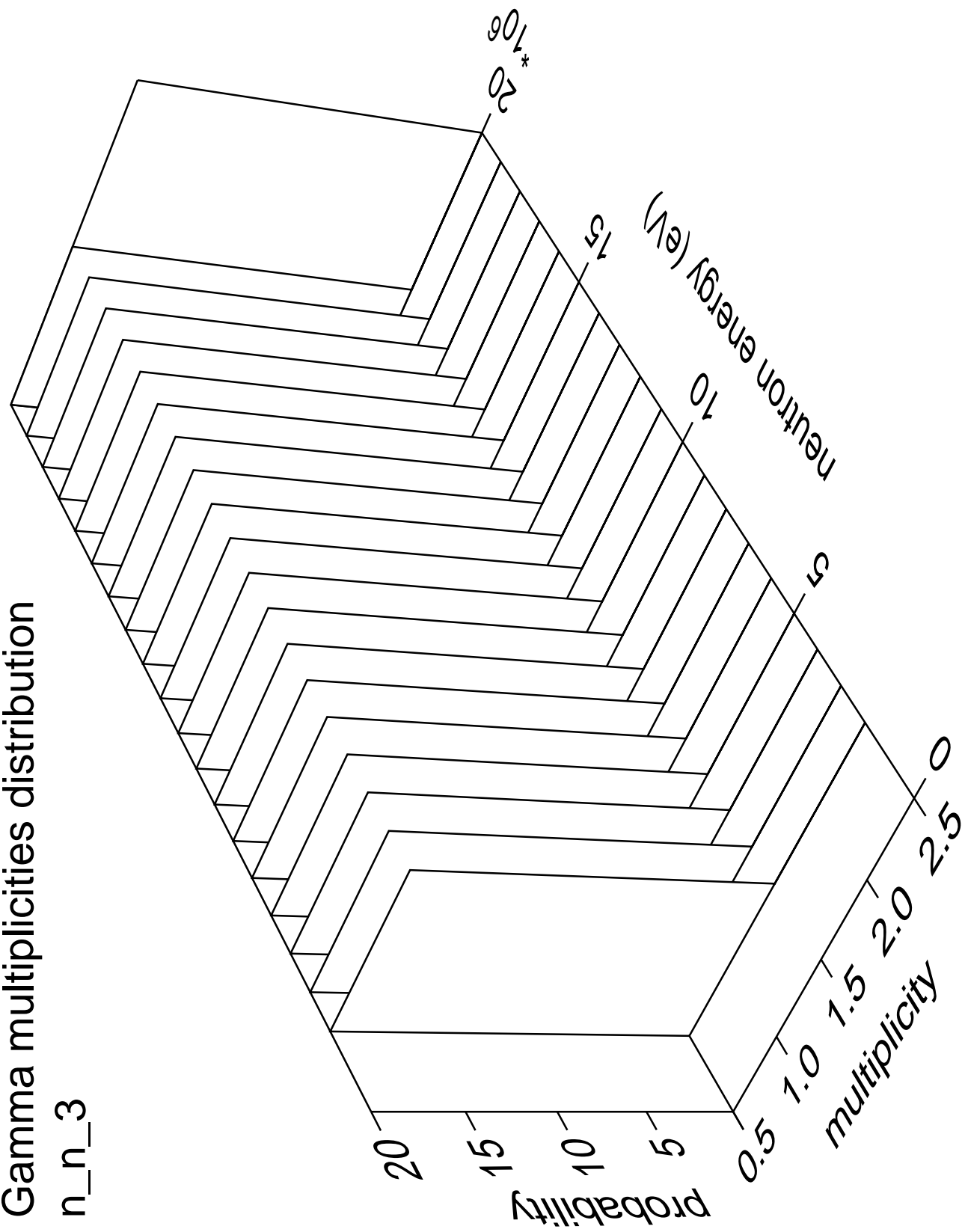


# Gamma angles distribution

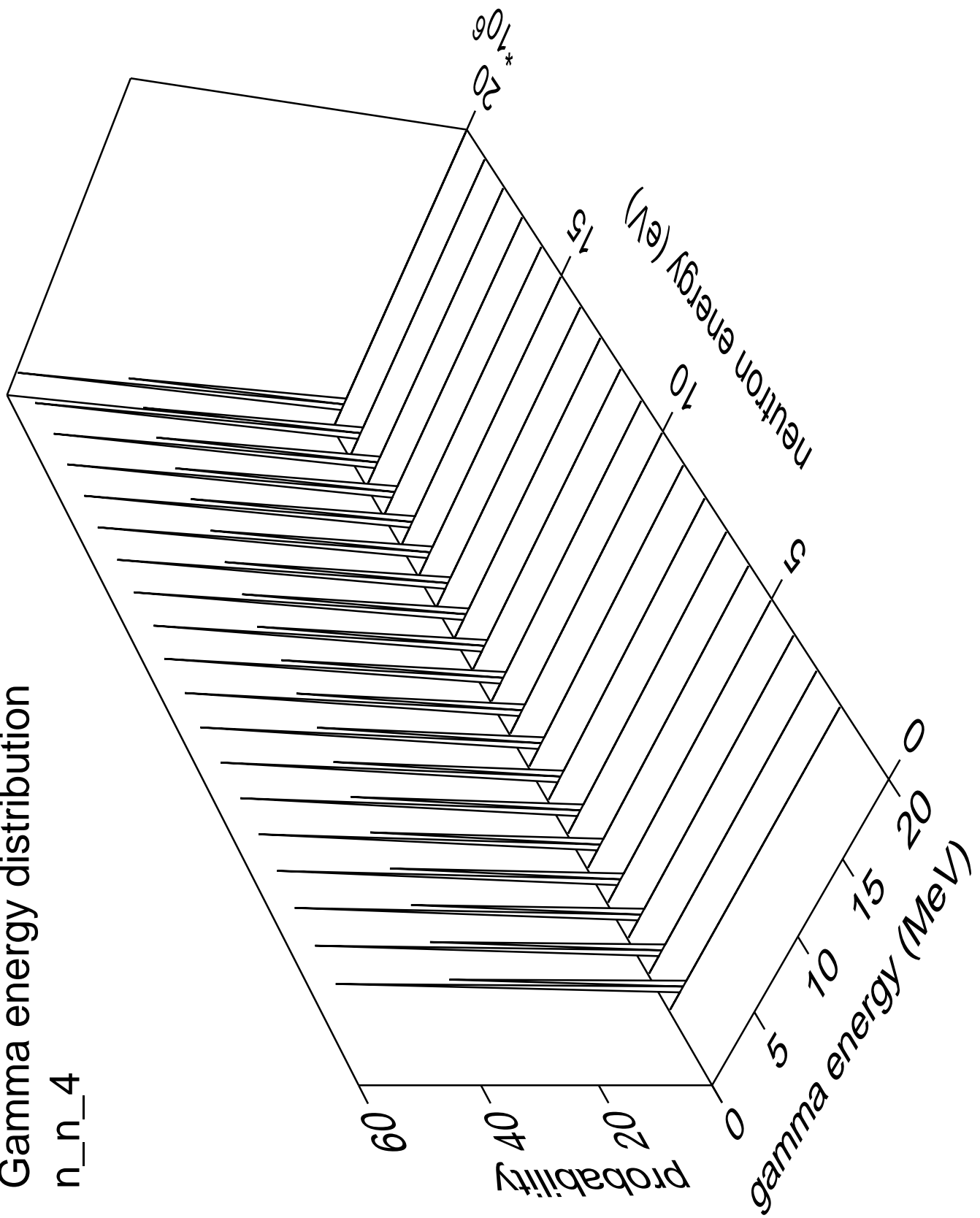
n\_n\_3



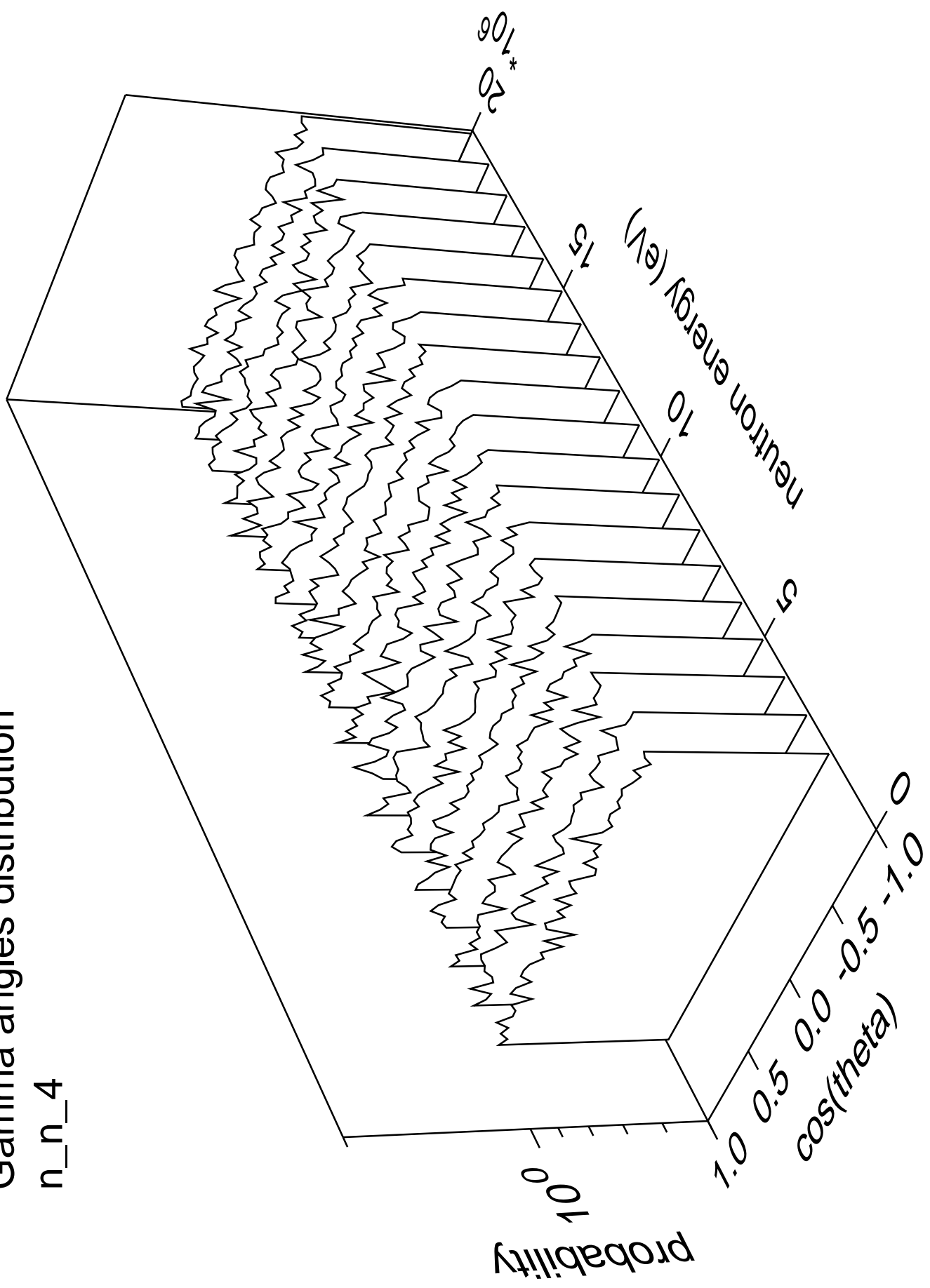
### Gamma multiplicities distribution



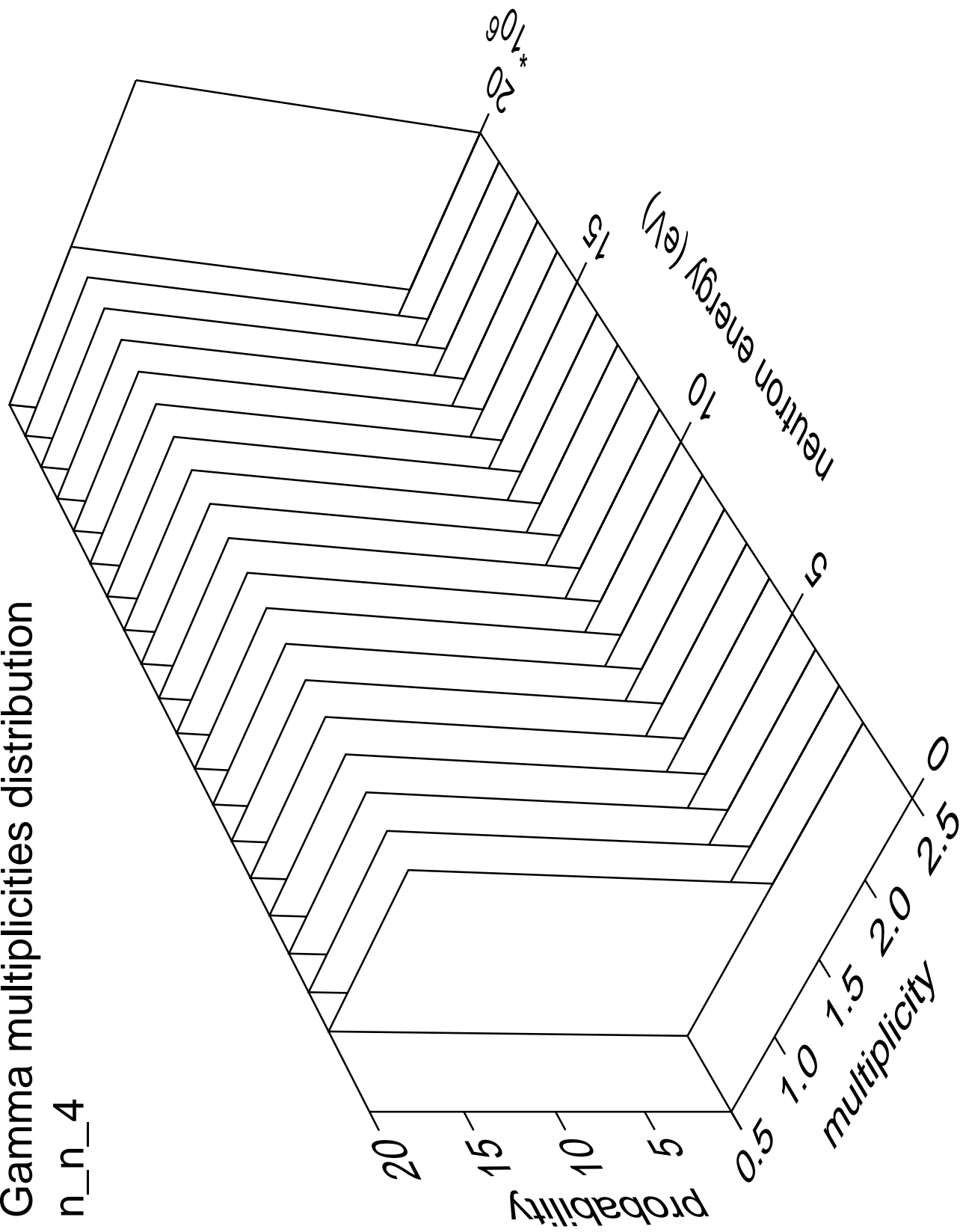
# Gamma energy distribution n\_n\_4

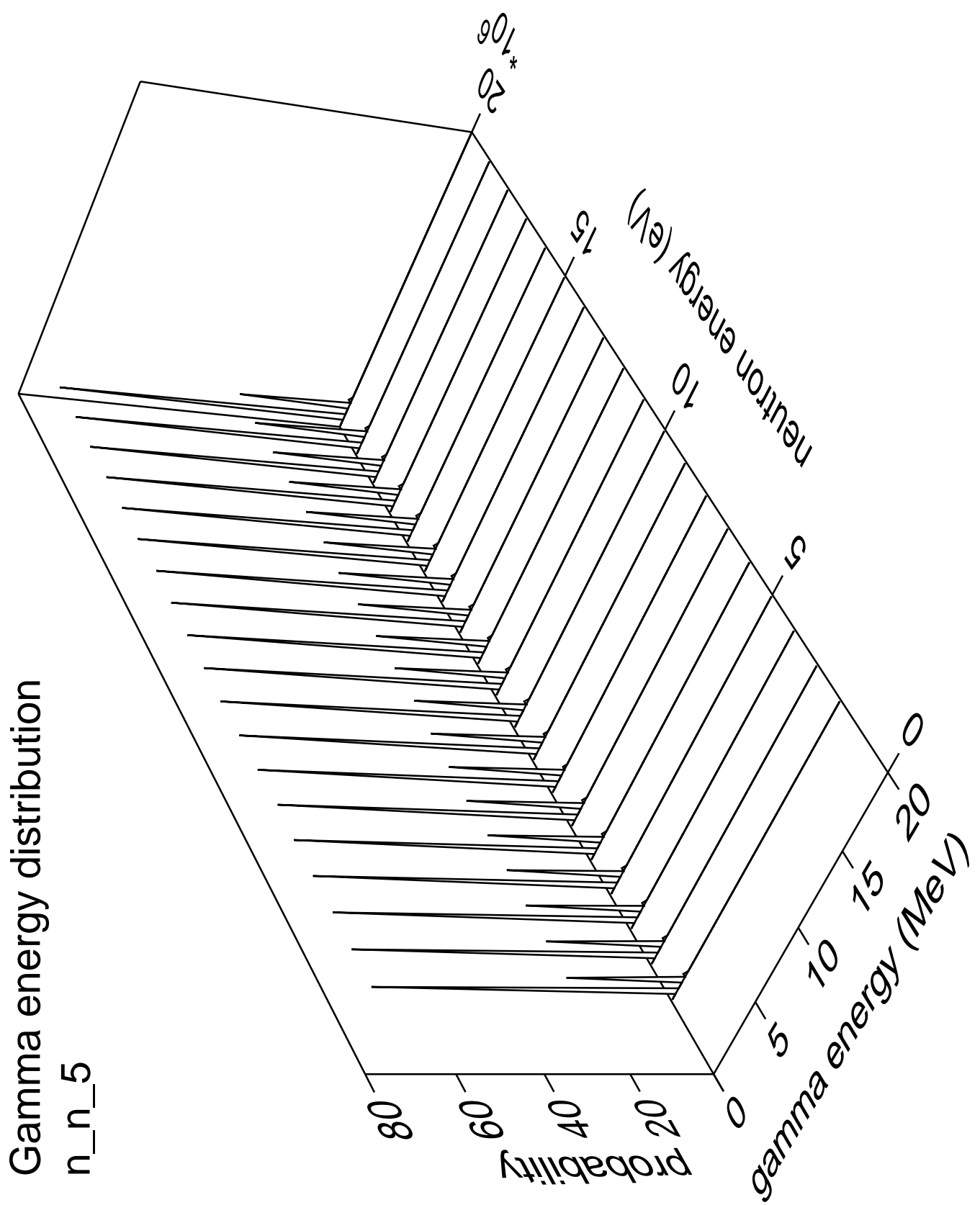


## Gamma angles distribution



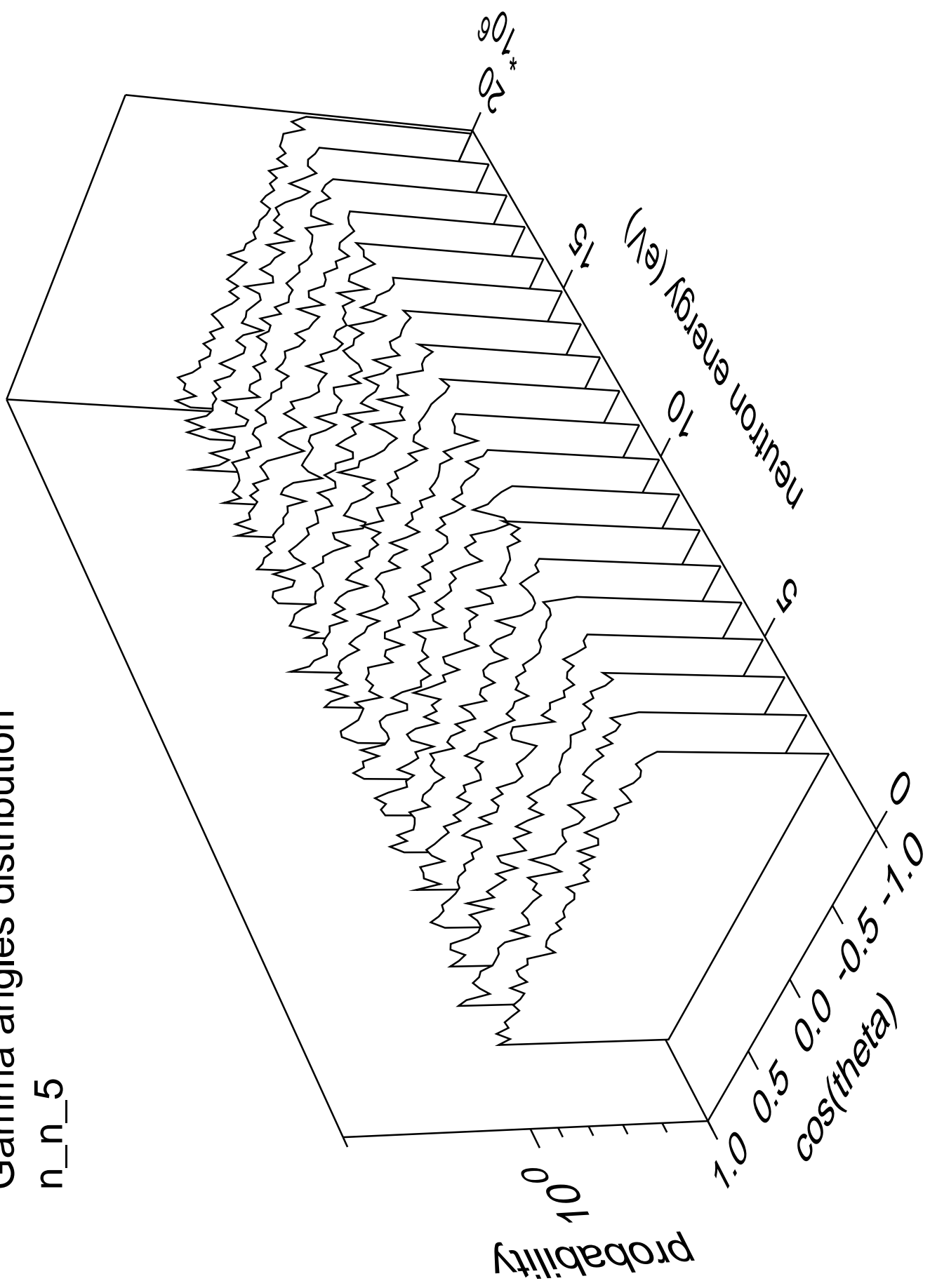
# Gamma multiplicities distribution



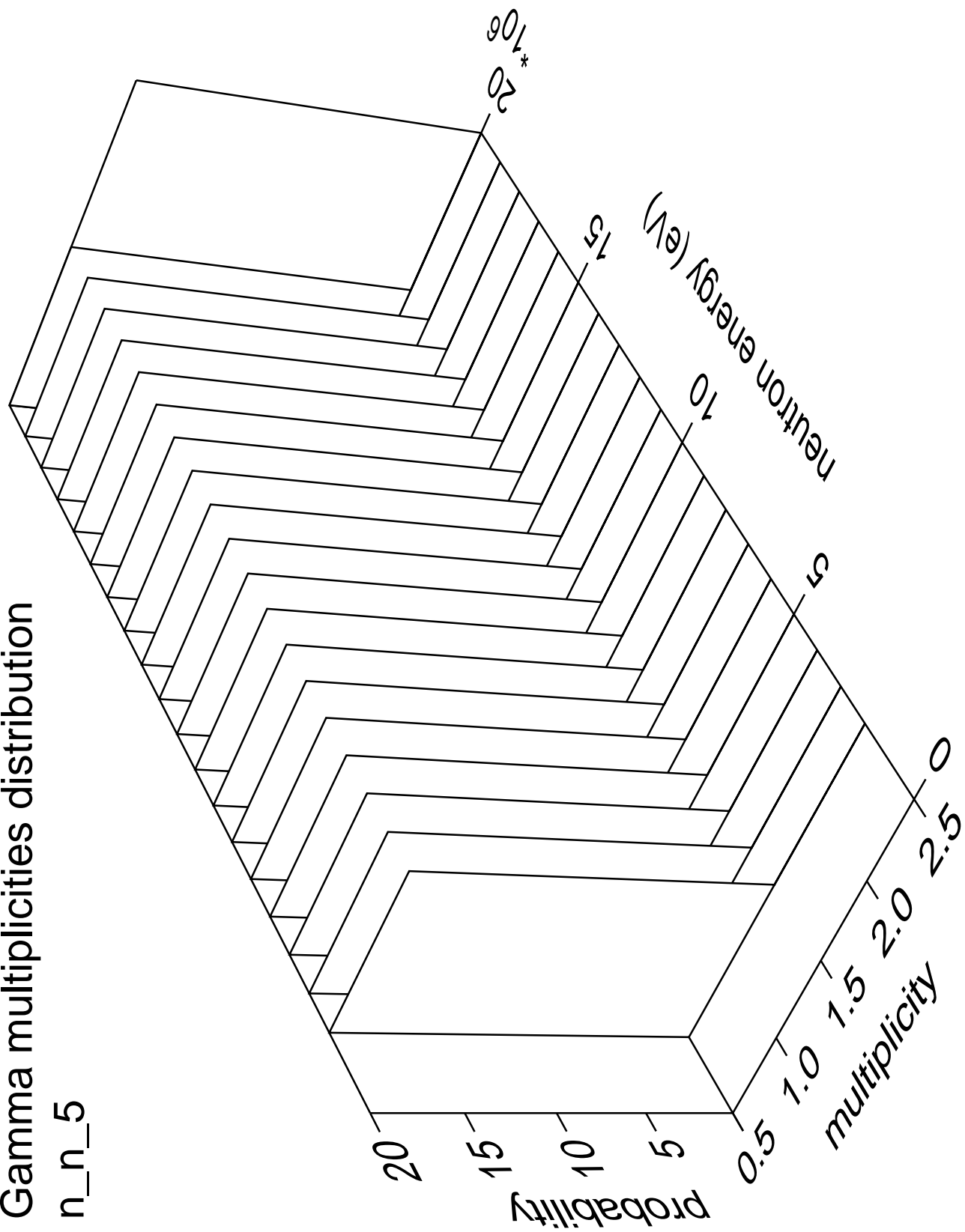


Gamma angles distribution

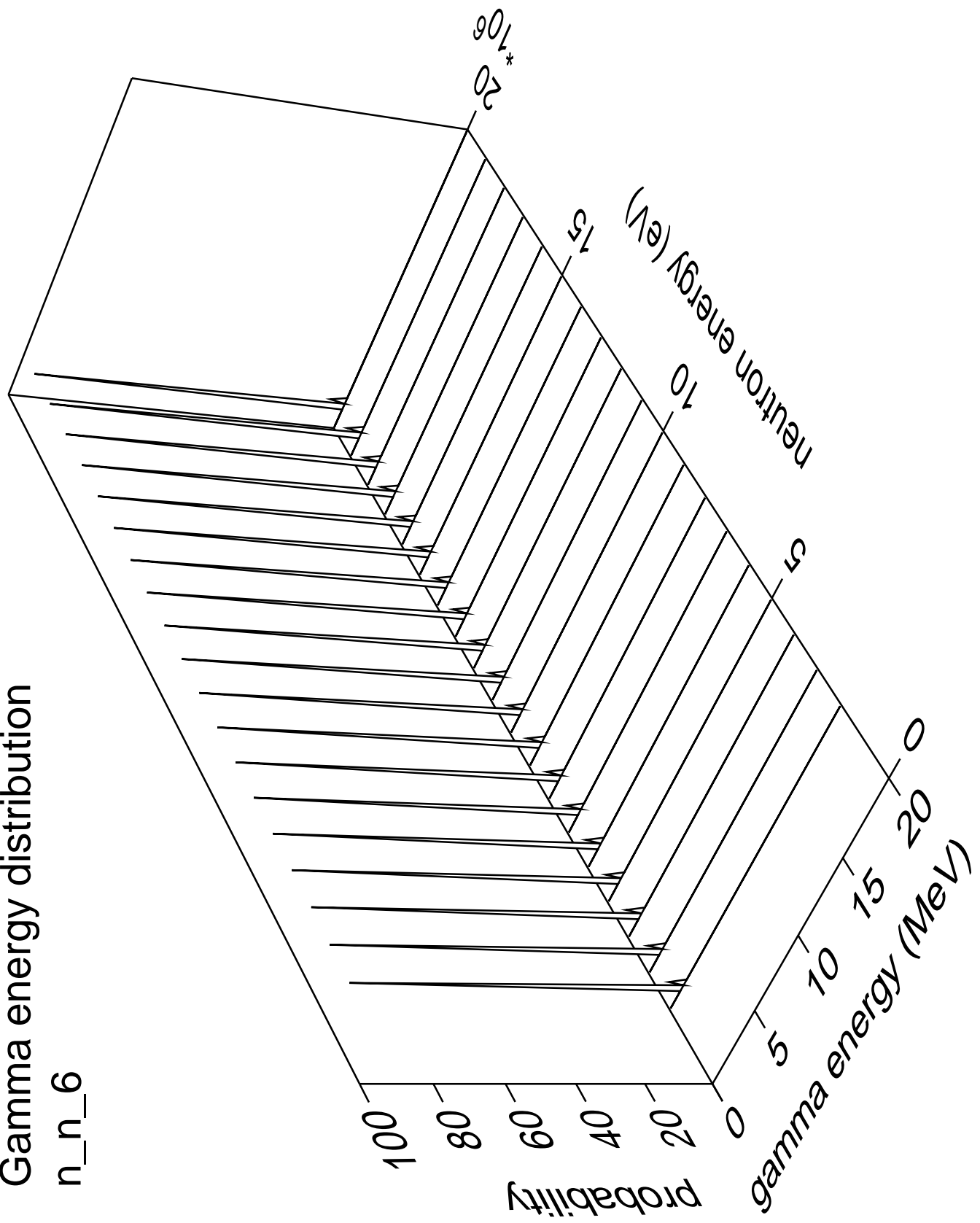
n\_n\_5



# Gamma multiplicities distribution

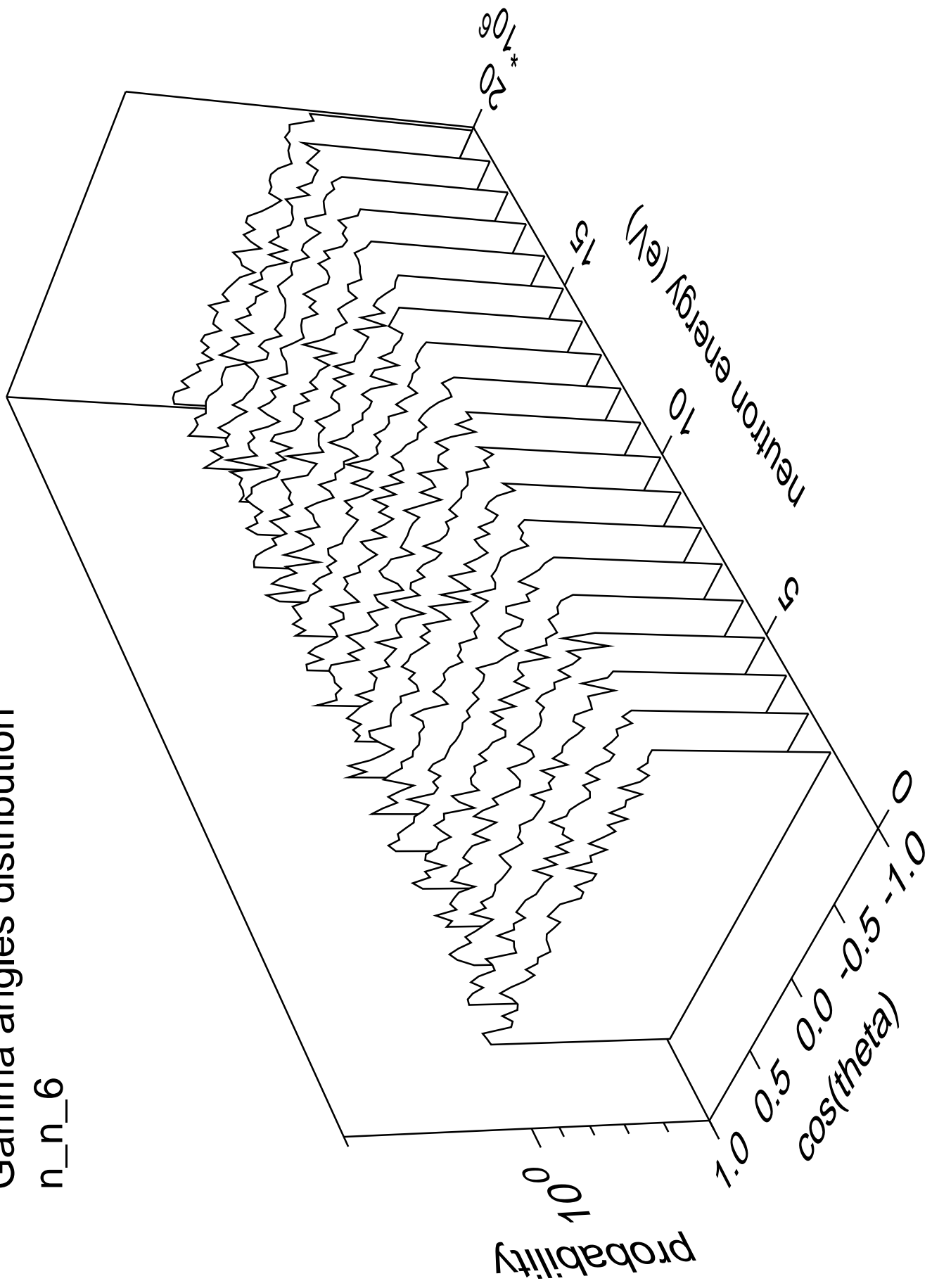


## Gamma energy distribution

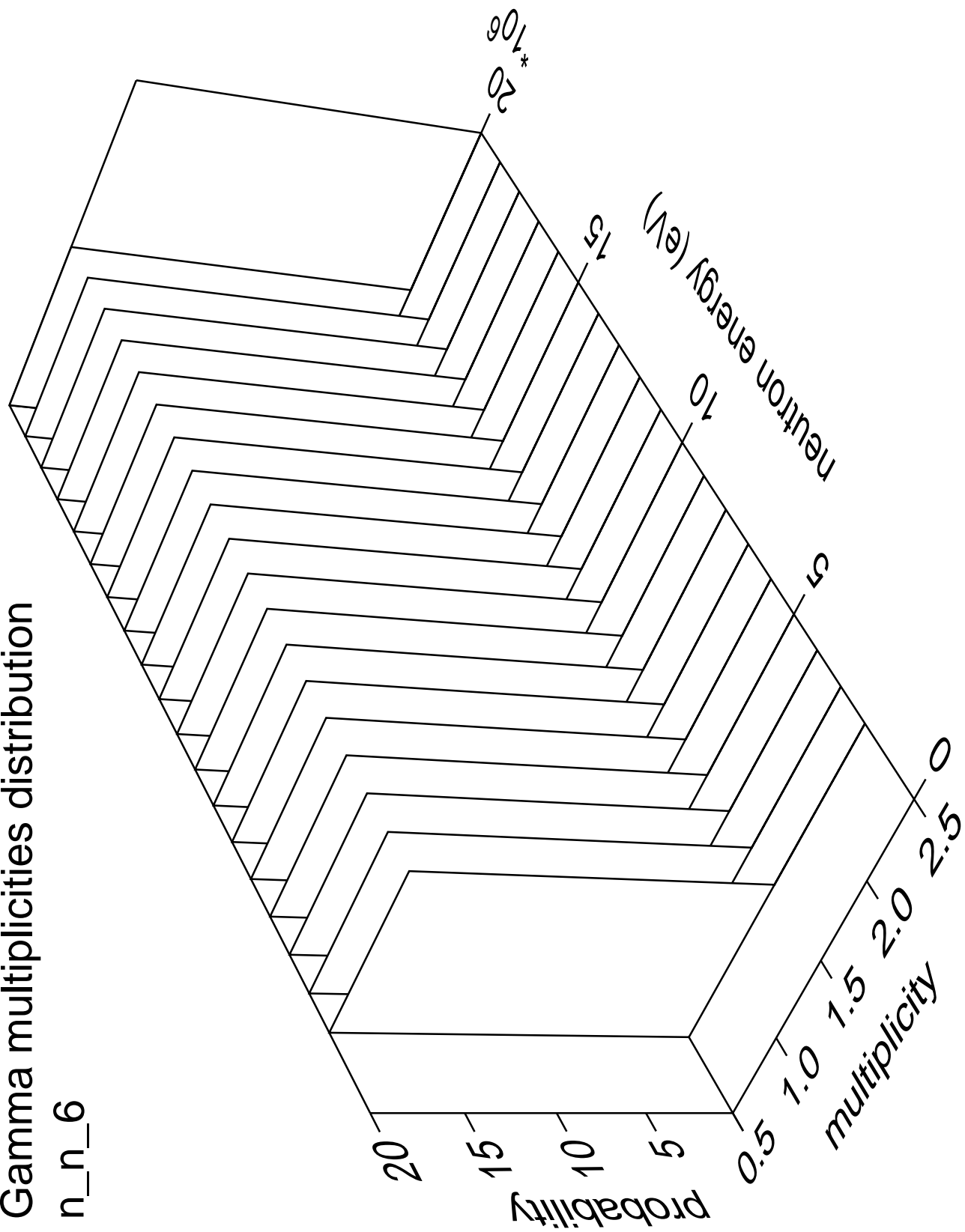


Gamma angles distribution

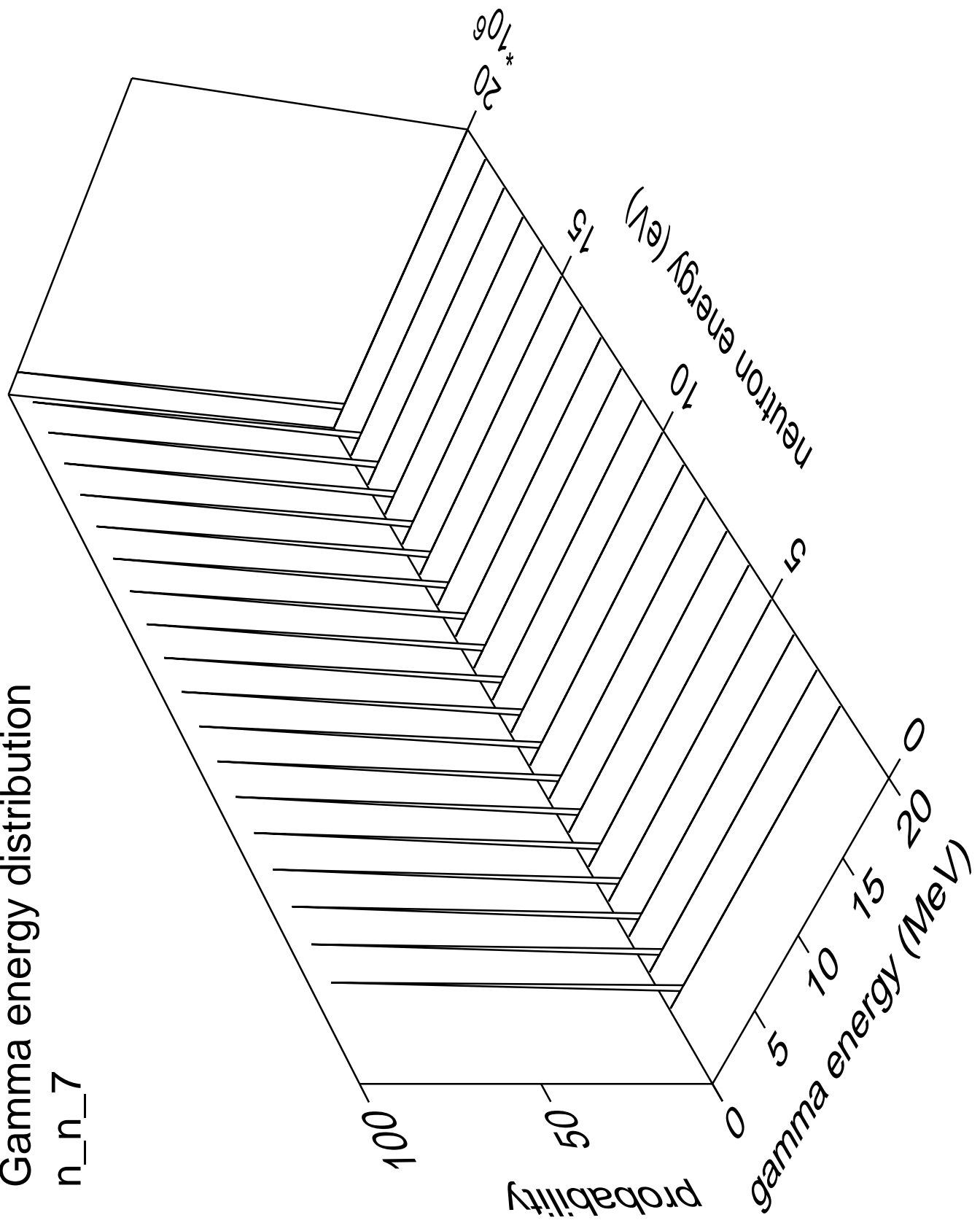
n\_n\_6



# Gamma multiplicities distribution

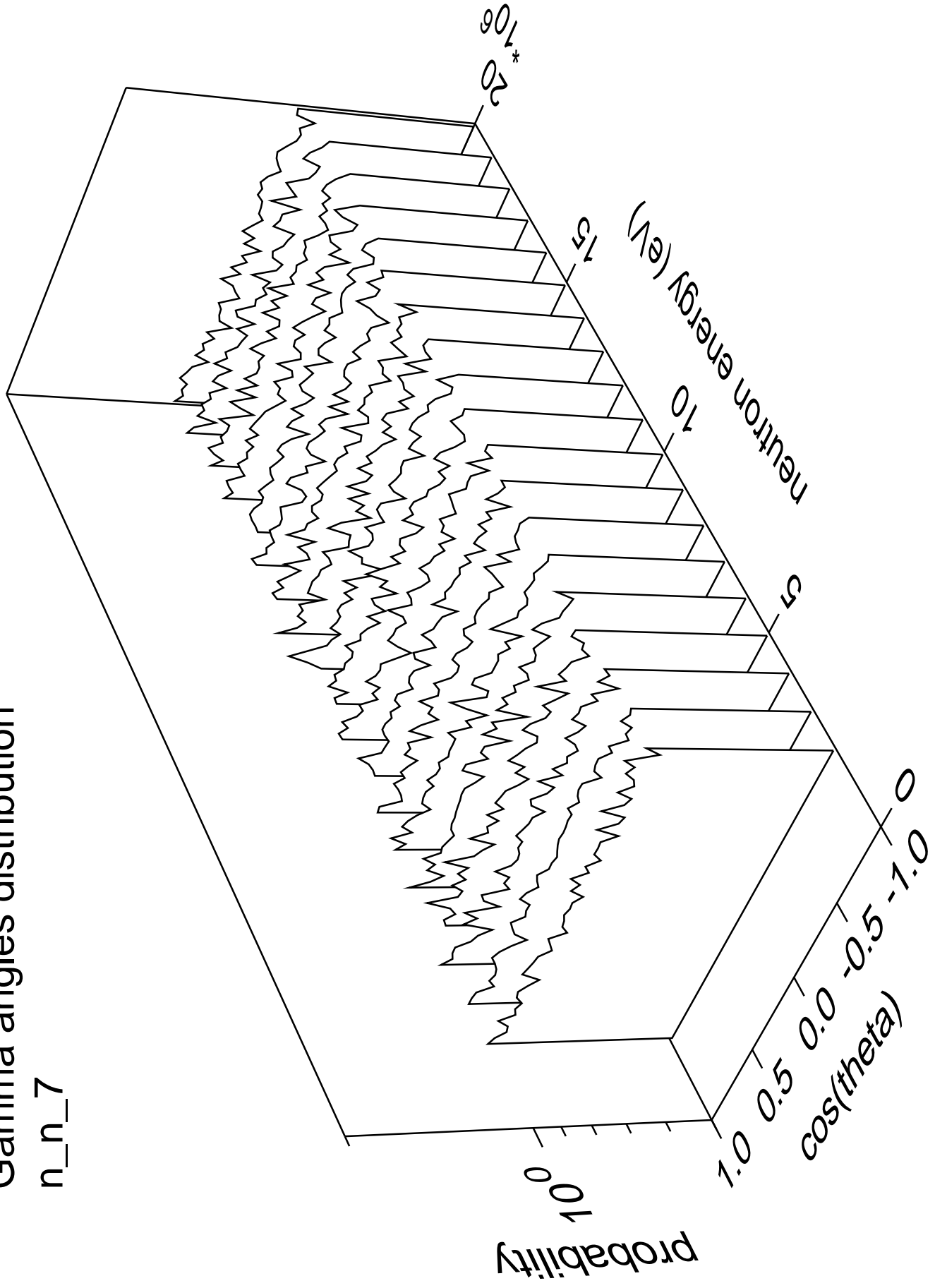


# Gamma energy distribution

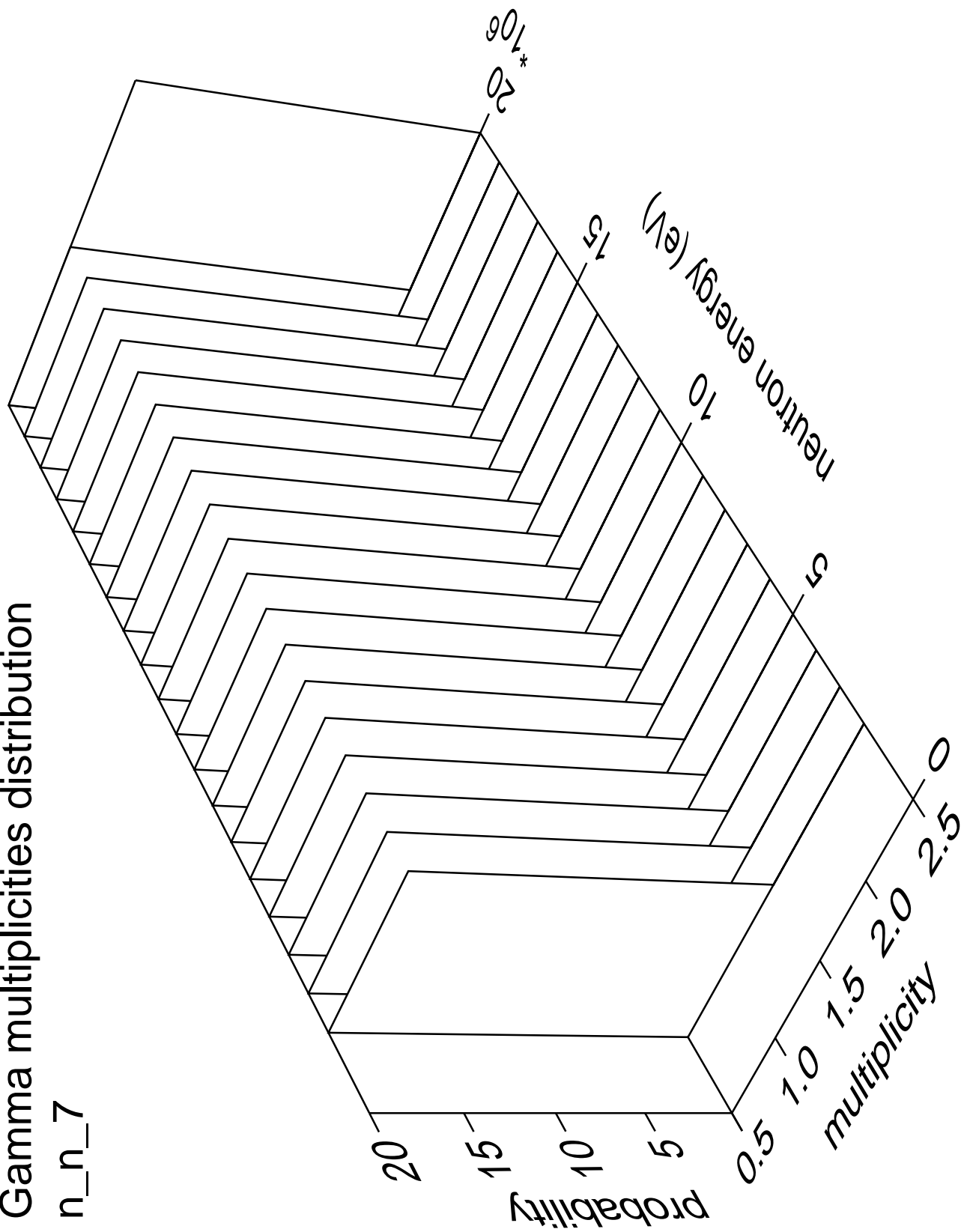


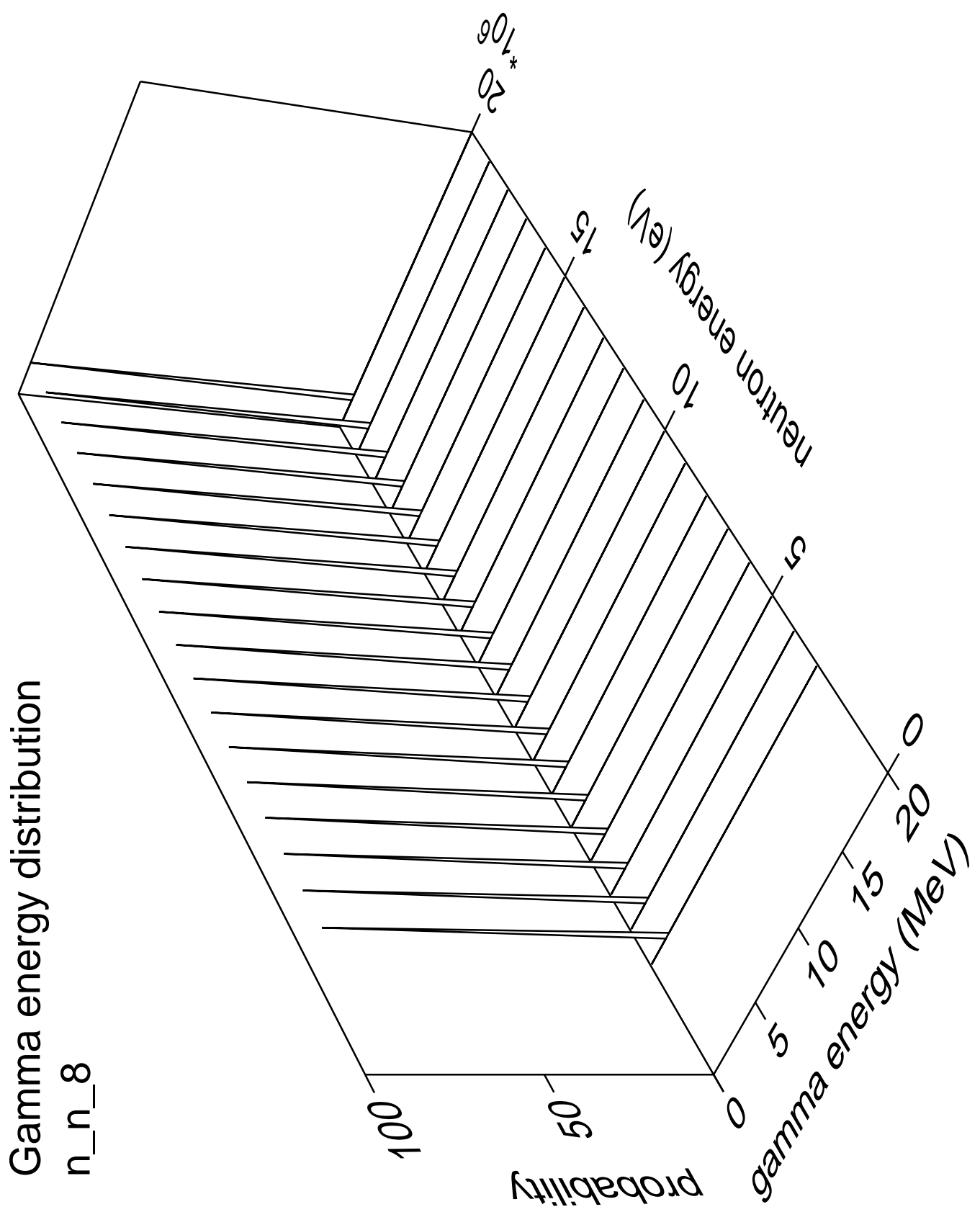
Gamma angles distribution

n\_n\_7



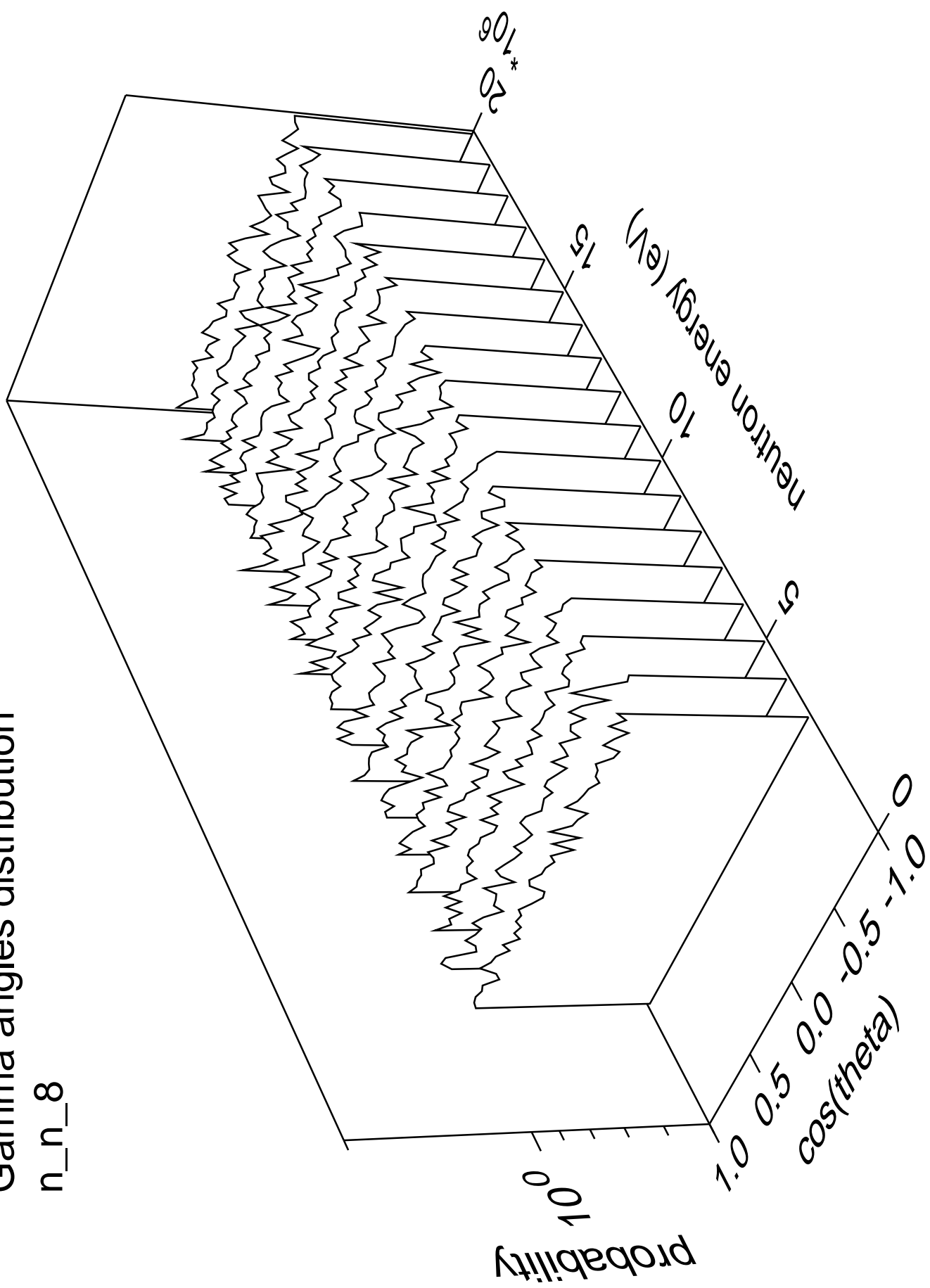
## Gamma multiplicities distribution

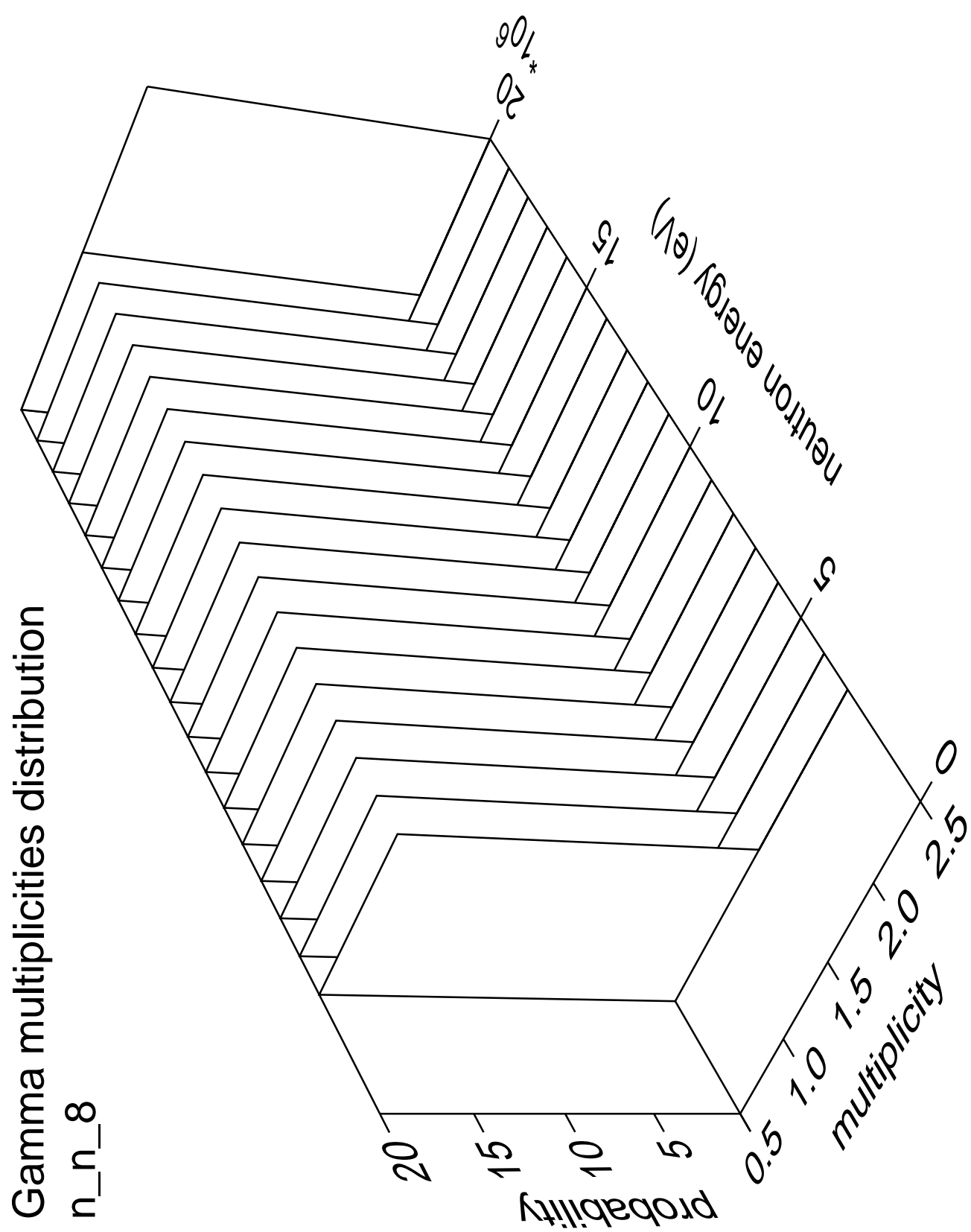


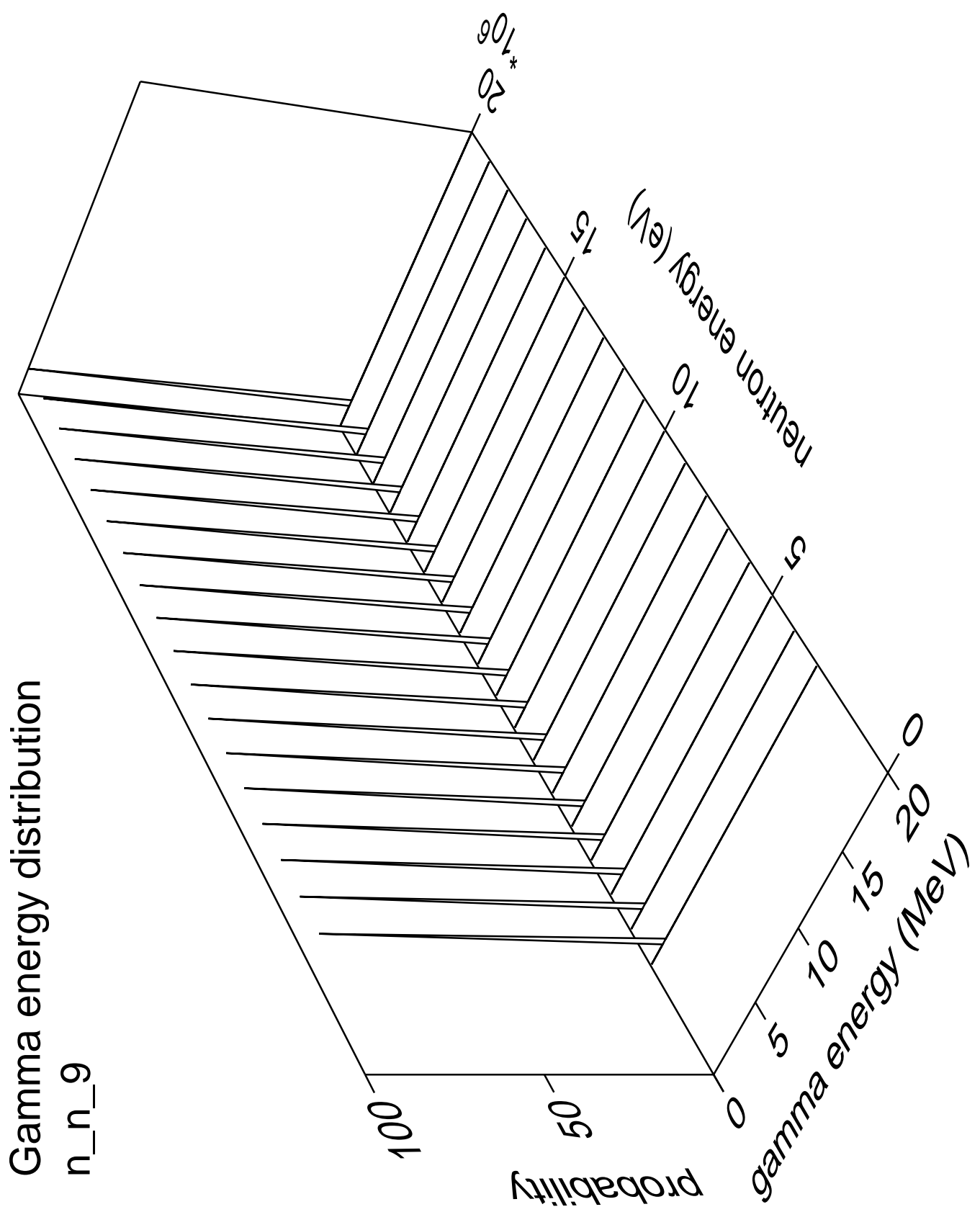


Gamma angles distribution

$n_n_8$

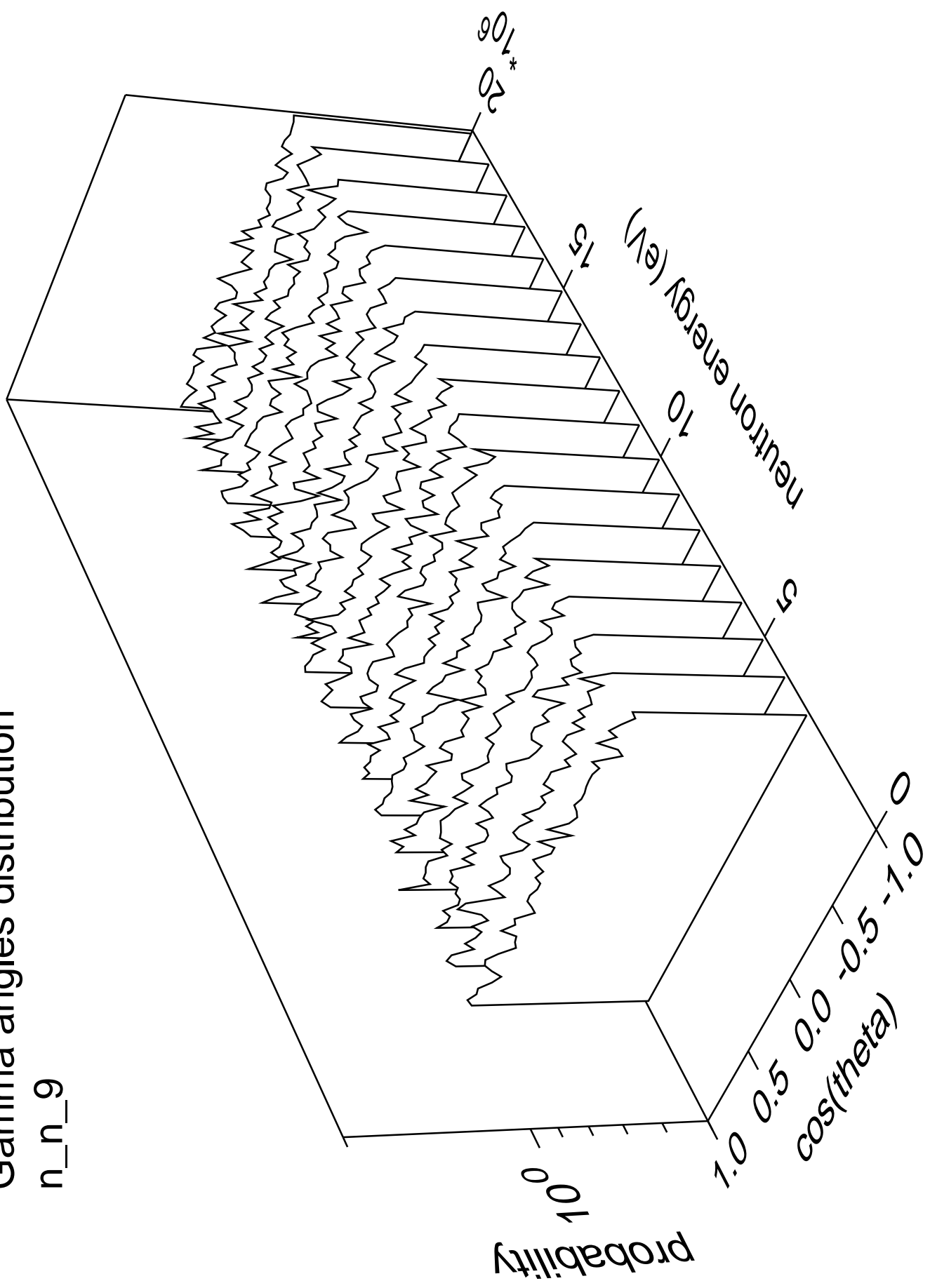


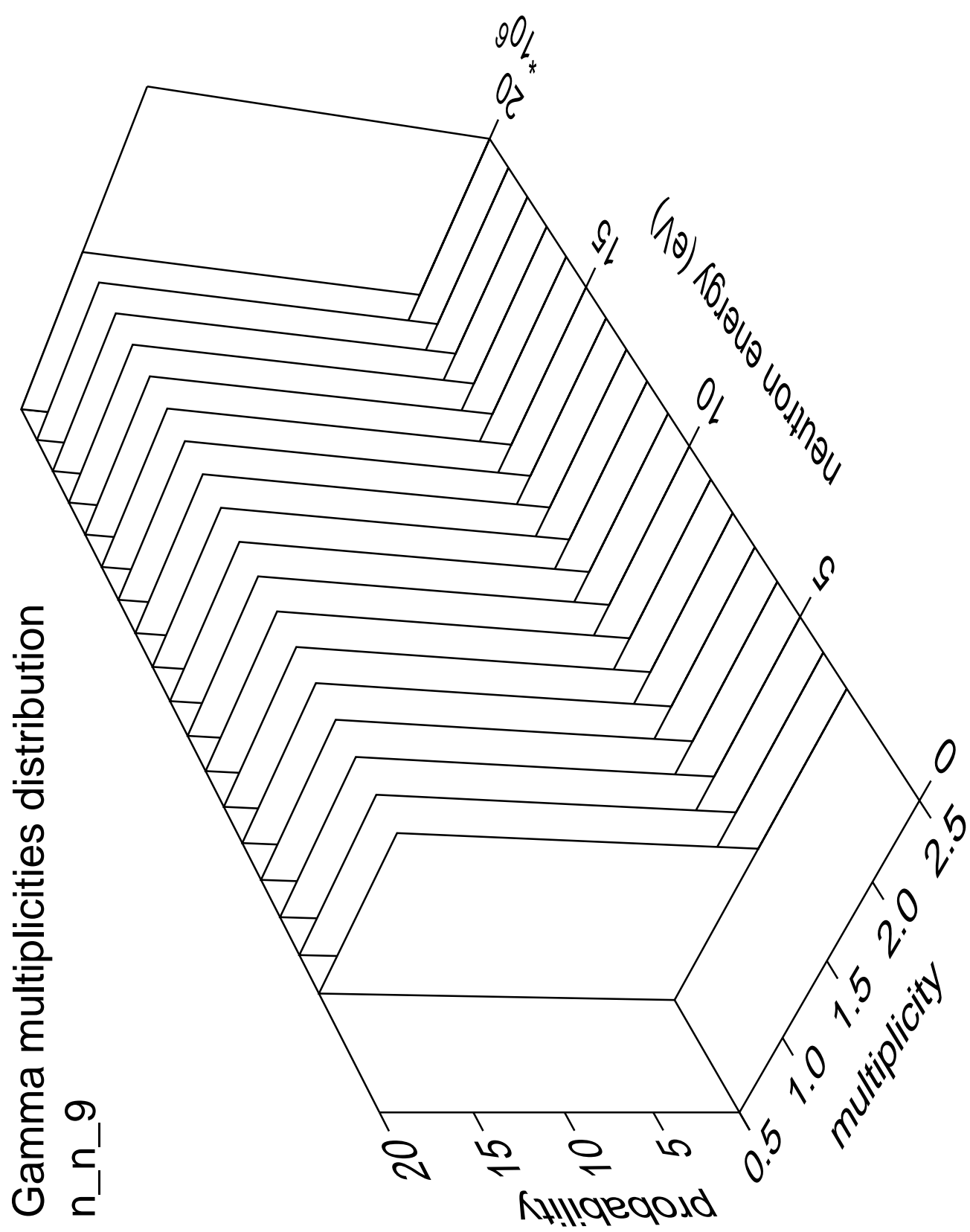




Gamma angles distribution

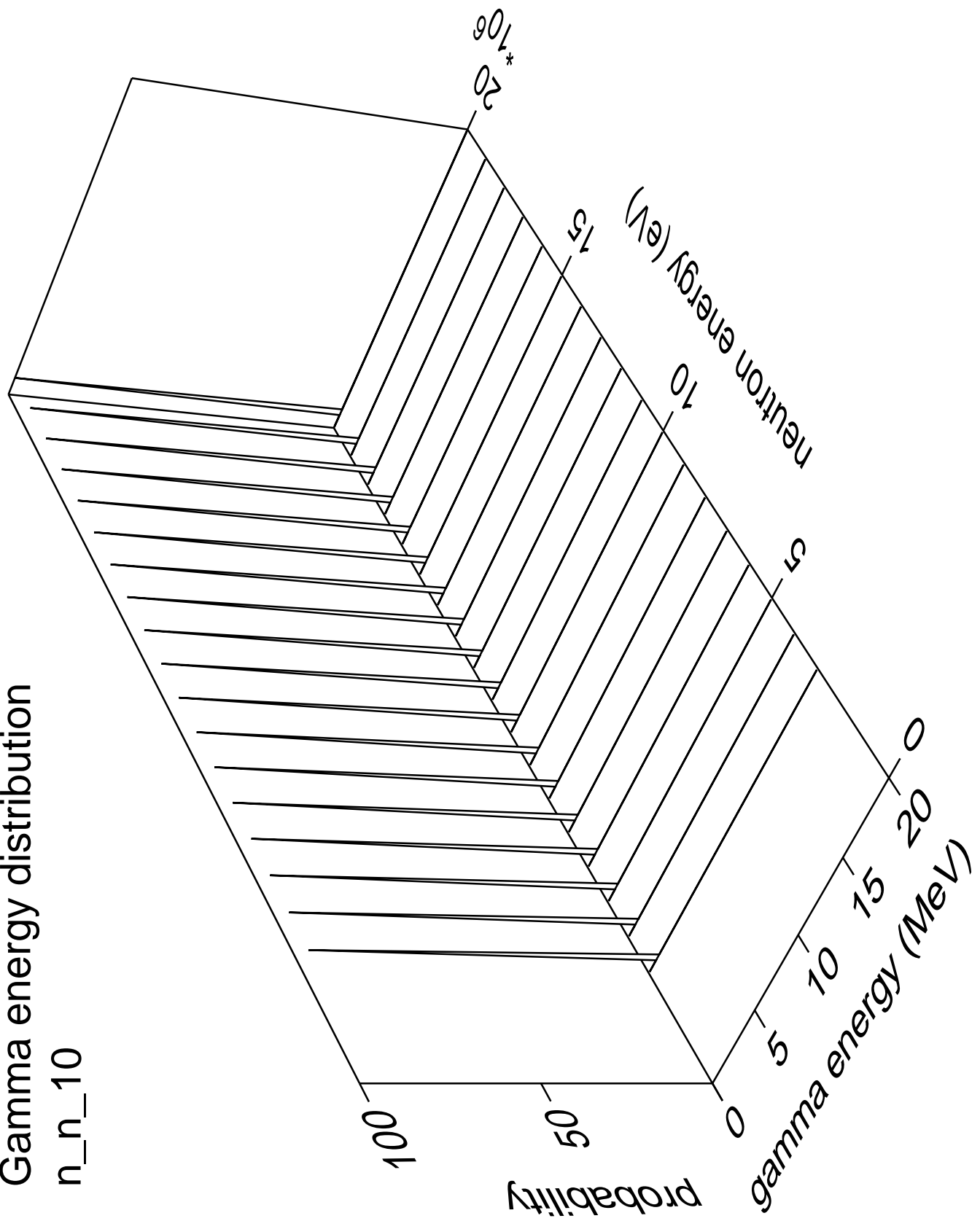
n\_n\_9





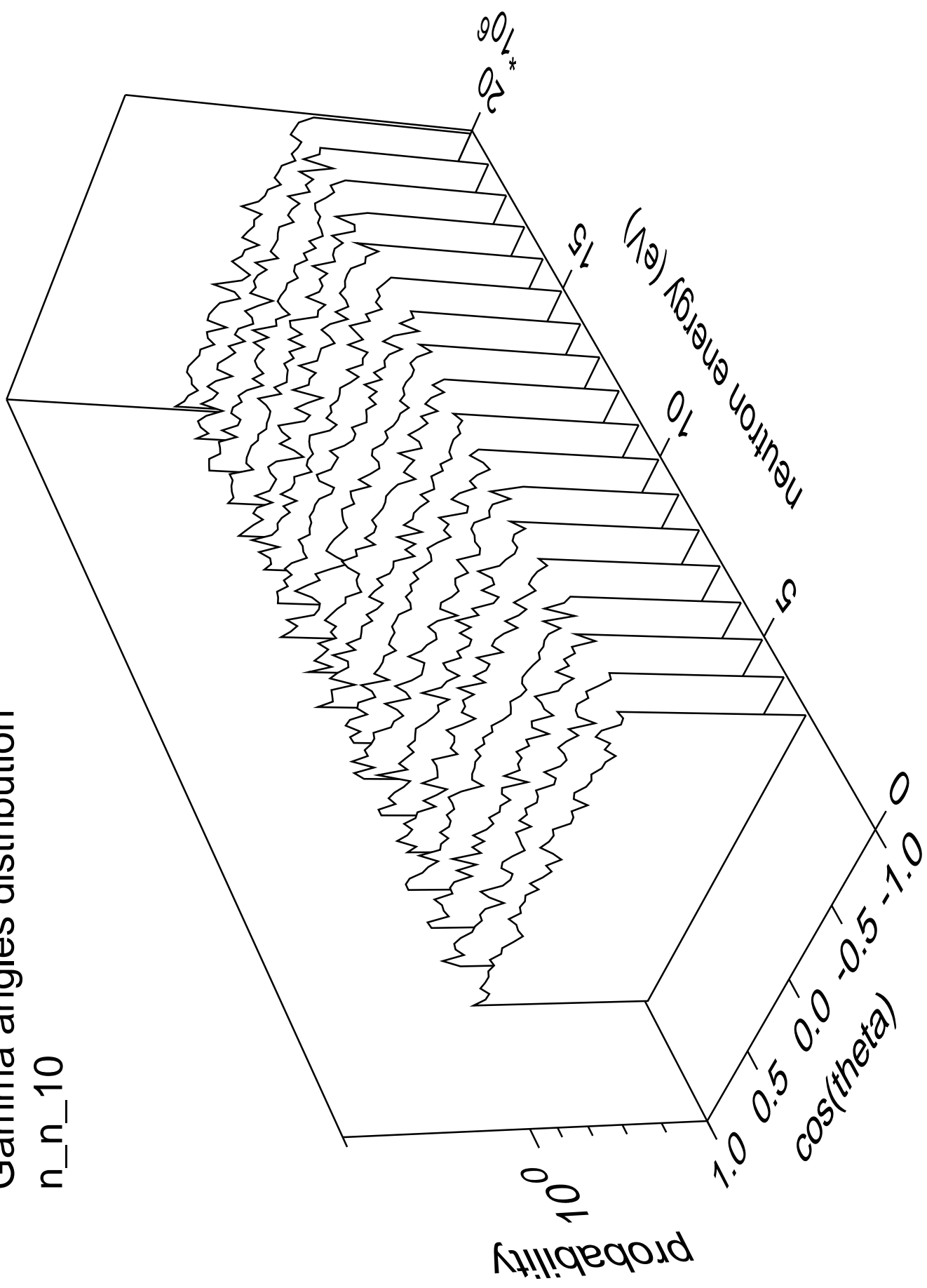
Gamma energy distribution

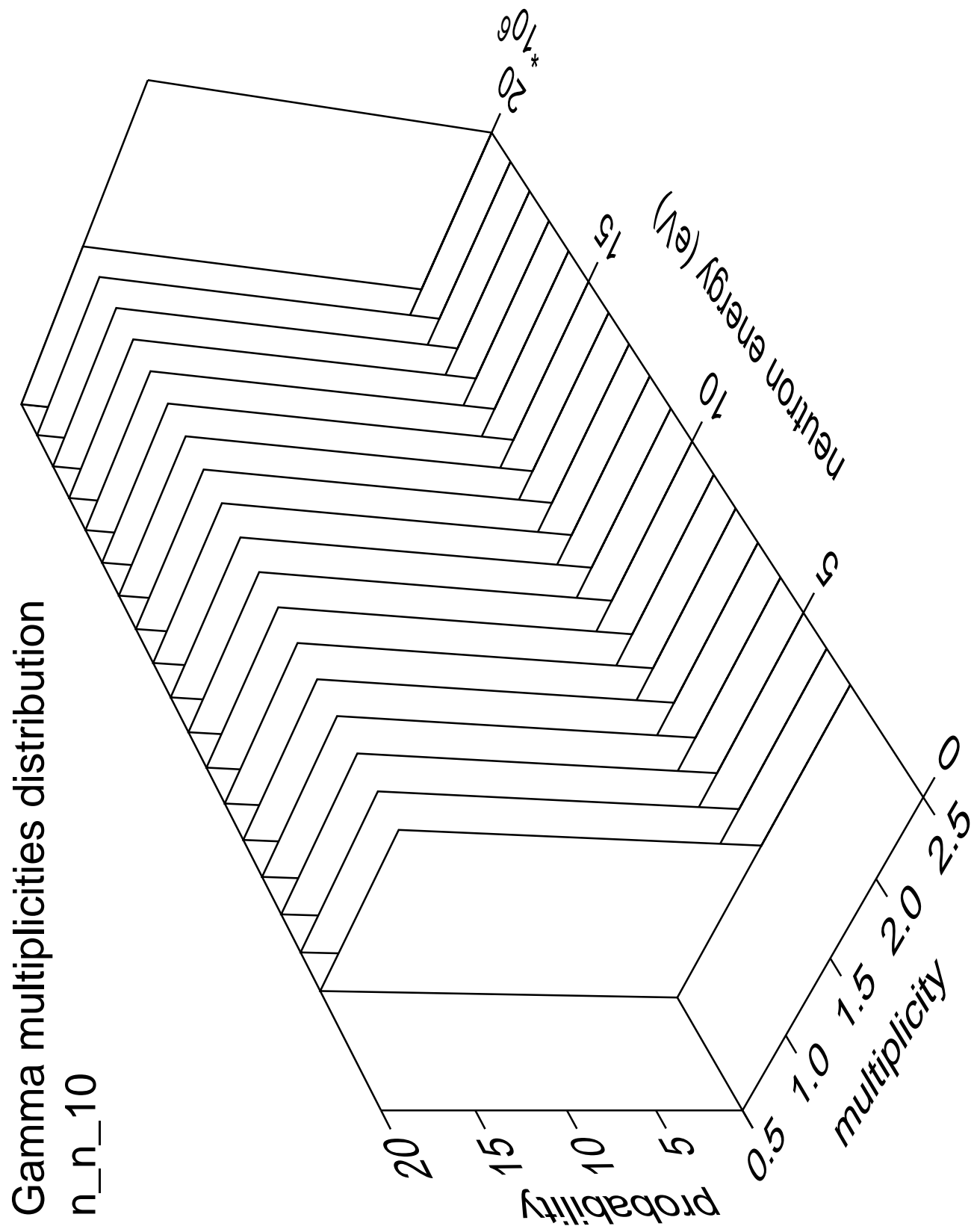
n\_n\_10



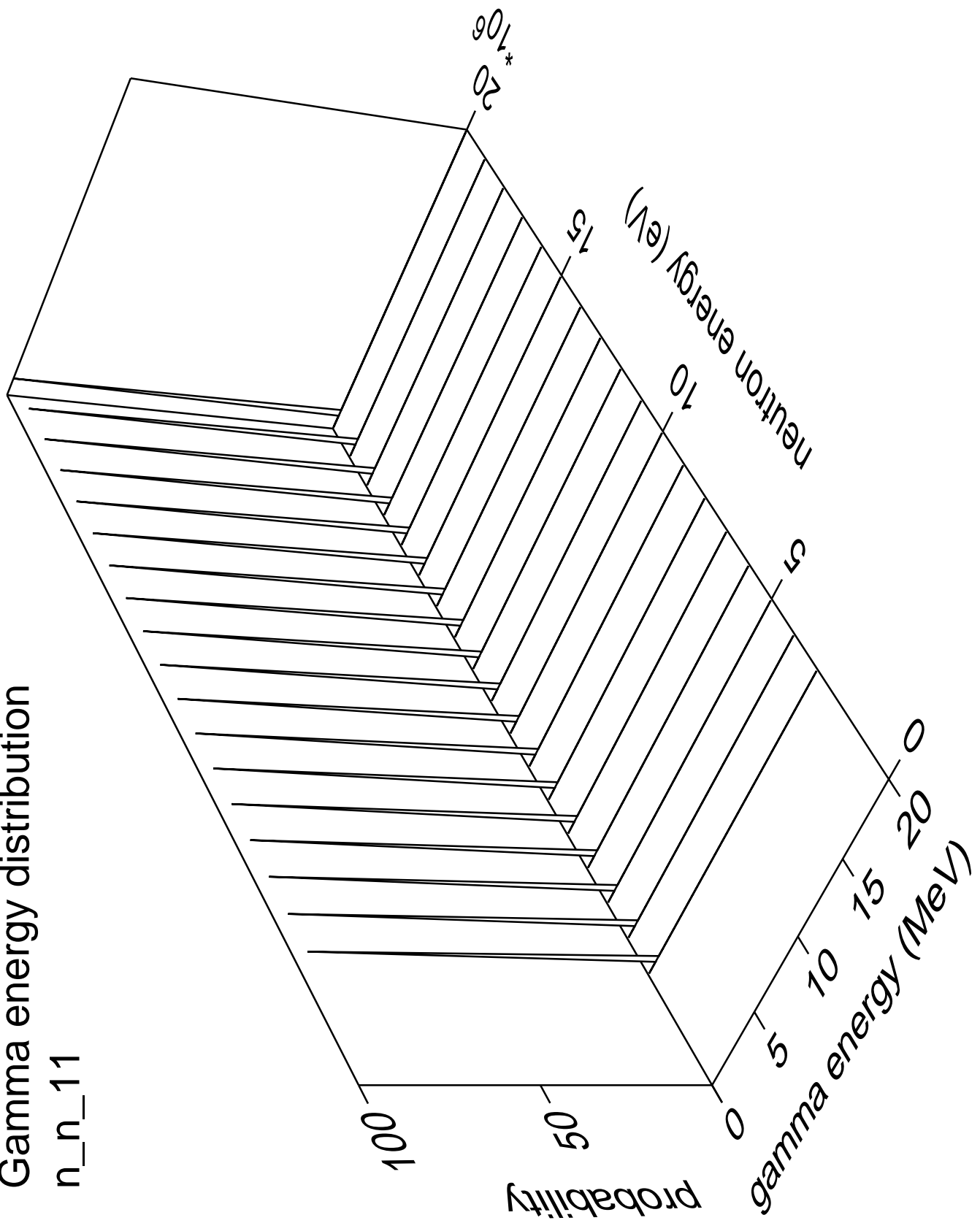
Gamma angles distribution

n\_n\_10

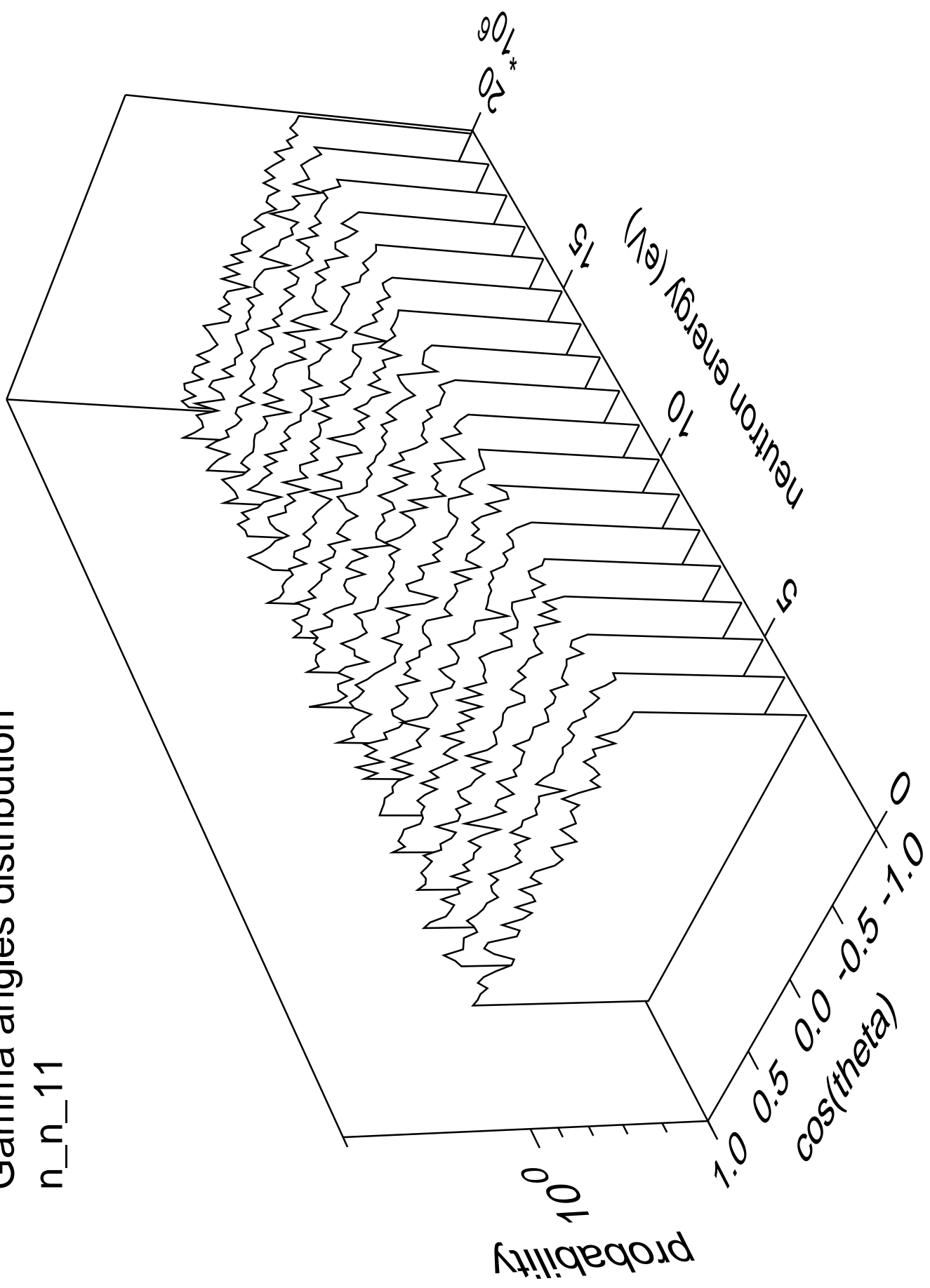




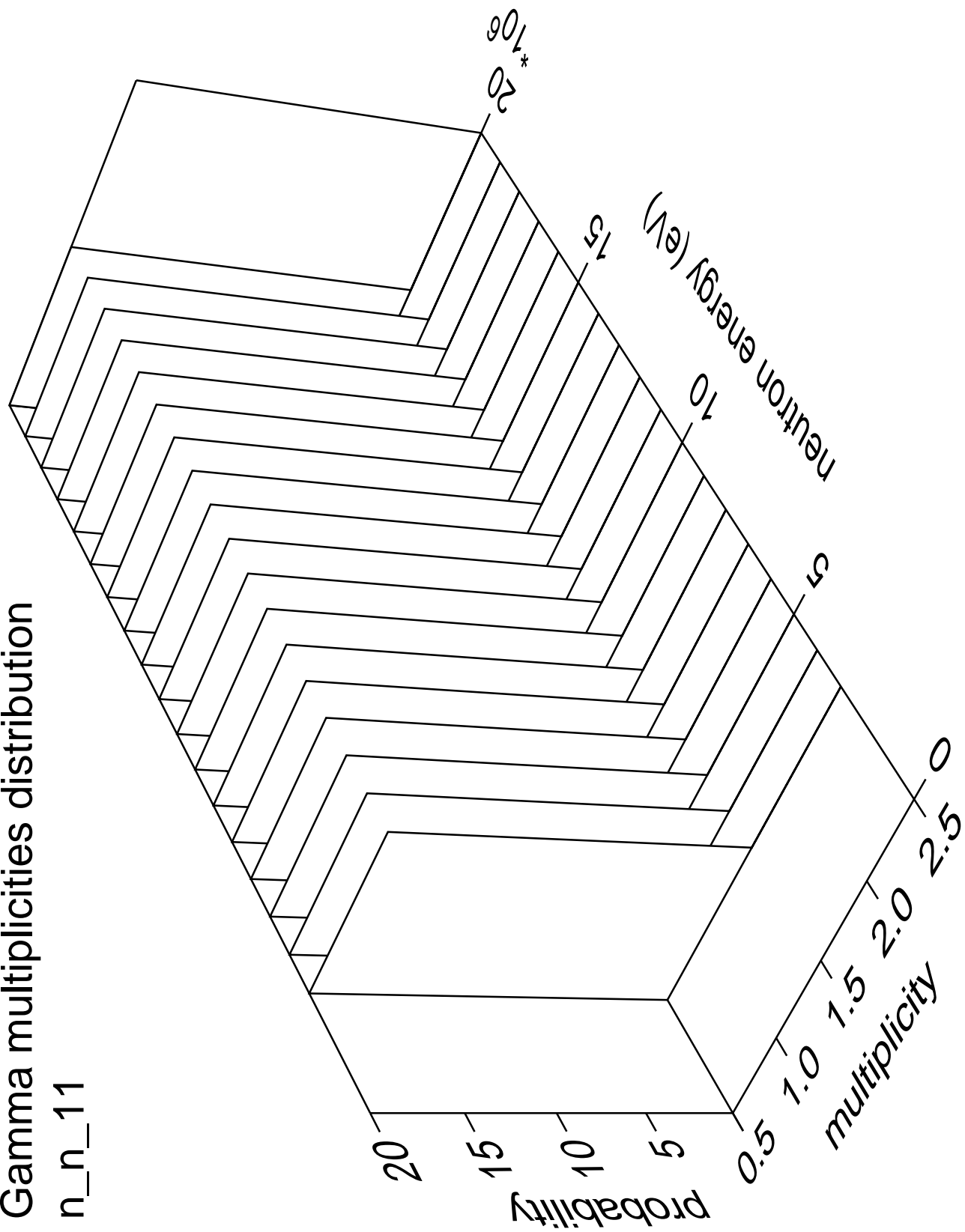
# Gamma energy distribution



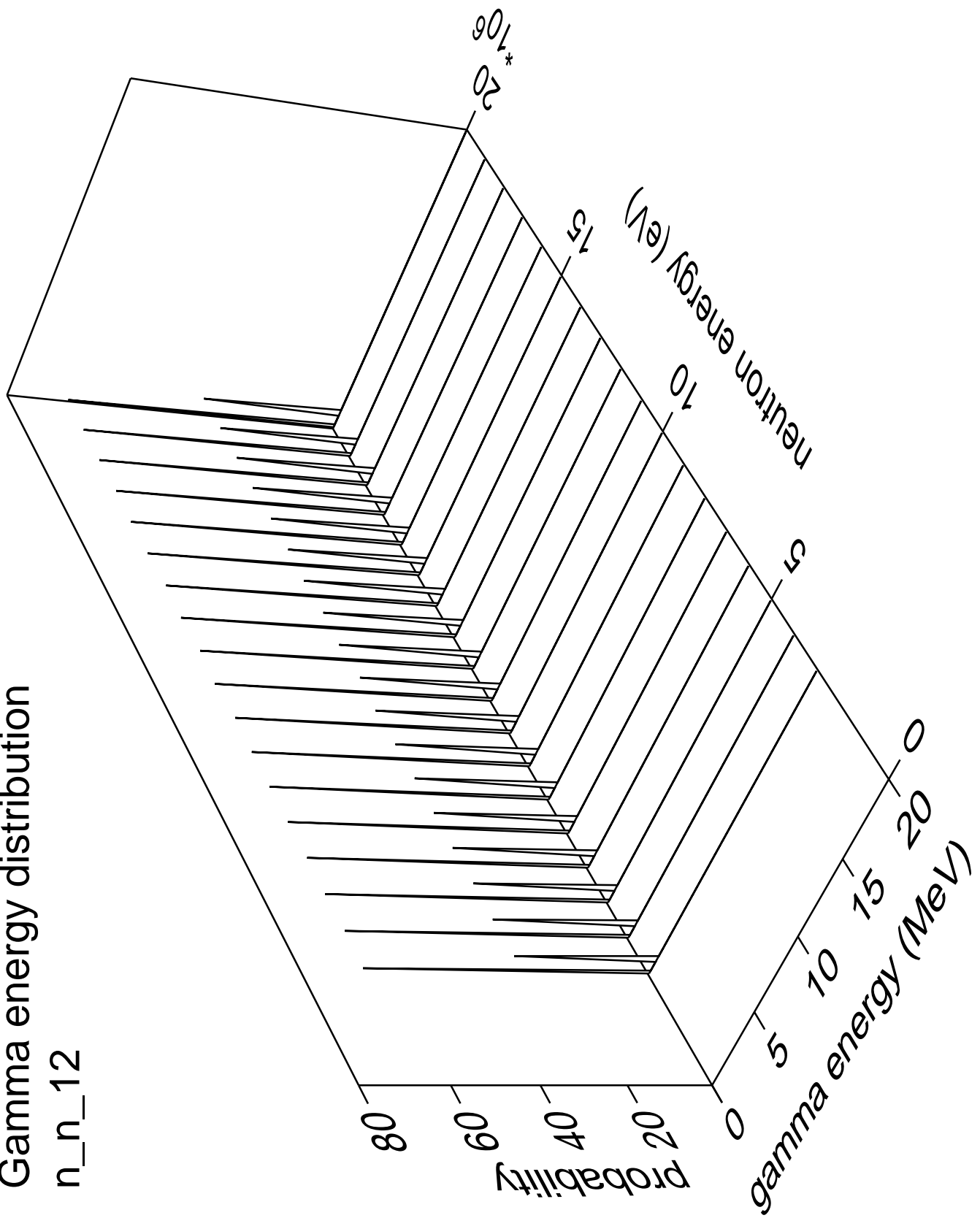
# Gamma angles distribution



# Gamma multiplicities distribution

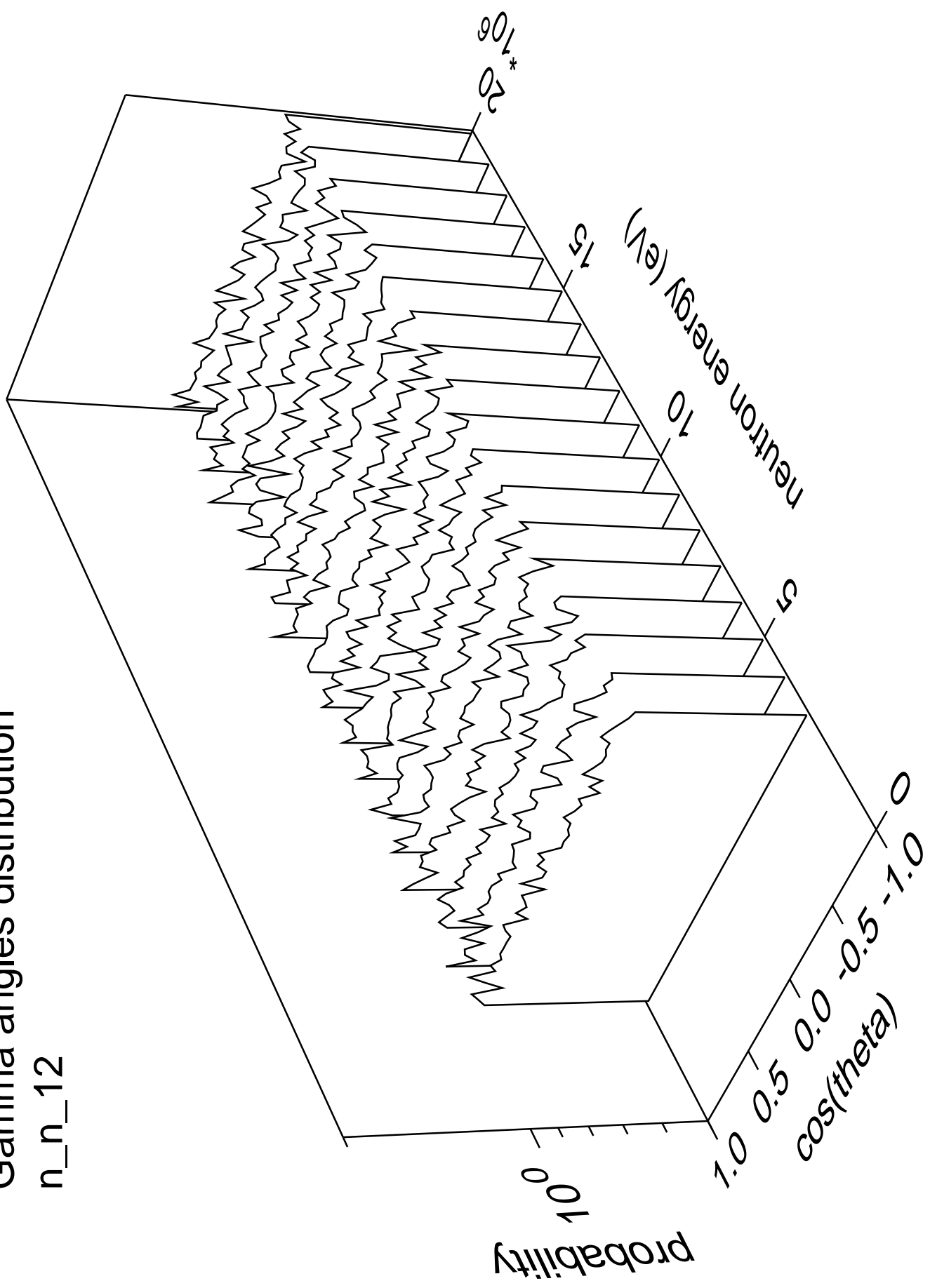


## Gamma energy distribution

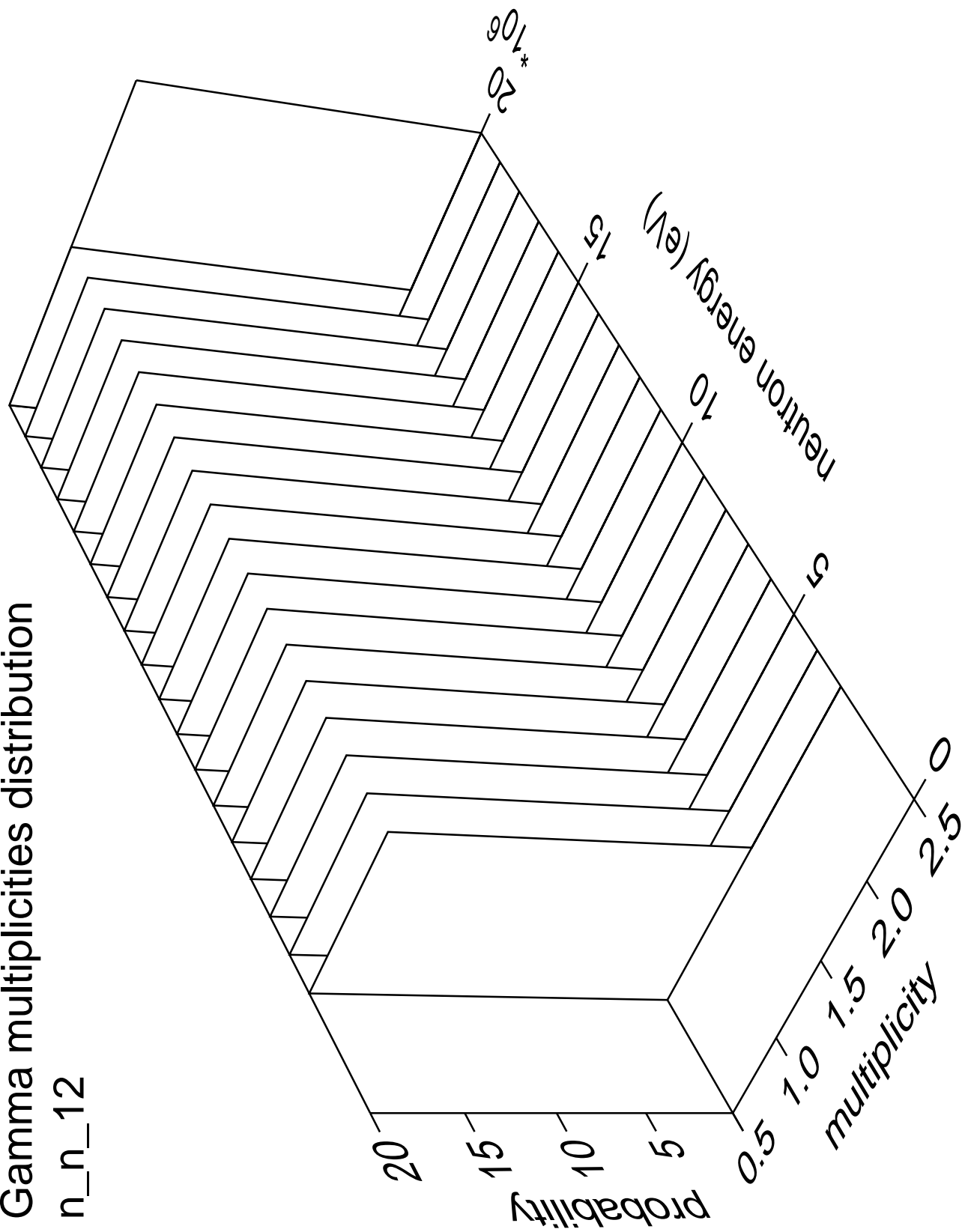


Gamma angles distribution

$n_{n\_12}$

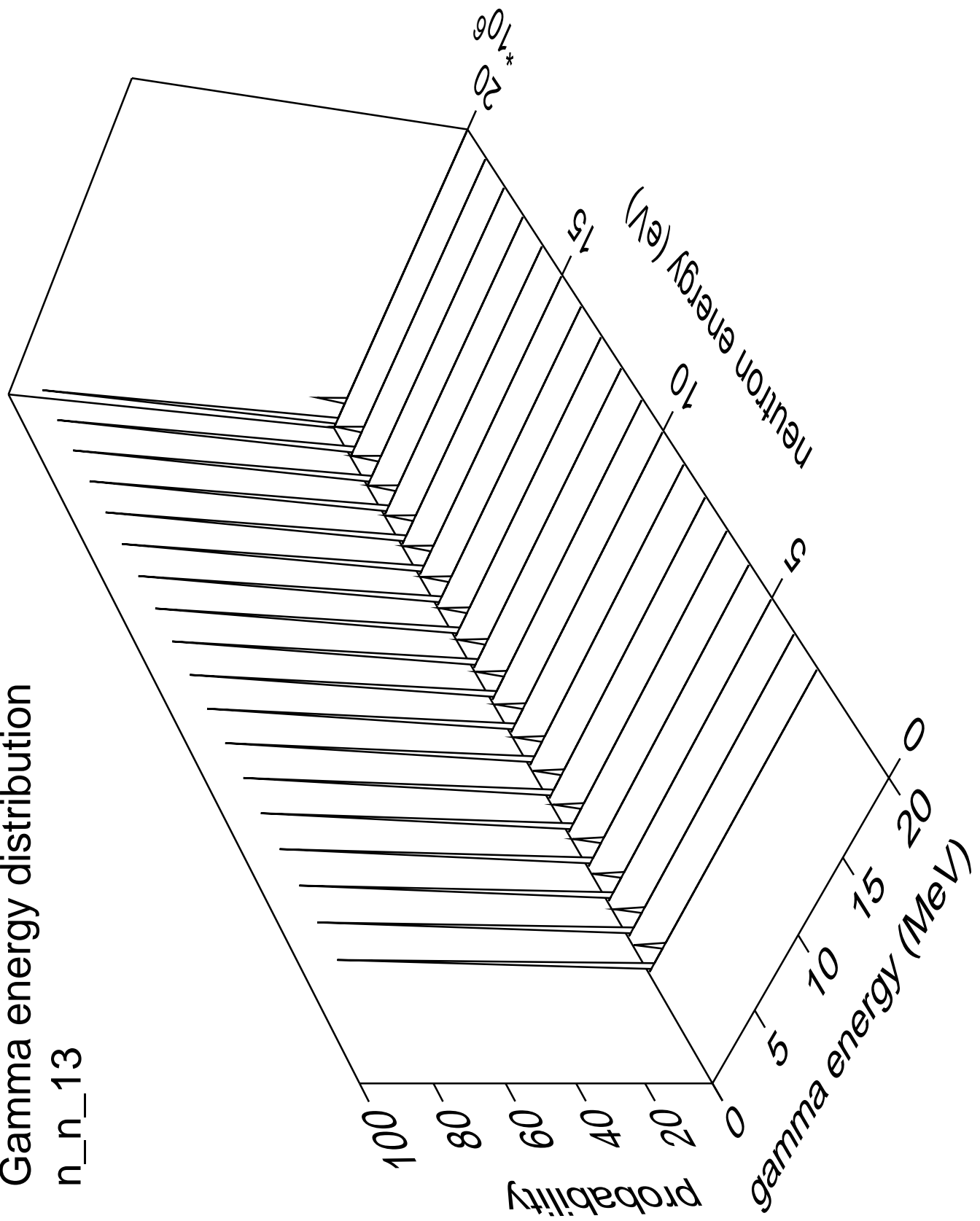


# Gamma multiplicities distribution



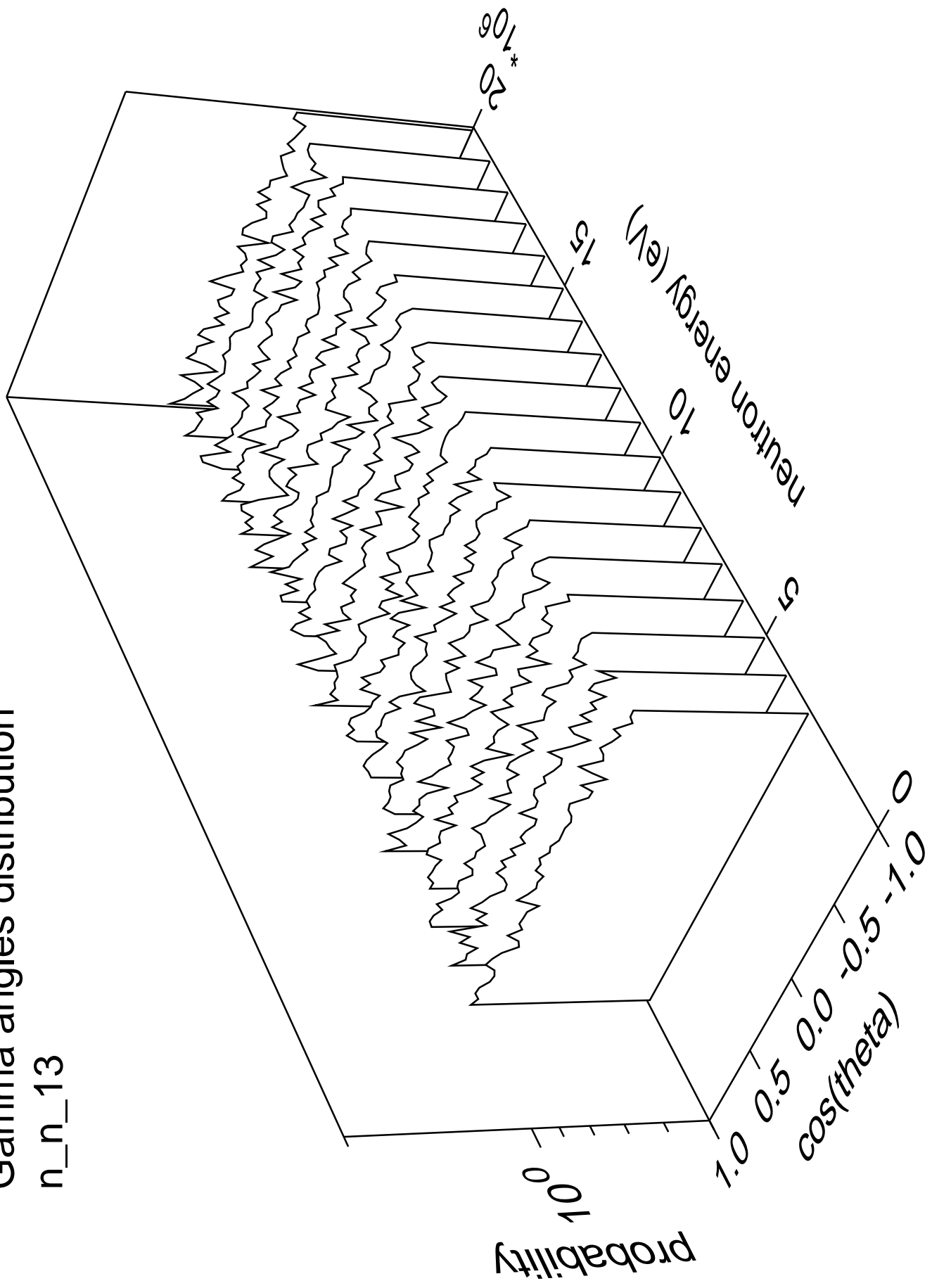
# Gamma energy distribution

n\_n\_13

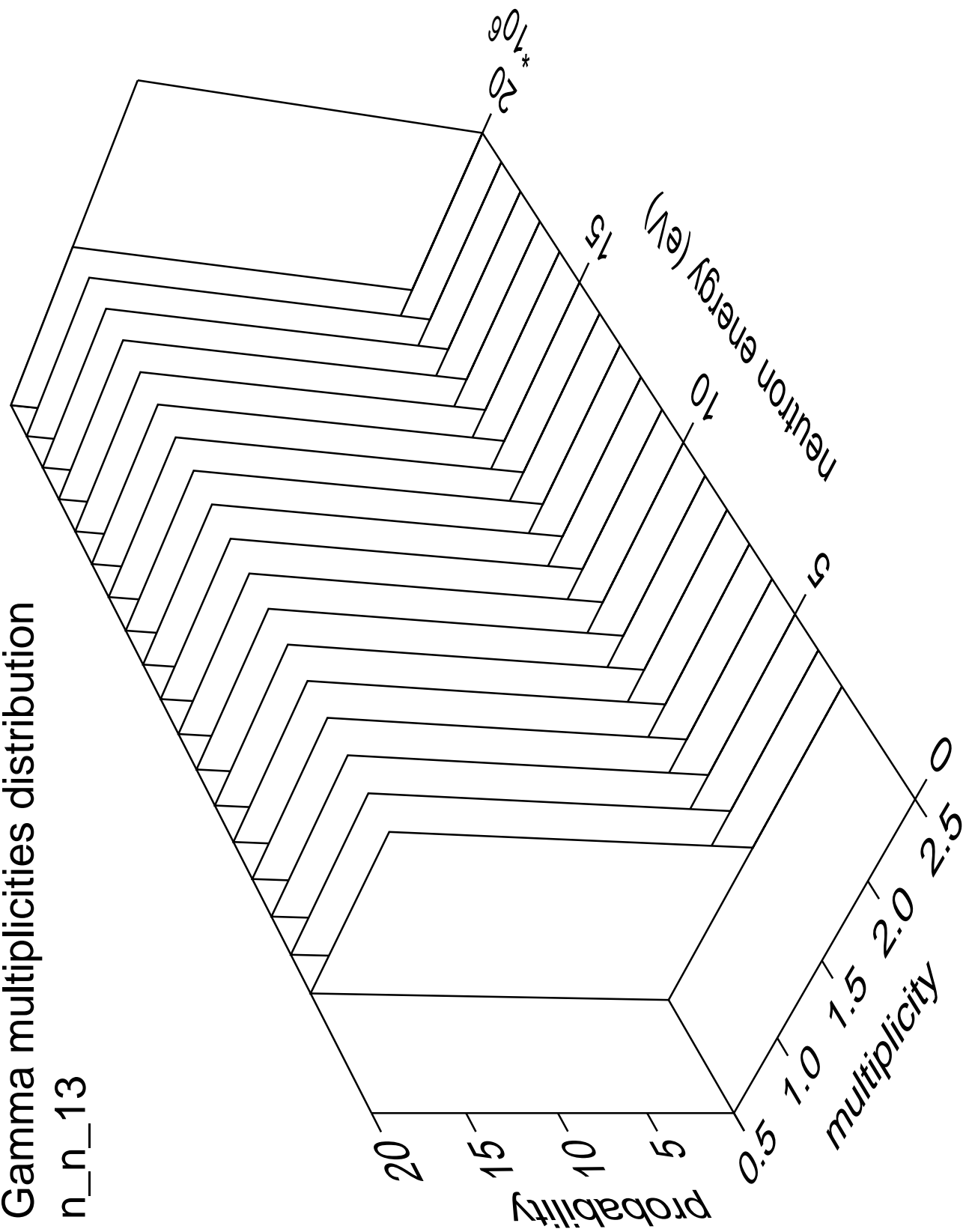


# Gamma angles distribution

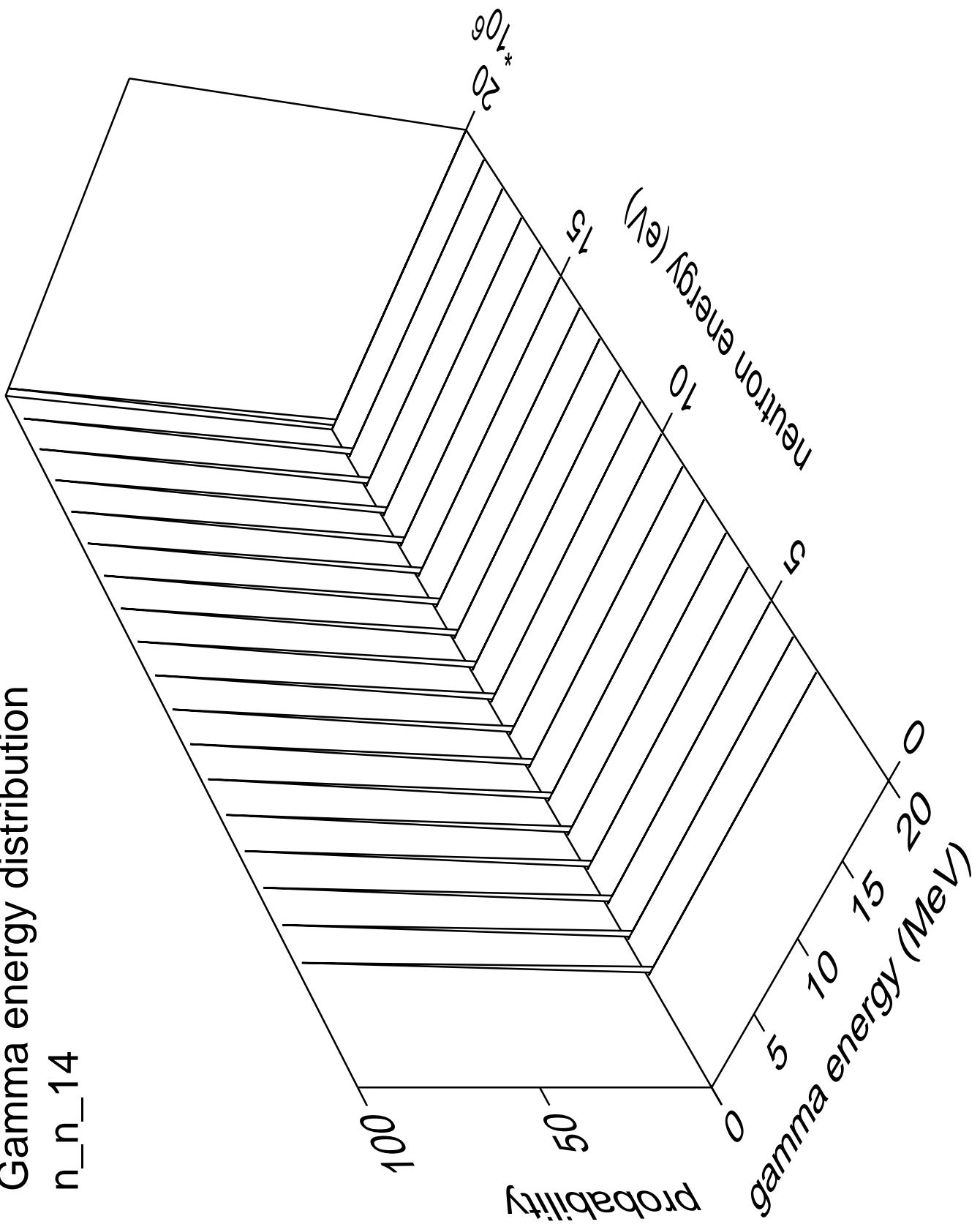
n\_n\_13



# Gamma multiplicities distribution

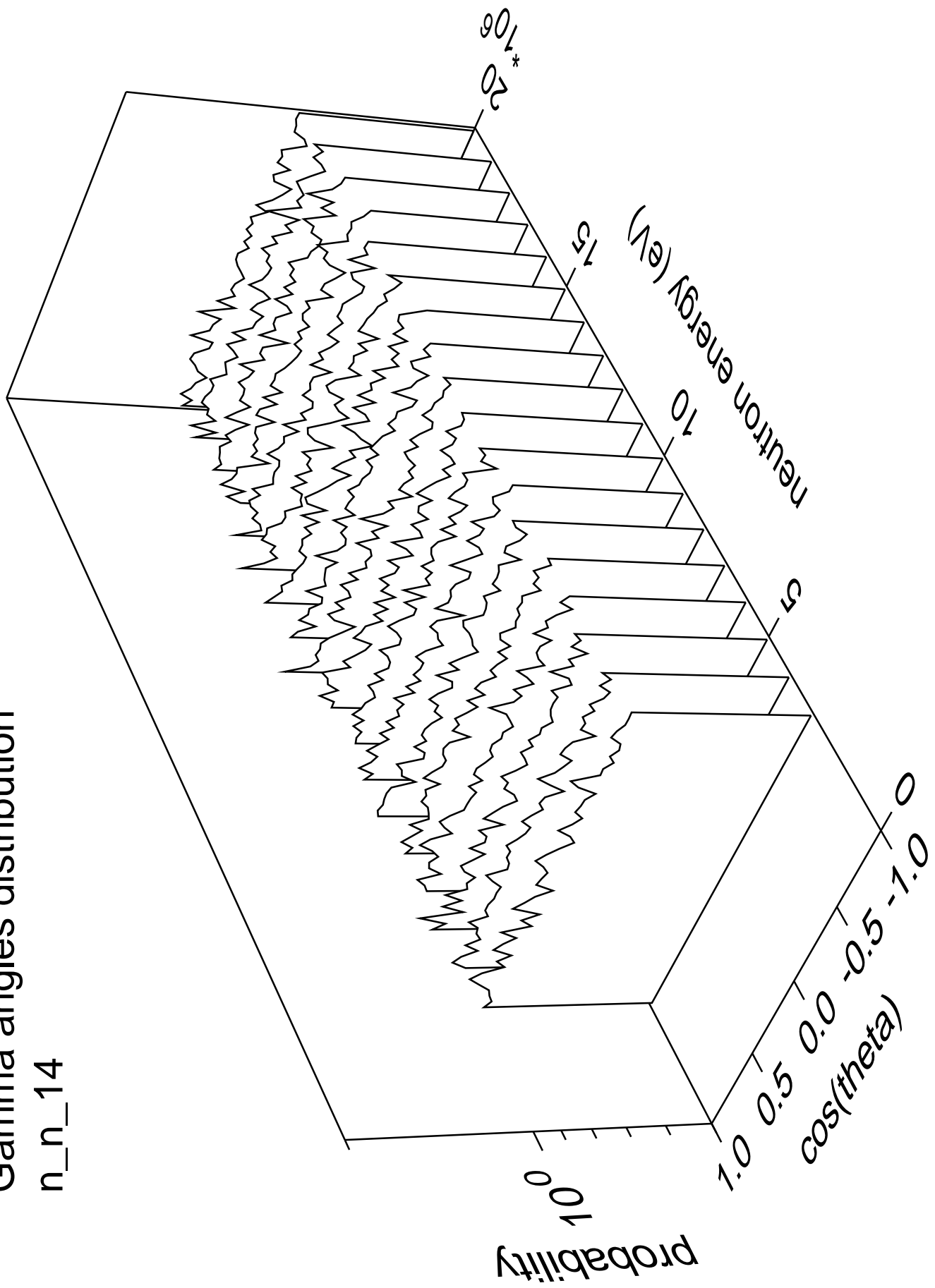


# Gamma energy distribution n\_n\_14

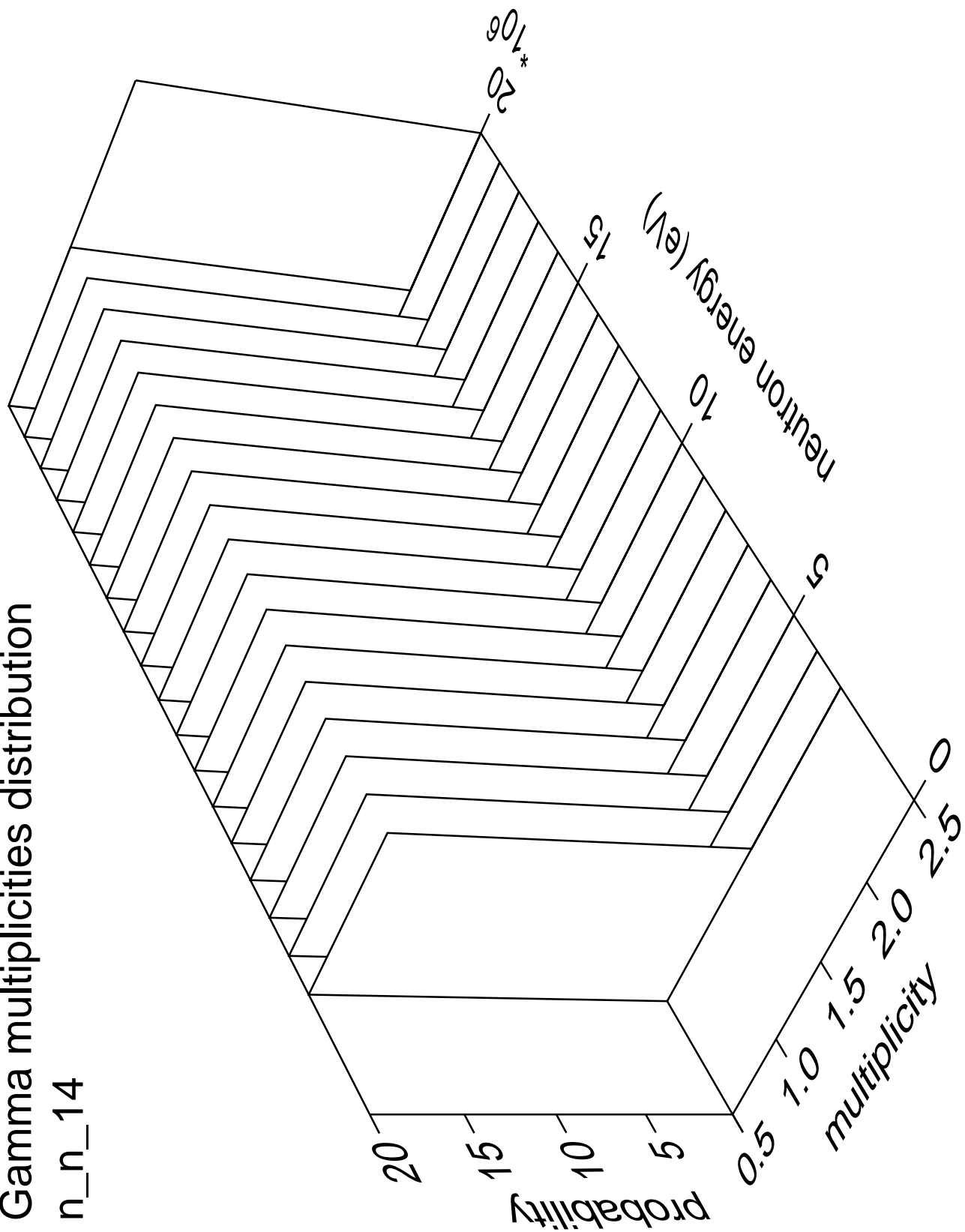


# Gamma angles distribution

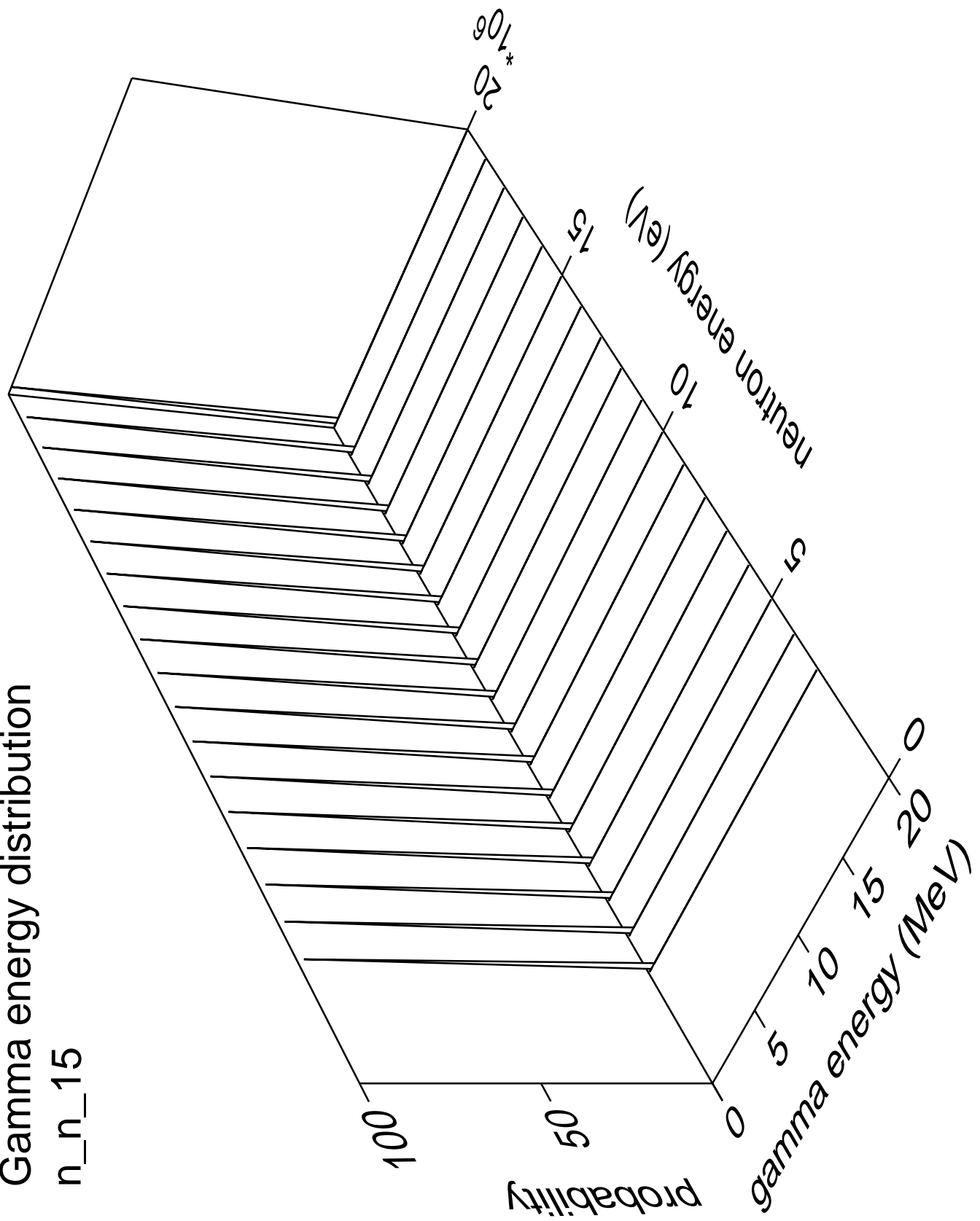
n\_n\_14



# Gamma multiplicities distribution n\_n\_14

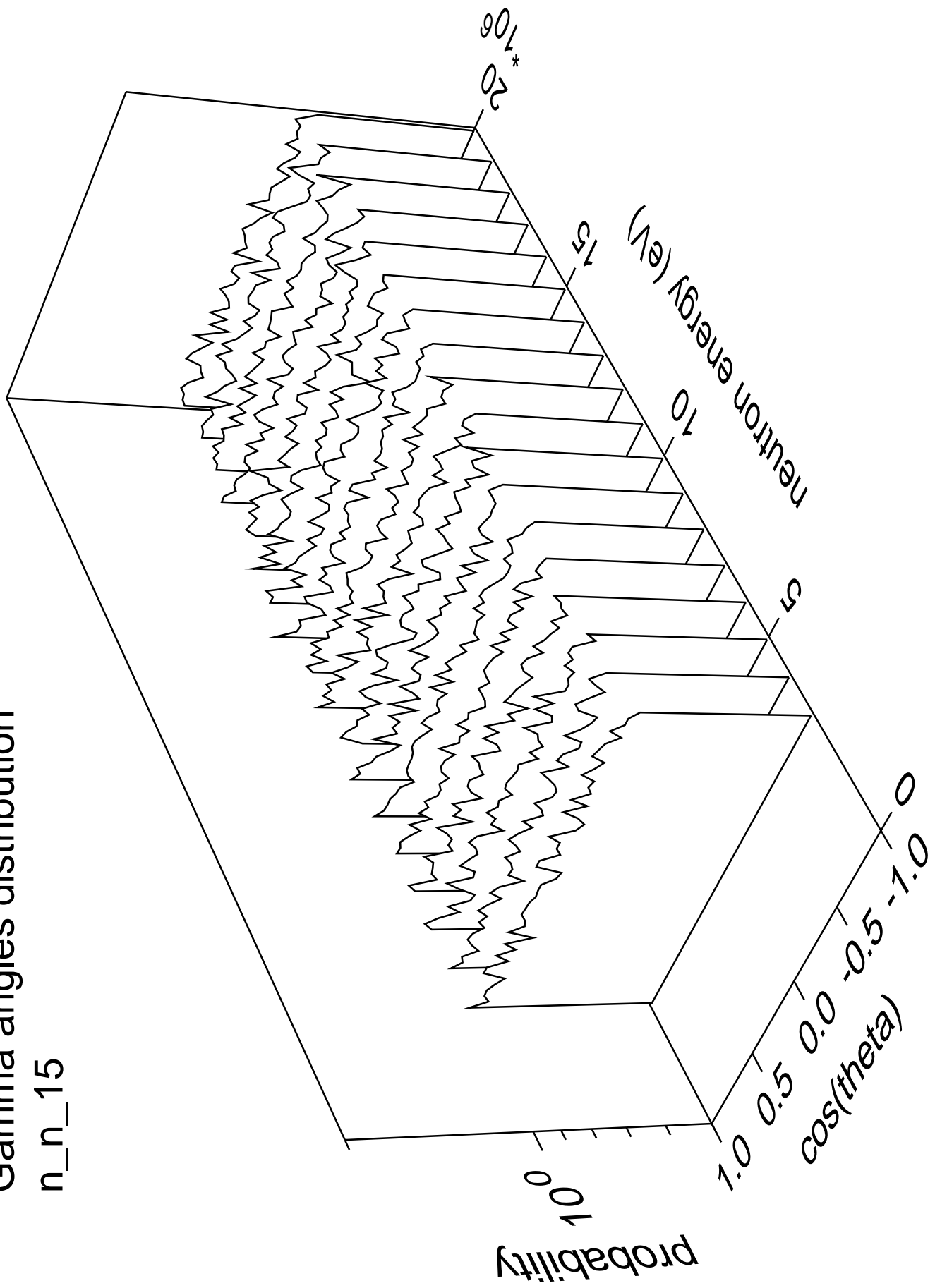


# Gamma energy distribution

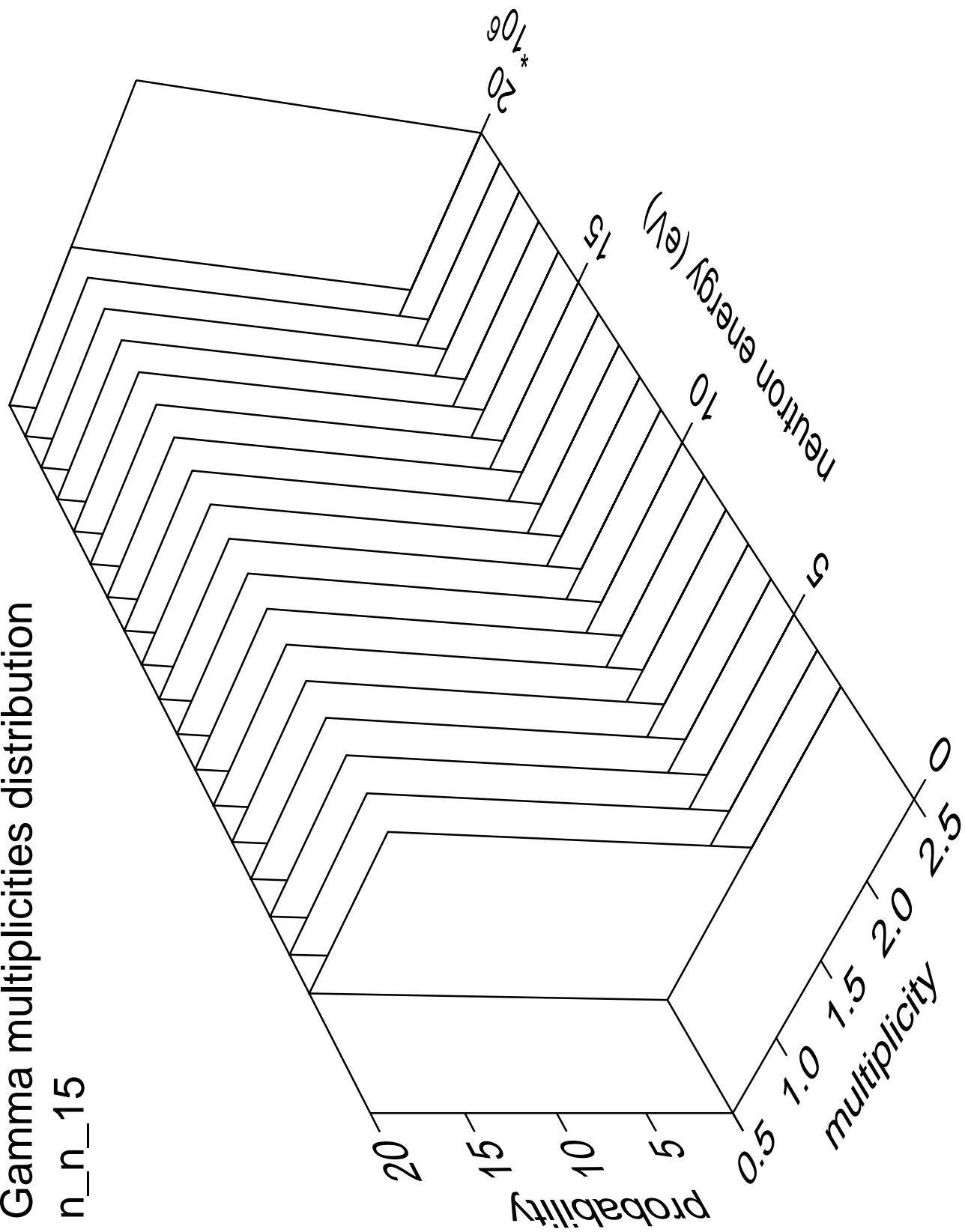


# Gamma angles distribution

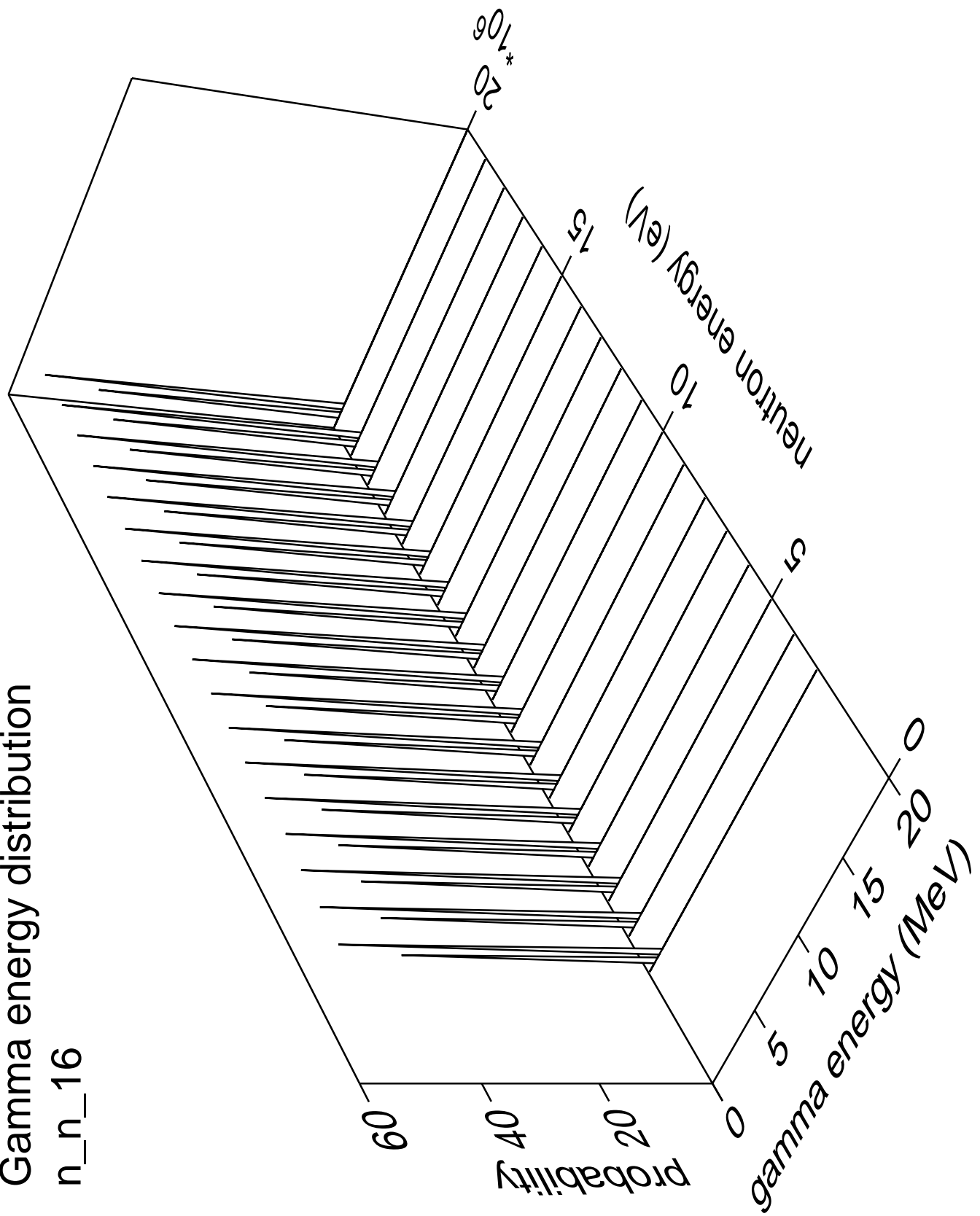
n\_n\_15



# Gamma multiplicities distribution

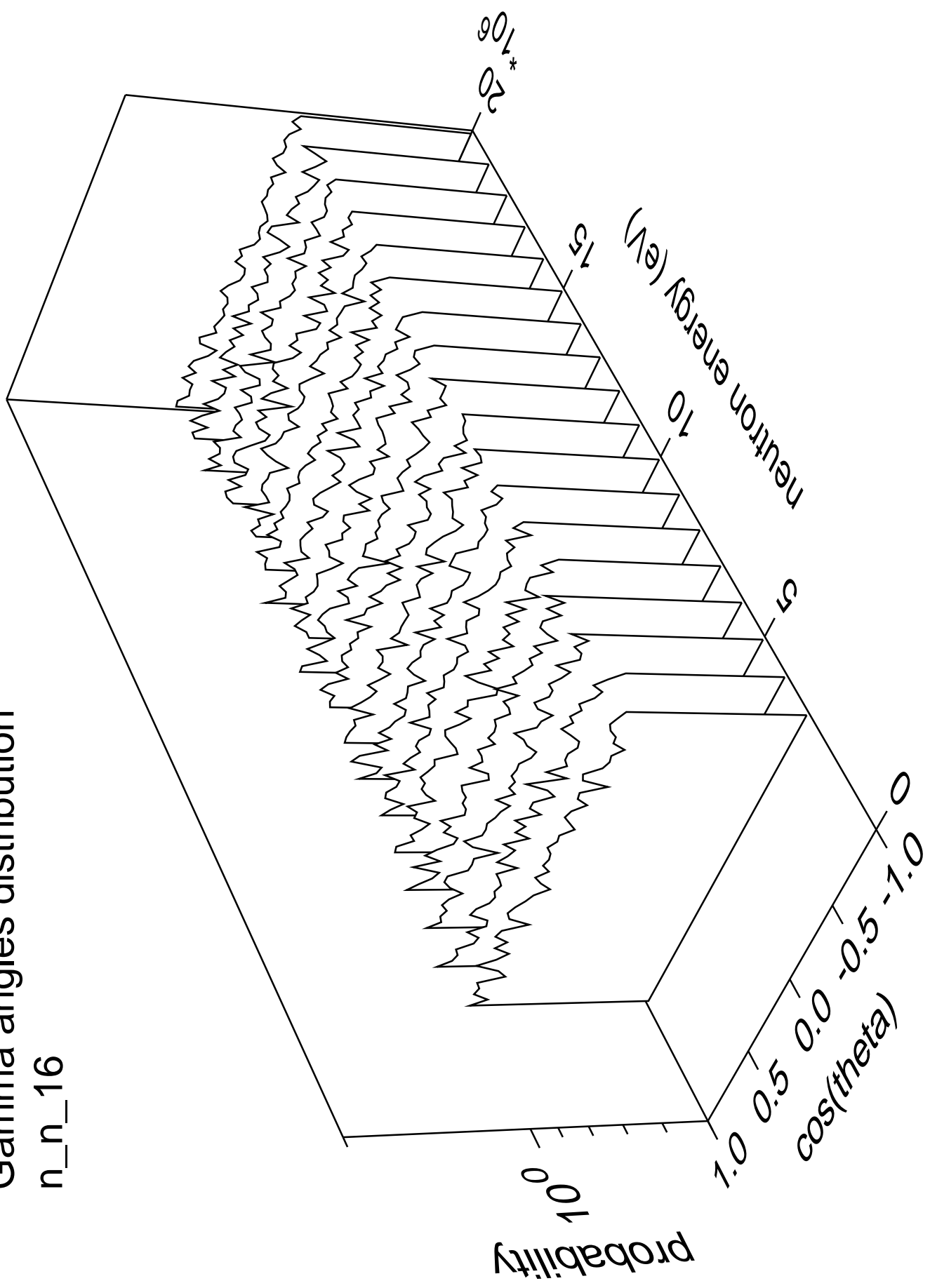


# Gamma energy distribution n\_n\_16

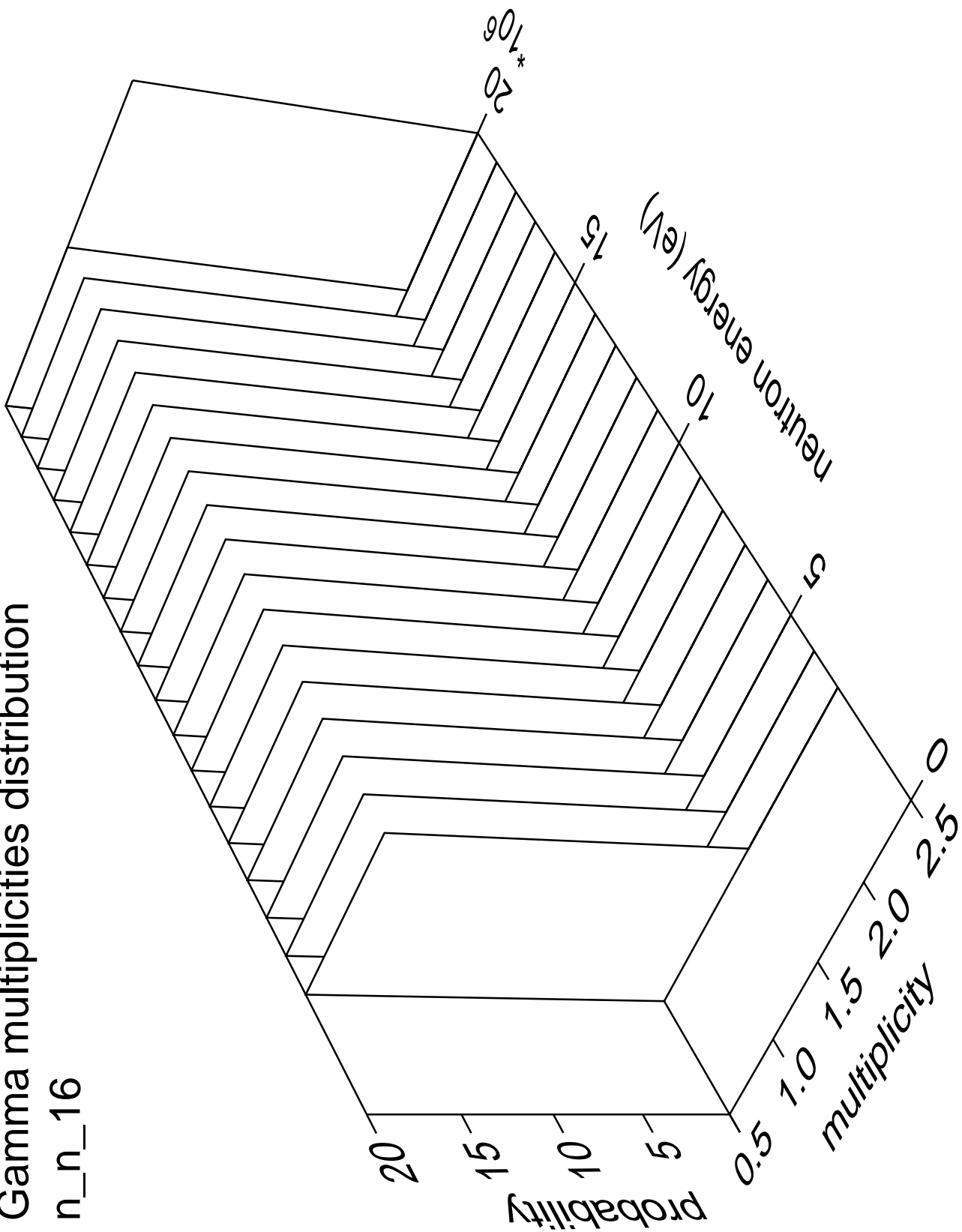


Gamma angles distribution

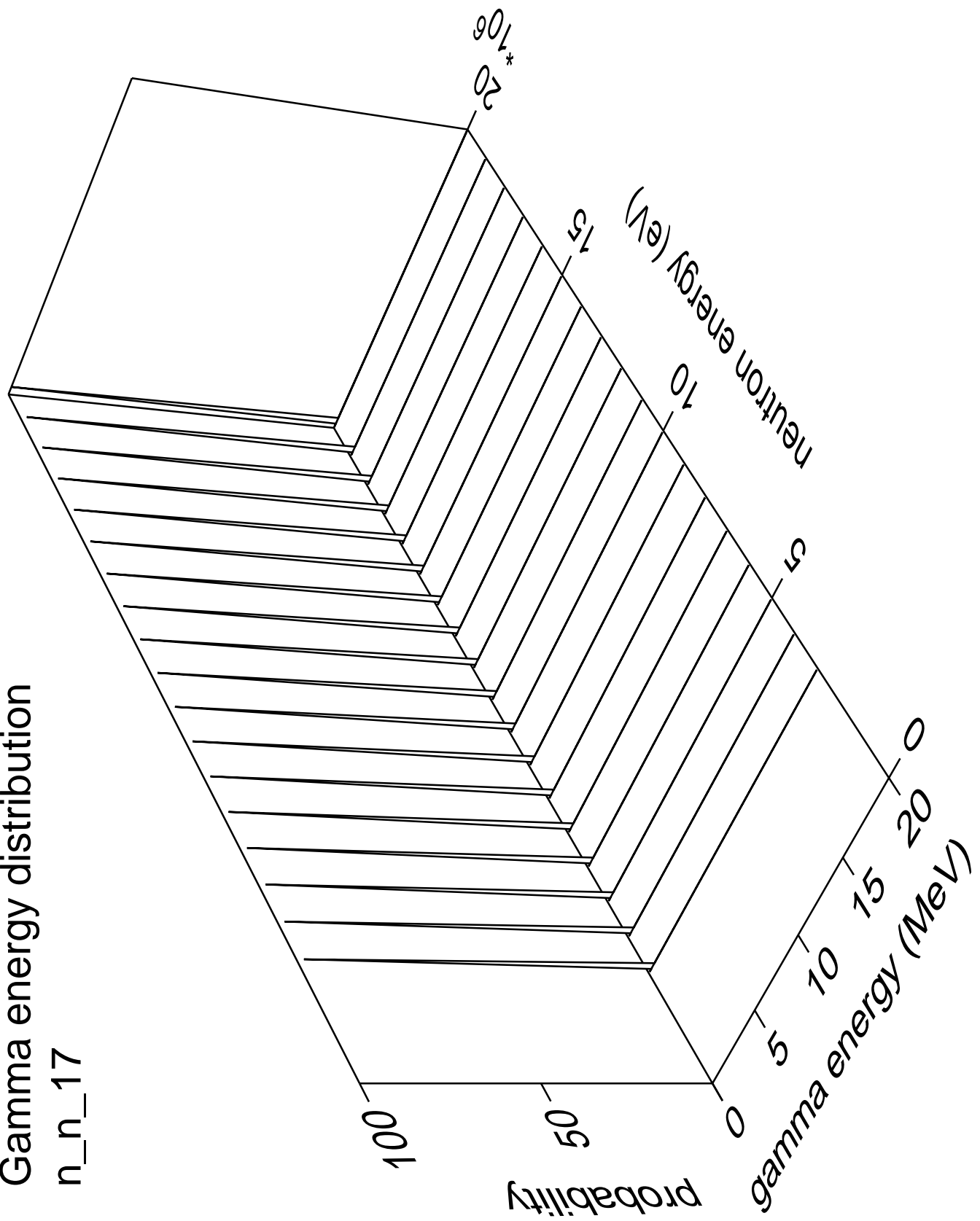
n\_n\_16



# Gamma multiplicities distribution n\_n\_16

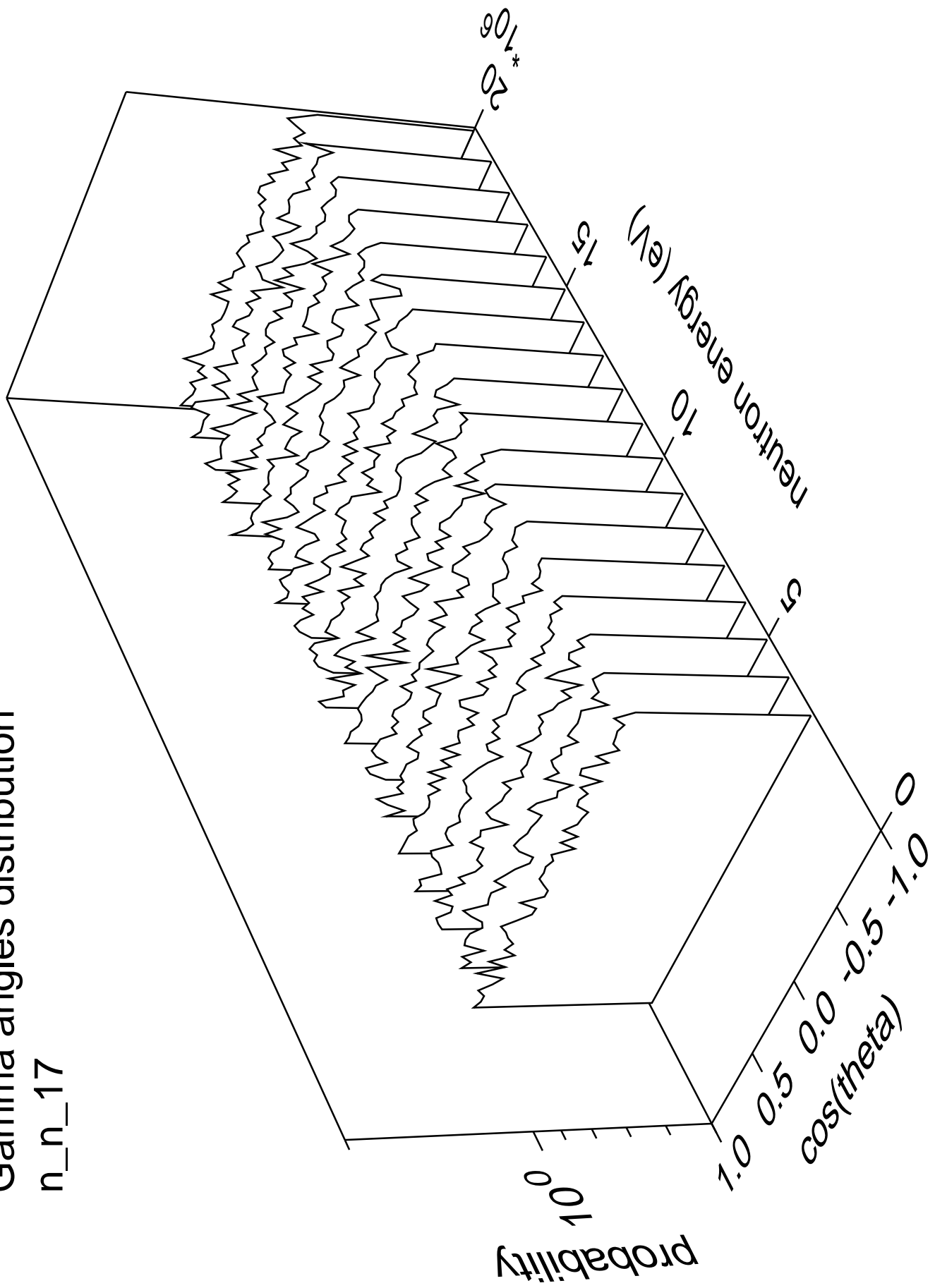


# Gamma energy distribution n\_n\_17

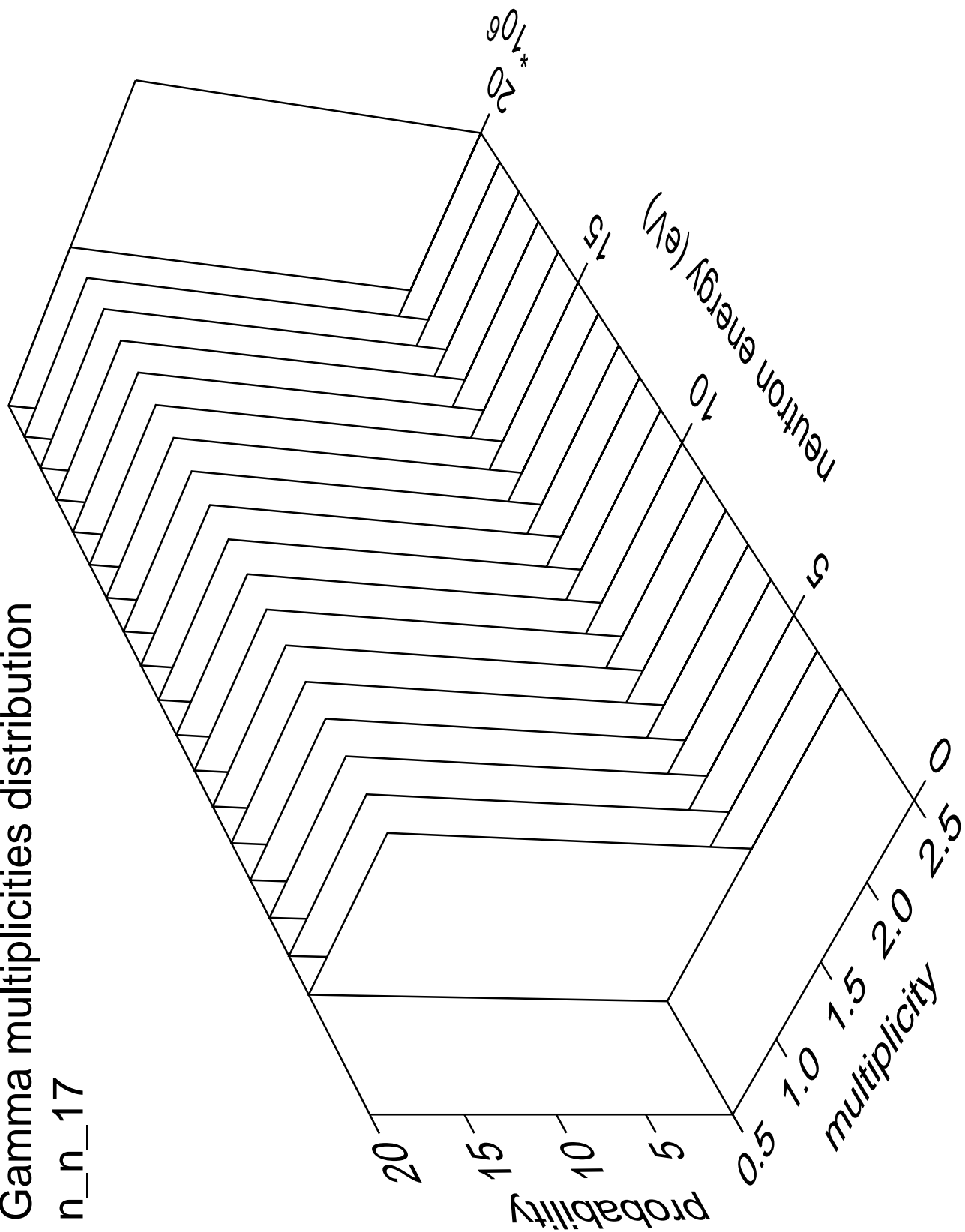


Gamma angles distribution

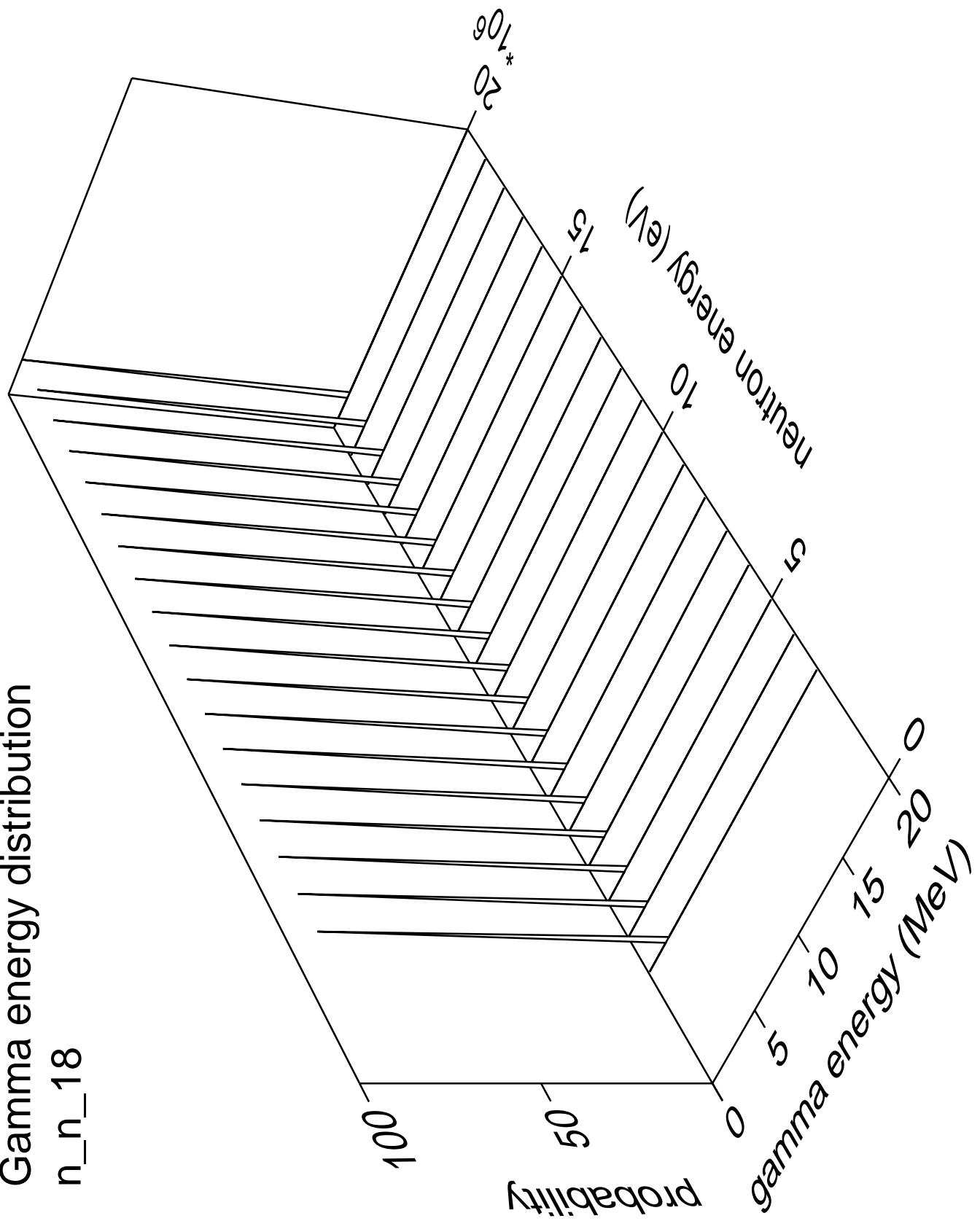
n\_n\_17



# Gamma multiplicities distribution n\_n\_17

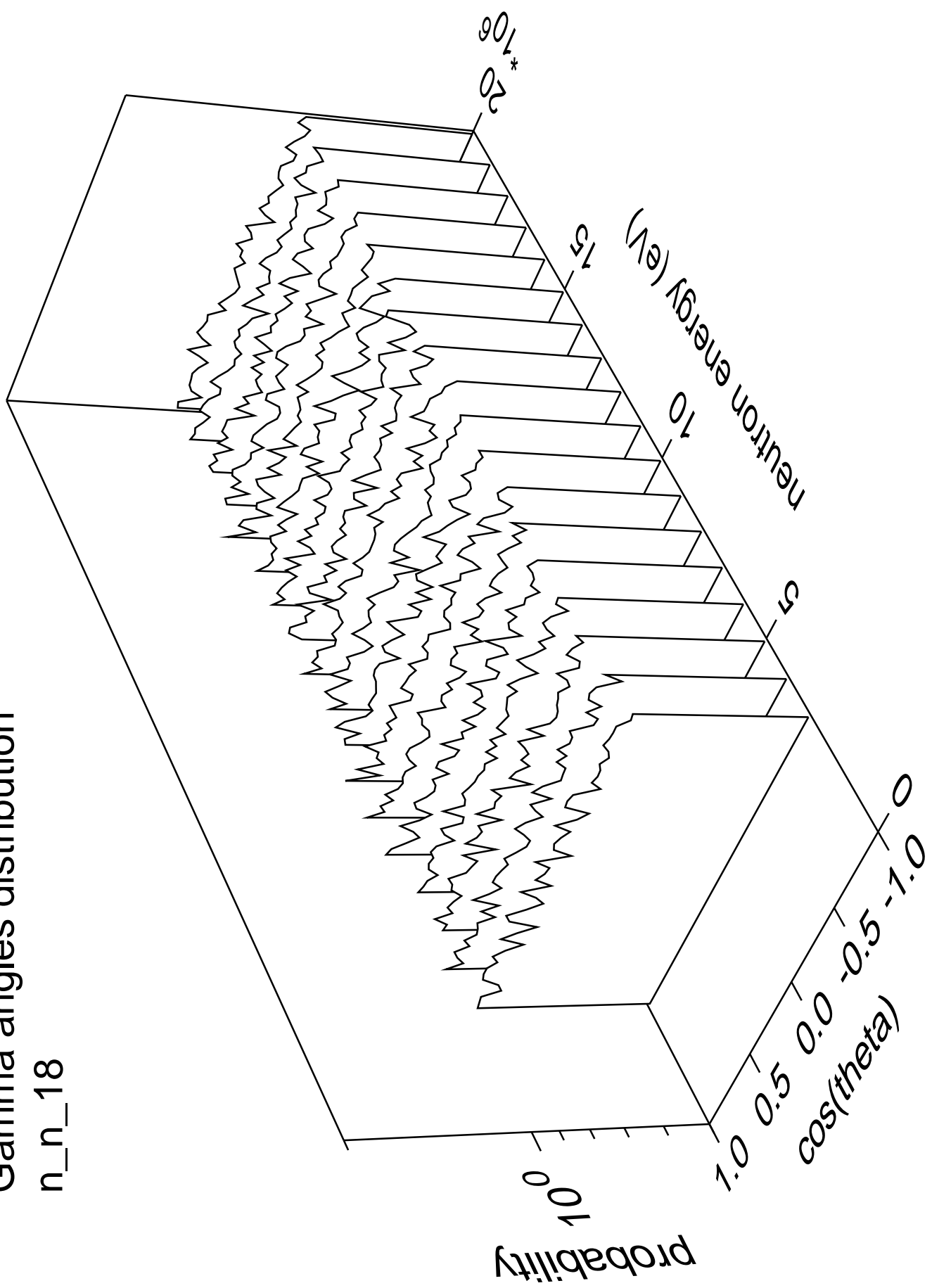


# Gamma energy distribution

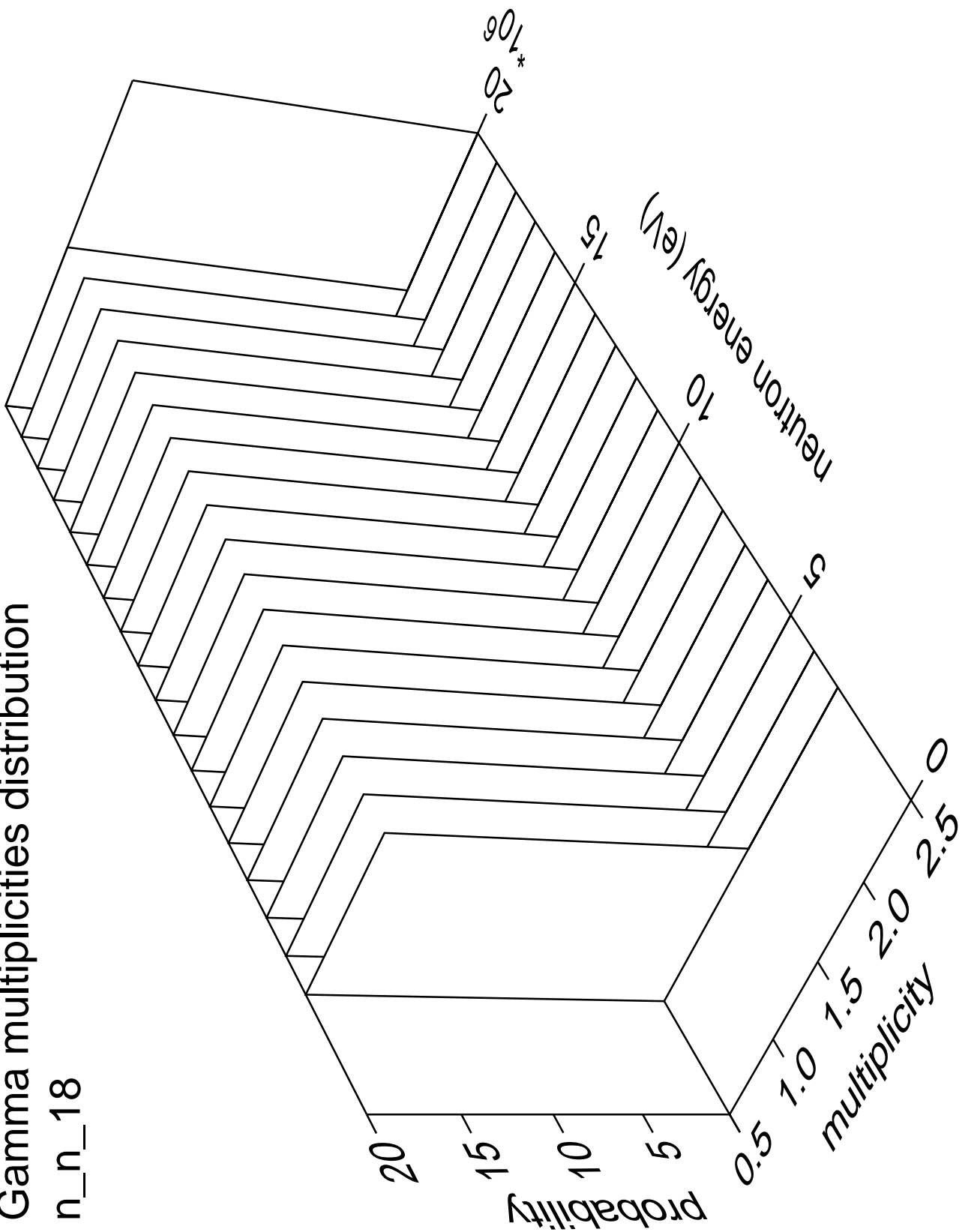


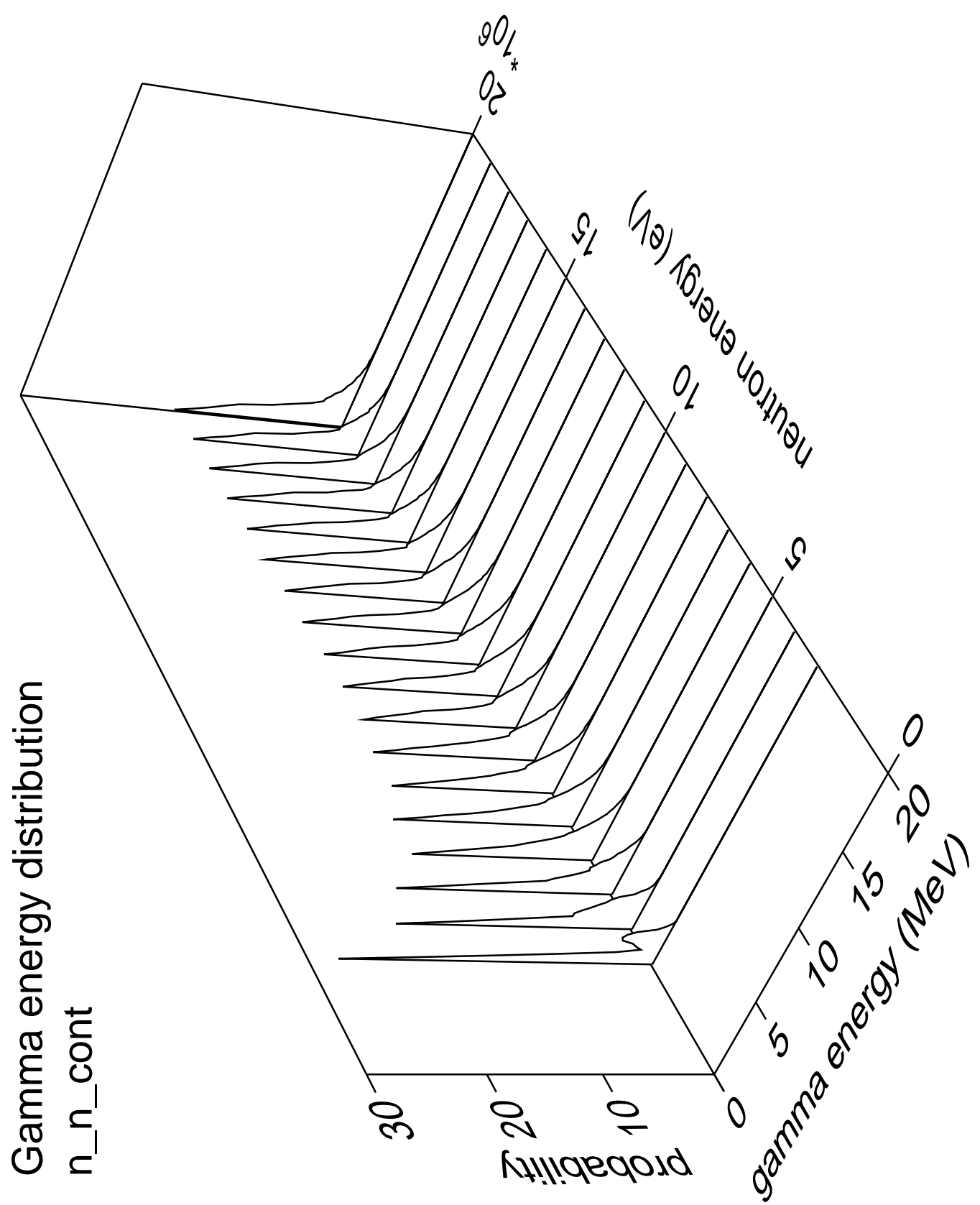
Gamma angles distribution

n\_n\_18



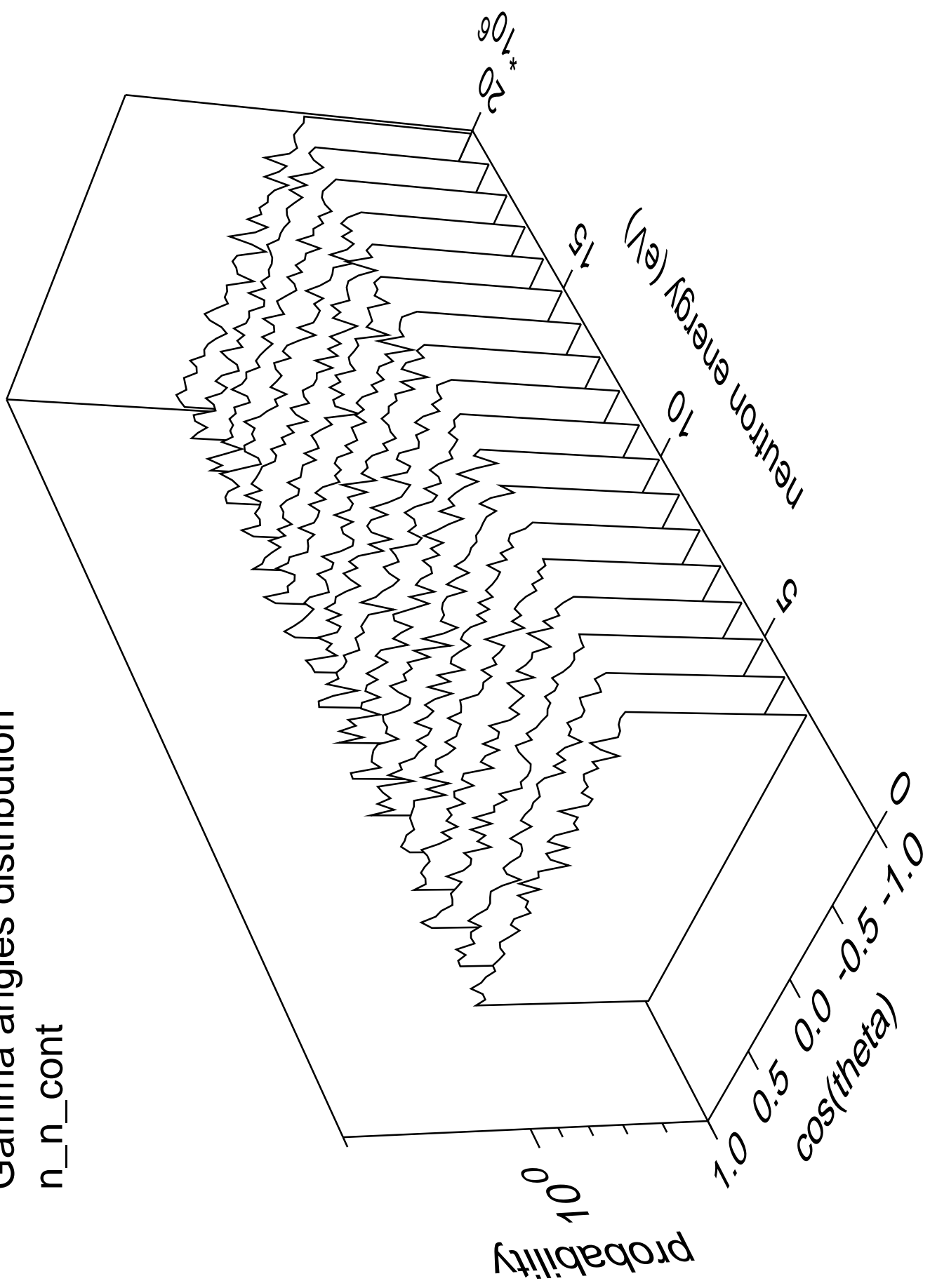
# Gamma multiplicities distribution

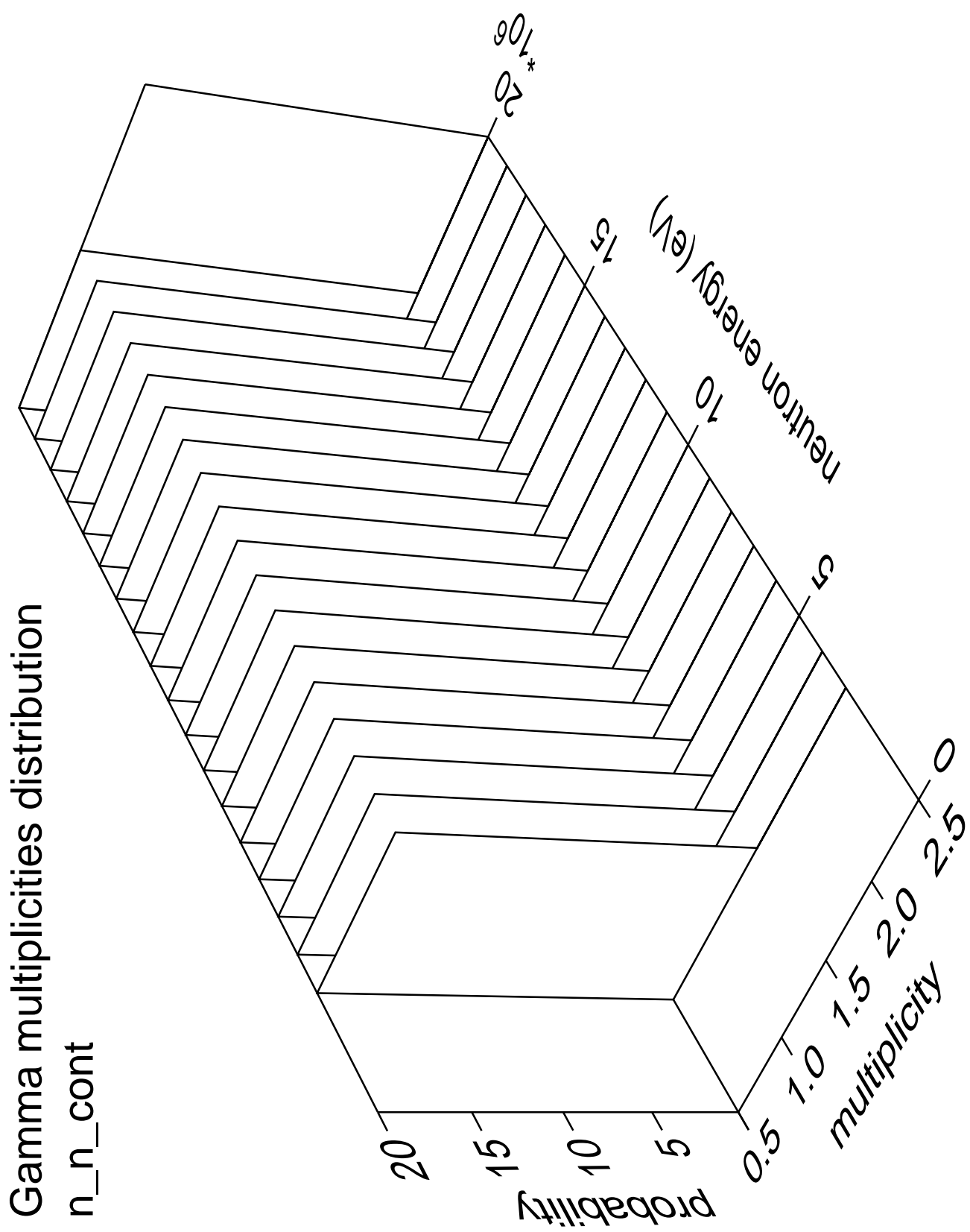


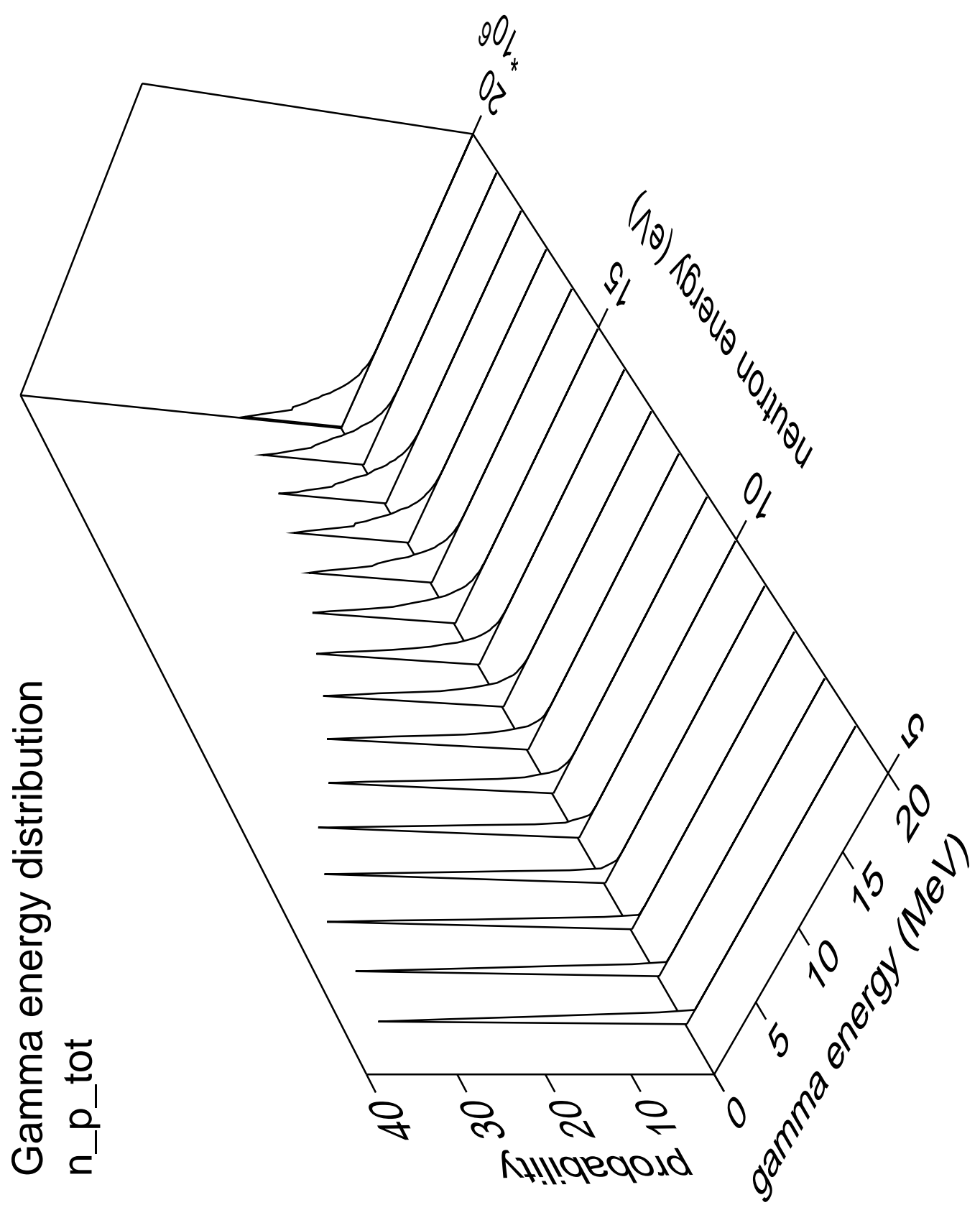


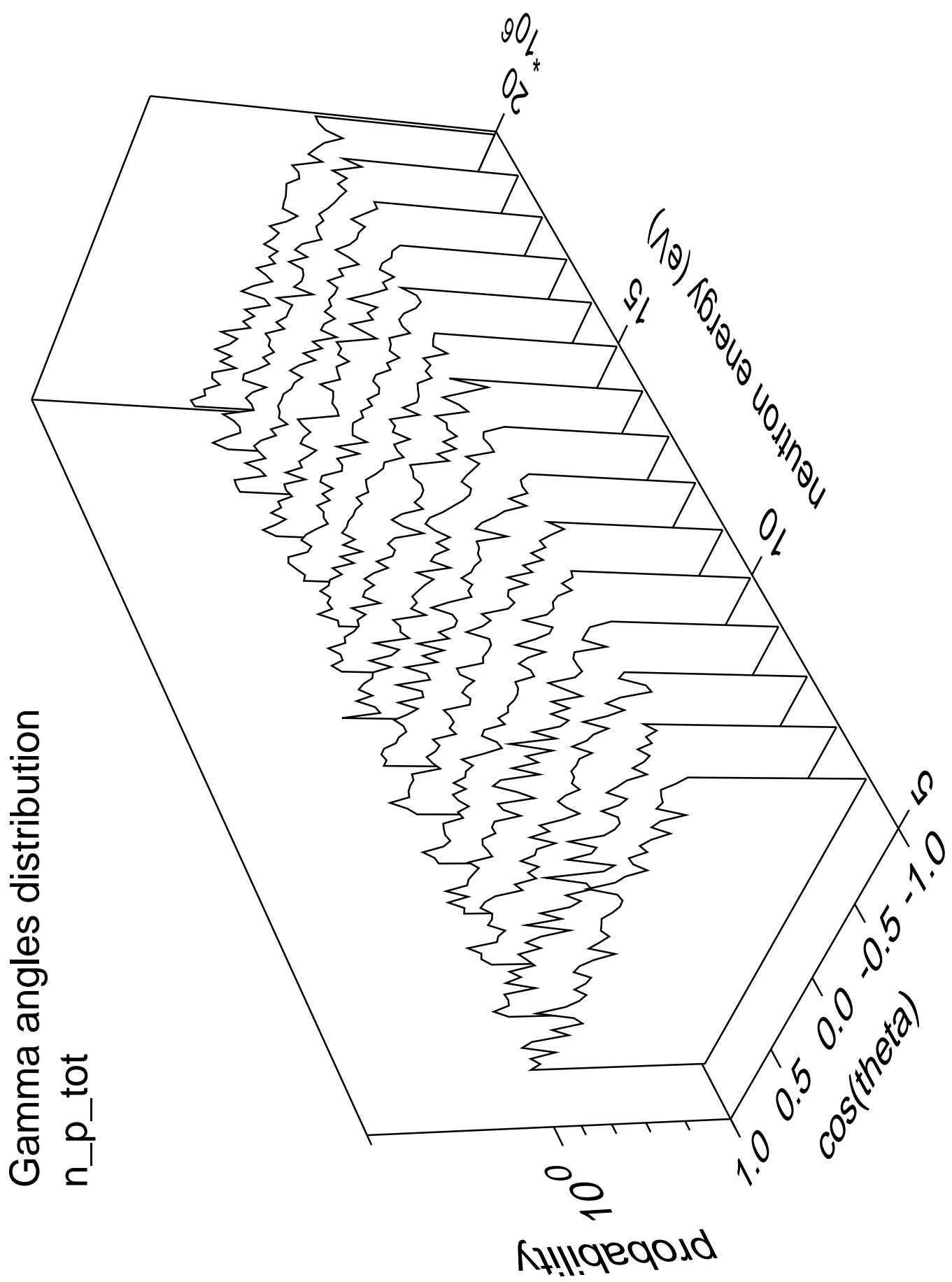
Gamma angles distribution

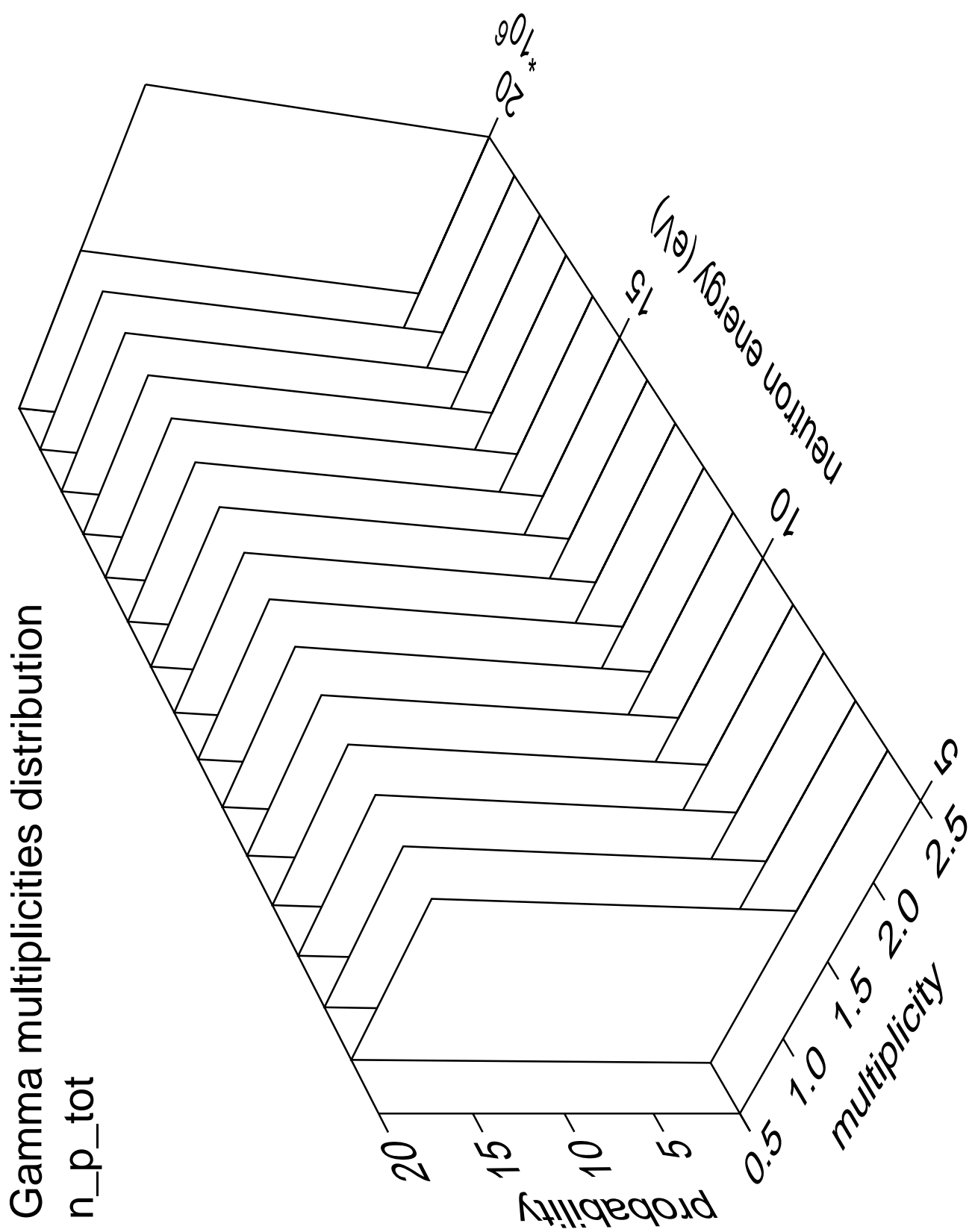
n\_n\_cont

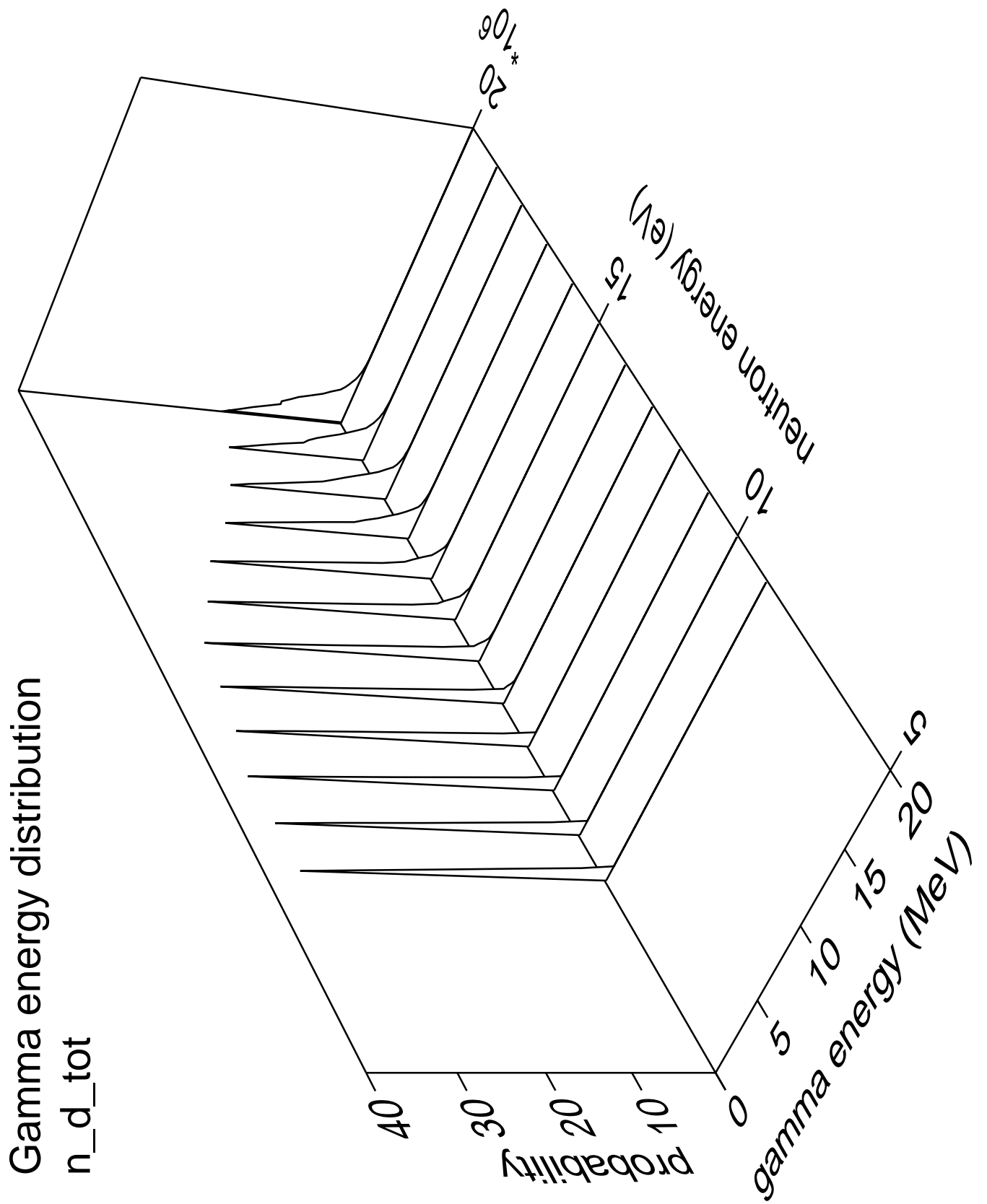












Gamma angles distribution

$n_d_{tot}$

Probability

$10^0$

$10^2$

$10^4$

$10^6$

$10^{10}$

$10^{20}$

$10^{30}$

$10^{40}$

$10^{50}$

$10^{60}$

$1.0$

$0.5$

$0.0$

$-0.5$

$-1.0$

$\cos(\theta)$

$10^{40}$

$10^{30}$

$10^{20}$

$10^{10}$

$10^0$

$10^{-10}$

$10^{-20}$

$10^{-30}$

$10^{-40}$

$10^{-50}$

$10^{-60}$

$10^{-70}$

$10^{-80}$

$10^{-90}$

$10^{-100}$

$10^{-110}$

$10^{-120}$

$10^{-130}$

$10^{-140}$

$10^{-150}$

$10^{-160}$

$10^{-170}$

$10^{-180}$

$10^{-190}$

$10^{-200}$

$10^{-210}$

$10^{-220}$

$10^{-230}$

$10^{-240}$

$10^{-250}$

$10^{-260}$

$10^{-270}$

$10^{-280}$

$10^{-290}$

$10^{-300}$

$10^{-310}$

$10^{-320}$

$10^{-330}$

$10^{-340}$

$10^{-350}$

$10^{-360}$

$10^{-370}$

$10^{-380}$

$10^{-390}$

$10^{-400}$

$10^{-410}$

$10^{-420}$

$10^{-430}$

$10^{-440}$

$10^{-450}$

$10^{-460}$

$10^{-470}$

$10^{-480}$

$10^{-490}$

$10^{-500}$

$10^{-510}$

$10^{-520}$

$10^{-540}$

$10^{-560}$

$10^{-580}$

$10^{-600}$

$10^{-620}$

$10^{-640}$

$10^{-660}$

$10^{-680}$

$10^{-700}$

$10^{-720}$

$10^{-740}$

$10^{-760}$

$10^{-780}$

$10^{-800}$

$10^{-820}$

$10^{-840}$

$10^{-860}$

$10^{-880}$

$10^{-900}$

$10^{-920}$

$10^{-940}$

$10^{-960}$

$10^{-980}$

$10^{-1000}$

$10^{-1020}$

$10^{-1040}$

$10^{-1060}$

$10^{-1080}$

$10^{-1100}$

$10^{-1120}$

$10^{-1140}$

$10^{-1160}$

$10^{-1180}$

$10^{-1200}$

$10^{-1220}$

$10^{-1240}$

$10^{-1260}$

$10^{-1280}$

$10^{-1300}$

$10^{-1320}$

$10^{-1340}$

$10^{-1360}$

$10^{-1380}$

$10^{-1400}$

$10^{-1420}$

$10^{-1440}$

$10^{-1460}$

$10^{-1480}$

$10^{-1500}$

$10^{-1520}$

$10^{-1540}$

$10^{-1560}$

$10^{-1580}$

$10^{-1600}$

$10^{-1620}$

$10^{-1640}$

$10^{-1660}$

$10^{-1680}$

$10^{-1700}$

$10^{-1720}$

$10^{-1740}$

$10^{-1760}$

$10^{-1780}$

$10^{-1800}$

$10^{-1820}$

$10^{-1840}$

$10^{-1860}$

$10^{-1880}$

$10^{-1900}$

$10^{-1920}$

$10^{-1940}$

$10^{-1960}$

$10^{-1980}$

$10^{-2000}$

$10^{-2020}$

$10^{-2040}$

$10^{-2060}$

$10^{-2080}$

$10^{-2100}$

$10^{-2120}$

$10^{-2140}$

$10^{-2160}$

$10^{-2180}$

$10^{-2200}$

$10^{-2220}$

$10^{-2240}$

$10^{-2260}$

$10^{-2280}$

$10^{-2300}$

$10^{-2320}$

$10^{-2340}$

$10^{-2360}$

$10^{-2380}$

$10^{-2400}$

$10^{-2420}$

$10^{-2440}$

$10^{-2460}$

$10^{-2480}$

$10^{-2500}$

$10^{-2520}$

$10^{-2540}$

$10^{-2560}$

$10^{-2580}$

$10^{-2600}$

$10^{-2620}$

$10^{-2640}$

$10^{-2660}$

$10^{-2680}$

$10^{-2700}$

$10^{-2720}$

$10^{-2740}$

$10^{-2760}$

$10^{-2780}$

$10^{-2800}$

$10^{-2820}$

$10^{-2840}$

$10^{-2860}$

$10^{-2880}$

$10^{-2900}$

$10^{-2920}$

$10^{-2940}$

$10^{-2960}$

$10^{-2980}$

$10^{-3000}$

$10^{-3020}$

$10^{-3040}$

$10^{-3060}$

$10^{-3080}$

$10^{-3100}$

$10^{-3120}$

$10^{-3140}$

$10^{-3160}$

$10^{-3180}$

$10^{-3200}$

$10^{-3220}$

$10^{-3240}$

$10^{-3260}$

$10^{-3280}$

$10^{-3300}$

$10^{-3320}$

$10^{-3340}$

$10^{-3360}$

$10^{-3380}$

$10^{-3400}$

$10^{-3420}$

$10^{-3440}$

$10^{-3460}$

$10^{-3480}$

$10^{-3500}$

$10^{-3520}$

$10^{-3540}$

$10^{-3560}$

$10^{-3580}$

$10^{-3600}$

$10^{-3620}$

$10^{-3640}$

$10^{-3660}$

$10^{-3680}$

$10^{-3700}$

$10^{-3720}$

$10^{-3740}$

$10^{-3760}$

$10^{-3780}$

$10^{-3800}$

$10^{-3820}$

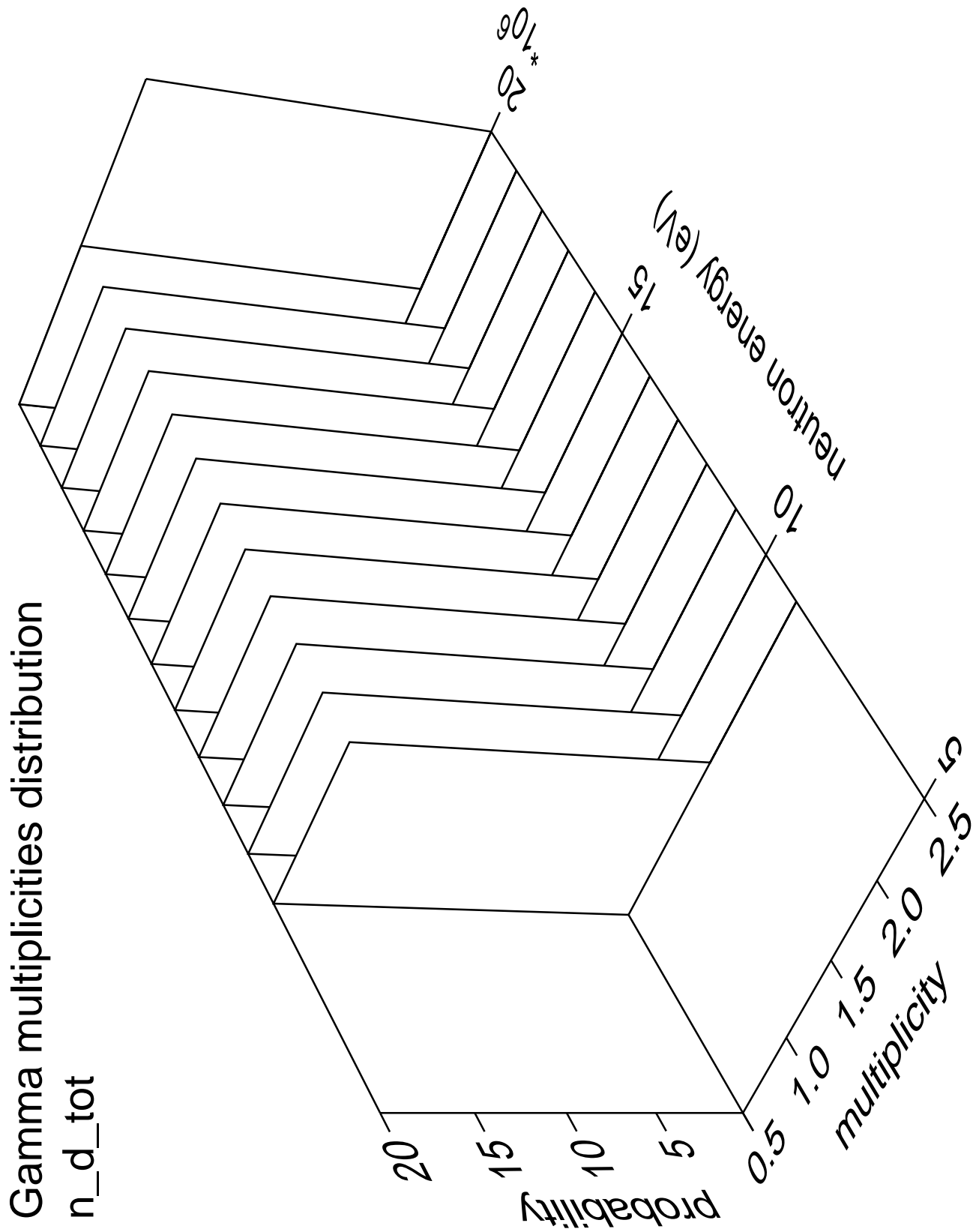
$10^{-3840}$

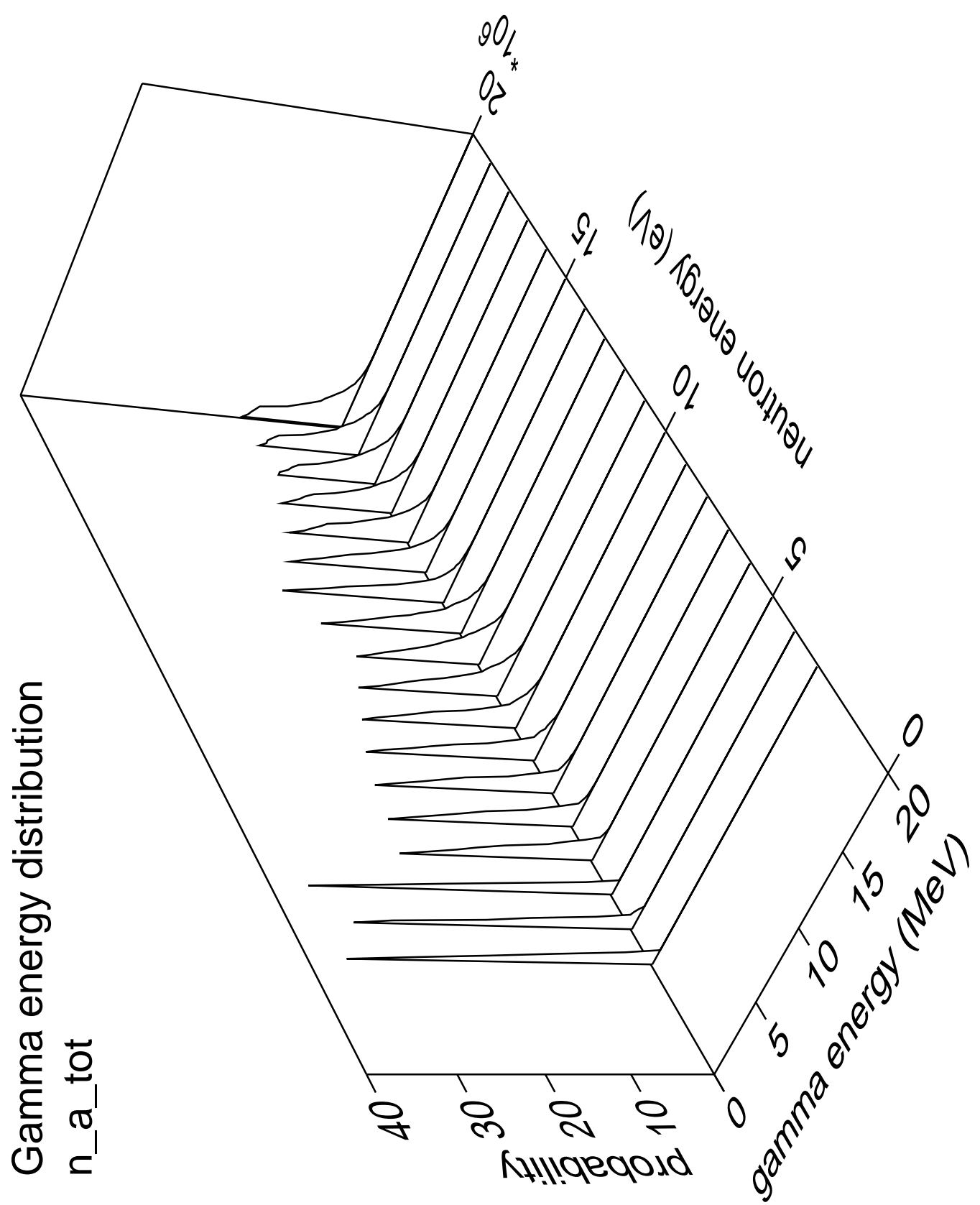
$10^{-3860}$

$10^{-3880}$

$10^{-3900}$

$10^{-$





Gamma angles distribution

$n_a_{tot}$

